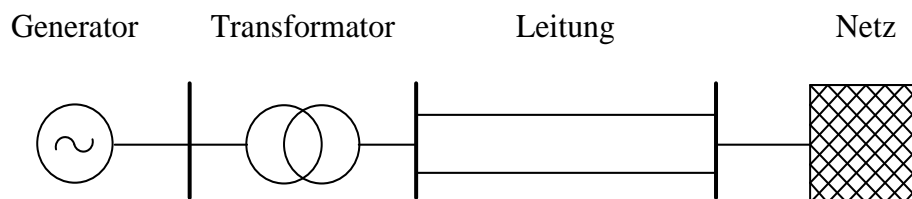


Leibniz Universität Hannover

Institut für Elektrische Energiesysteme
 Fachgebiet Elektrische Energieversorgung

Formelsammlung Elektrische Energieversorgung

Lutz Hofmann



7. Auflage, Stand: September 2022

© Institut für Elektrische Energiesysteme
Fachgebiet Elektrische Energieversorgung
Leibniz Universität Hannover
Prof. Dr.-Ing. habil. L. Hofmann
www.ifes.uni-hannover.de

Vorwort zur siebten Auflage

In dieser Formelsammlung sind Definitionen und Formeln aus den Vorlesungen *Grundlagen der elektrischen Energieversorgung* und *Elektrische Energieversorgung I* und *II* zusammengestellt. Vertiefende Beschreibungen und Erläuterungen sind Hofmann, L.: *Elektrische Energieversorgung*, Band I bis III, De Gruyter Studium, 2019 sowie den oben genannten Vorlesungen und zugehörigen Hörsaalübungen zu entnehmen.

Die Formelsammlung stellt zunächst neben einigen mathematischen Zusammenhängen die elementaren (mathematischen) Definitionen der elektrischen Energieversorgung vor, wie bspw. ruhende Effektivwertzeiger, das Verbraucherzählpeilsystem sowie die Zwei- und Mehrpoldarstellung. Aus den Spannungsgleichungen des symmetrischen Drehstromsystems wird mithilfe der Symmetriebedingungen die Strangersatzschaltung hergeleitet. Die Symmetrischen Komponenten ermöglichen im Fehlerfall durch Verschaltung der Komponentensysteme die Berechnung von unsymmetrischen Betriebszuständen, bspw. in Folge von Kurzschlüssen oder Unterbrechungen.

Für die systembestimmenden Betriebsmittel von elektrischen Energieversorgungssystemen wie Ersatznetze, Synchronmaschinen, Asynchronmaschinen, Transformatoren und Leitungen werden die jeweiligen Ersatzschaltungen für das Mit-, Gegen- und Nullsystem für die Berechnung des stationären Betriebsverhaltens der Netzkomponenten vorgestellt und soweit erforderlich um das transiente und subtransiente Betriebsverhalten ergänzt.

Abschließend werden grundlegende Verfahren zur Netzberechnung, Betriebsmittelauslegung und Netzregelung vorgestellt, wie bspw. die Stromverteilung in Mittel- und Niederspannungsnetzen, Stabilitätsuntersuchung des Einmaschinenproblems, Netzregelung auf Basis des Bilanzmodells sowie die Kurschlussstromberechnung insbesondere nach der IEC EN 60909. Weiterhin werden verschiedene Arten der Sternpunktterdung vorgestellt.

Da sich die Inhalte der Vorlesung *Grundlagen der elektrischen Energieversorgung* auf symmetrische Drehstromsysteme beschränken, sind für Studierende dieser Vorlesung die jeweiligen Ausführungen zu den Ersatzschaltungen der Betriebsmittel für das Mitsystem ausreichend.

Die Autoren hoffen, dass diese Formelsammlung nicht nur vorlesungsbegleitend als Hilfsmittel für die Klausuren dienen kann, sondern auch über das Studium der elektrischen Energieversorgung hinaus Anwendung finden wird.

Dies ist die siebte Auflage der Formelsammlung. Falls Sie Anregungen zu Form und Inhalt dieser Auflage haben, schreiben Sie gerne an hofmann@ifes.uni-hannover.de.

Hannover, September 2022

Lutz Hofmann und die wissenschaftlichen Mitarbeiter des
Fachgebiets Elektrische Energieversorgung des IfES

Inhaltsverzeichnis

1	Verwendete Formelzeichen und Abkürzungen	IV
2	Grundlagen	1
2.1	Momentanwerte und komplexe Zeitzeigerdarstellung.....	1
2.2	Verbraucherzählpfeilsystem (VZS) und Bezugsrichtung von Wirk- und Blindleistung	2
2.3	Zeitverläufe von Strom und Spannung bei harmonischen Größen	2
2.4	Leistungen im VZS im Wechselstromsystem.....	3
2.5	Impedanz, Admittanz und Scheinleistung der Basiselemente im VZS	4
2.6	Oberschwingungen	5
2.7	Mehrpoldarstellung	6
2.7.1	Zweipoldarstellung.....	6
2.7.2	Vierpoldarstellung.....	6
2.7.3	Spezielle Vierpole und ihre Ersatzschaltungen.....	8
3	Drehstromsystem.....	9
3.1	Stern- und Dreieckschaltung	9
3.2	Spannungen und Ströme im Dreileitersystem.....	10
3.3	Symmetrisches Drehstromsystem	11
3.3.1	Symmetriebedingungen.....	11
3.3.2	Strangersatzschaltung.....	11
3.3.3	Zusammenhänge zwischen Strang-, Stern- und Außenleitergrößen	12
3.3.4	Zeigerdiagramm und Dreileiterscheinleistung	13
3.4	Stern-Dreieck-Umwandlung	13
3.5	Unsymmetrisches Drehstromsystem.....	14
3.5.1	Symmetrische Komponenten	14
3.5.2	Ersatzschaltungen in Symmetrischen Komponenten	15
3.5.3	Fehlerbedingungen	16
4	Ersatznetze	17
5	Synchronmaschinen	18
5.1	Ersatzschaltungen für den stationären Betrieb.....	18
5.2	Ersatzschaltung für den transienten Betrieb.....	19
5.3	Ersatzschaltung für den subtransienten Betrieb	19
5.4	Synchroner Netzbetrieb.....	20
5.4.1	Leistungs-Winkelkennlinien	21
5.4.2	Leistungsdiagramm	21
5.5	Drehimpulssatz und Bewegungsgleichung	22
6	Asynchronmaschinen mit Kurzschlussläufer	23
6.1	Vereinfachte Ersatzschaltungen für den stationären Betrieb	23
6.2	Vereinfachte Ersatzschaltung für den transienten Betrieb	24

6.3	Bewegungsgleichung	24
7	Transformatoren	25
7.1	Schaltungsbezeichnungen	25
7.2	Transformationsbeziehungen	25
7.3	Zweiwicklungstransformator	26
7.4	Bestimmung der Elemente der Transformatorersatzschaltungen	27
7.4.1	Bestimmung der Längselemente mit dem Kurzschluss-Versuch.....	27
7.4.2	Bestimmung der Querelemente mit dem Leerlauf-Versuch	27
7.5	Auswahl von Schaltgruppen nach DIN VDE 0532	28
7.6	Dreiwicklungstransformator	29
8	Leitungen.....	30
8.1	Wellenimpedanz und Ausbreitungskonstante	30
8.2	Lösung der Leitungsgleichungen im Frequenzbereich	30
8.3	Ersatzschaltungen mit verteilten Parametern und Vierpolgleichungen	31
8.4	Näherungen für elektrisch kurze Leitungen ($ \underline{\gamma}l \ll 1$)	31
8.5	Betriebsverhalten	32
8.6	Klemmenleistungen, Verluste und Blindleistungsbedarf.....	32
8.7	Natürlicher Betrieb (Leitungsanpassung)	32
9	Mittel- und Niederspannungsnetze	33
9.1	Stromverteilung.....	33
9.2	Lastangriffsfaktor ε	33
10	Winkelstabilität des Einmaschinenproblems.....	34
10.1	Statische Stabilität.....	34
10.2	Transiente Stabilität	34
11	Netzregelung	35
11.1	Bilanzmodell des Netzes	35
11.2	Leistungszahlen und Statiken.....	35
11.3	Systemzustand nach Abschluss der Primärregelung (ohne Sekundärregelung) .	36
11.4	Systemzustand nach Abschluss der Sekundärregelung	36
12	Kurzschlussstromberechnung	37
12.1	Kurzschlussstrom-Zeitverlauf	37
12.2	Kurzschlussstromkenngrößen	37
12.3	Verfahren der Ersatzspannungsquelle an der Kurzschlussstelle ohne Vollumrichteranlagen (nach IEC 60909 bzw. VDE 0102).....	38
12.4	Erweiterung des Verfahrens mit der Ersatzspannungsquelle an der Kurzschlussstelle aus Abschnitt 12.3 um die Kurzschlussstrombeiträge von Vollumrichteranlagen (nach IEC 60909 bzw. VDE 0102).....	39
12.5	Faktoren für die Kurzschlussstromberechnung	39
12.5.1	Faktor κ zur Berechnung des Stoßkurzschlussstromes i_p	39
12.5.2	Faktor μ zur Berechnung des Ausschaltwechselstromes I_b	40

12.5.3	Faktoren m und n zur Berechnung des thermisch gleichwertigen Kurzschlussstromes I_{th}	41
12.6	Berücksichtigung von Impedanzkorrekturfaktoren (nach IEC 60909 bzw. VDE 0102)	42
12.7	Berechnung mit Maschen- und Knotensätzen	43
12.8	Thermische Kurzschlussfestigkeit	43
12.9	Mechanische Kurzschlussfestigkeit	45
12.9.1	Bestimmung der magnetischen Felder und Kräfte	45
12.9.2	Maximale mechanische Haupt- und Teilleiterkräfte	46
12.9.3	Berechnung der mechanischen Spannung	47
13	Sternpunkterdung	48
13.1	Ersatzschaltung für 1-pol. Leiter-Erde-Fehler	48
13.2	Ströme und Spannungen bei 1-pol. Leiter-Erde-Fehlern	48
13.3	Isolierter Sternpunkt	50
13.4	Resonanz-Sternpunkterdung (RESPE)	50
13.5	Niederohmige Sternpunkterdung (NOSPE)	51
14	Wärmelehre	52
15	Windenergie	52
16	Energiewirtschaft	53
17	Anhang	54
17.1	Ausgewählte SI-Basis-Einheiten	54
17.2	Ausgewählte abgeleitete SI-Einheiten	54
17.3	Naturkonstanten und mathematische Konstanten	55
17.4	Zeigerdrehungen mit a und j	55
17.5	n -te Wurzel aus einer komplexen Zahl G	55
17.6	Umrechnungsformeln für hyperbolische und Exponentialfunktionen	56
17.7	Umrechnungsformeln für trigonometrische Funktionen	56
17.8	Werte der trigonometrischen Funktionen für besondere Winkel	57

1 Verwendete Formelzeichen und Abkürzungen

Allgemeine Zeichen

g	Momentanwert	A	Matrix
\hat{g}	Amplitudenwert	a	(Spalten-)Vektor
G	Effektivwert	j	imaginäre Einheit

Allgemeine Erläuterungen

Elektrische Größen werden als Effektivwerte angegeben.	U, I
Die in den Formeln von Systemen in der Strangersatzschaltung angegebenen Größen sind Stranggrößen.	U, I
Bemessungsgrößen werden durch einen tiefgestellten Index r (rated) gekennzeichnet.	U_r
Nennspannungen (Index n) und Bemessungsspannungen sind Leiter-Leiter-Spannungen.	U_n, U_r
Zeitabhängige Größen werden mit Kleinbuchstaben angegeben.	u, i
Komplexe Größen werden durch Unterstreichen gekennzeichnet.	$\underline{U}, \underline{I}$

Nomenklatur gemäß DIN EN 60027-7:2011

Position	Bedeutung	Beispiel	Erläuterung
0	Kennzeichen der Größe	U_q, X_σ, I_r	
1	Natürliche Größe a, b, c oder modale Komponente 1, 2, 0	\underline{U}_1	Spannung im Mitsystem
2	Betriebszustand	\underline{U}_{1k1}	beim einpoligen-Kurzschluss
3	Elektrisches Betriebsmittel	\underline{U}_{1k1T4}	am Transformator T4
4	Ort	$\underline{U}_{1k1T4OS}$	auf der OS-Seite
5	Zusätzlicher Hinweis	$\underline{U}_{1k1T4OSmax}$	höchster Wert

Hinweis:

Bei fest definierten Größen nach DIN EN 60027-7:2011 werden die spezifischen (Vorzugs-) Kennzeichen der jeweiligen Größen vorangestellt (Position 0):

Quellenspannung im Mitsystem: U_{q1}

Quellenspannung im Leiter a: U_{qa}

Formelzeichen

a	Abstand	S	Scheinleistung
A	Querschnittsfläche, Energieertrag	t	Zeit
B	Blindleitwert (Suszeptanz), magnetische Flussdichte	T	Periodendauer (harmonische Größen)
c	Spannungsbeiwert	U	Spannung
C	Kapazität	v	Vermischungsgrad, Verstimmung
d	Durchmesser, Dämpfung	w	Windungszahl
E	Energie	\ddot{u}	Übersetzungsverhältnis beim Transformator
F	Kraft	Z	Impedanz, Widerstandsmo- ment
G	Wirkleitwert (Konduktanz)	γ	Ausbreitungskoeffizient
H	magnetische Feldstärke	δ	Polradwinkel, Erdfehlerfaktor
I	Strom	ε	Erregergrad
k	Leistungszahl, Unsymmetriefaktor	η	Wirkungsgrad
K	Korrekturfaktor	ρ_E	spezifischer Erdwiderstand
l	Länge	φ	Phasenwinkel
L	Induktivität	σ	Mechanische Spannung
n	Drehzahl	ω	Kreisfrequenz, elektr. Winkelgeschwindigkeit
p	Polpaarzahl	Ω	mech. Winkelgeschwindigkeit
P	Wirkleistung		
Q	Blindleistung, Wärme		
R	Widerstand		
s	Statik, Schlupf		

Abkürzungen

E	Erde	kap.	kapazitiv
ESB	Ersatzschaltung	M	Sternpunkt
EZS	Erzeugerzählpeilsystem	SK	Symmetrische Komponenten
ind.	induktiv	VZS	Verbraucherzählpeilsystem

Spezielle Formelzeichen

$\underline{a} = e^{j2\pi/3}$	komplexer Drehoperator mit der Länge 1 (Einheitsphasor)	$ \underline{G} = G$	Betrag von \underline{G}
Δ	Änderungsgröße	$\operatorname{Re}\{\underline{G}\} = G_{\perp}$	Realteil von \underline{G}
		$\operatorname{Im}\{\underline{G}\} = G_{\perp\perp}$	Imaginärteil von \underline{G}

Schreibweise physikalischer Größen

$\underline{G} = \{\underline{G}\} [\underline{G}]$	Zahlenwert $\{\underline{G}\}$	physikalische Größe \underline{G} = Produkt aus
z.B. $\underline{U} = 20e^{j\pi/6}$ kV	Maßeinheit $[\underline{G}]$	Zahlenwert $\{\underline{G}\}$ und Maßeinheit $[\underline{G}]$

Beispiele für bezogene und längenbezogene Größen:

$\underline{z} = \frac{\underline{Z}}{\underline{Z}_B}$ Bezogene Impedanz \underline{z} mit Bezugsimpedanz \underline{Z}_B in p.u. oder in %

$\underline{Z}' = \frac{\underline{Z}}{l}$ Längenbezogene Impedanz \underline{Z}' in Ω/m oder Ω/km

Hochgestellte Indizes

'	Transiente, längenbezogene, auf die Ständerseite umgerechnete oder auf eine Spannungsebene bezogene Größe	"	subtransiente Größe (Spannung, Reaktanz, etc.)
*		*	konjugiert komplexe Größe
T		T	transponierte(r) Matrix/Vektor

Tiefgestellte Indizes (Auswahl)

Δ	Größe in Dreieckschaltung	ℓ, l	Leerlauf
Y	Größe in Sternschaltung	L	Leitung-
1, 2, 0	Mit-(1), Gegen-(2), Null(0)-system	m	Magnetisierungs-, mechanisch, Hauptleiter-
0	synchron	max	maximal
a, b, c	Leiter a, Leiter b, Leiter c	min	minimal
ab	abgeführt	M	Motor-, Stern-, Maschine-
b	Blind-	ME	Sternpunkt-Erde-
B	Bezugs-	MS	Mittlere Spannung (Dreiwicklungstransformator)
C	kapazitiv, Lade-	n	Nenn-
d	d-Anteil	N	Netz-
D	Dämpferlängsachse-, Dämpfung	OS	Oberspannung
el	elektrisch	q	Quellen-, q-Anteil
ers	Ersatz-	quer	Quer-
erz	Erzeugung	Q	Dämpferquerachse-, Quellen-
f	Feld-(Erreger-)	r	Bemessungs-
F	Fehler-	rel	relativ
g	Gegen-	s	Selbst-, Ständer-, Teilleiter-
G	Generator-	S	Größe der Symmetrischen Komponenten
i	innere Größe, Innen-	SG	Schaltgruppe
i, j, v	Zählindex	Str	Strang-
inst	installierte Leistung	T	Turbinen-, Transformator-
K	Korrektur	US	Unterspannung
k	Kurzschluss-	V	Verlust-, Vor-
k, k3	3-pol. Kurzschluss	w	Wirk-, Widerstands-
k1, k2	1-, 2-pol. Kurzschluss	W	Wellen-
k2E	2-pol. Erdkurzschluss	zu	zugeführt
kin	kinetisch		

2 Grundlagen

2.1 Momentanwerte und komplexe Zeitzeigerdarstellung

Rotierender (oder umlaufender) Amplitudenzeitzeiger $\underline{\hat{g}}$	
Definition rotierender Amplitudenzeitzeiger	$\underline{\hat{g}} = \hat{g} (\cos(\omega t + \varphi_g) + j \sin(\omega t + \varphi_g))$ $= \hat{g} e^{j(\omega t + \varphi_g)} = \hat{g} e^{j\omega t} e^{j\varphi_g} = \text{Re}\{\underline{\hat{g}}\} + j \text{Im}\{\underline{\hat{g}}\}$
Konjugiert komplexer Amplitudenzeitzeiger	$\underline{\hat{g}}^* = \hat{g} e^{-j(\omega t + \varphi_g)}$
Zusammenhang Momentanwerte und rotierender Amplitudenzeitzeiger	
Nullphasenwinkel	φ_g (Phasenwinkel zum Zeitpunkt $t = 0$)
Ruhender Effektivwertzeitzeiger \underline{G} ¹⁾	
Zeiger	$\underline{G} = \frac{\underline{\hat{g}}}{\sqrt{2}} e^{j\omega t} = G e^{j\varphi_g}$ $= G (\cos \varphi_g + j \sin \varphi_g)$ $= \text{Re}(\underline{G}) + j \text{Im}(\underline{G}) = G_{\perp} + j G_{\perp\perp}$
Konjugiert komplexer Zeiger	$\underline{G}^* = G e^{-j\varphi_g} = G (\cos \varphi_g - j \sin \varphi_g) = G_{\perp} - j G_{\perp\perp}$
Zeigerbild	

¹⁾ Ruhende Effektivwertzeitzeiger werden im Folgenden abgekürzt als „Zeiger“ bezeichnet.

2.2 Verbraucherzählfeilsystem (VZS) und Bezugsrichtung von Wirk- und Blindleistung

VZS: Gleichsinnige Zuordnung der Zählfeile von Spannung und Strom an den Klemmen (Tor) eines Betriebsmittels	
Zählfeile von Spannung und Strom und Bezugsrichtung von Wirk- und Blindleistung am Zweipol im VZS	
Zählfeile von Spannungen und Strömen und Bezugsrichtungen von Wirk- und Blindleistungen am Vierpol im VZS	

2.3 Zeitverläufe von Strom und Spannung bei harmonischen Größen

	$u(t) = \hat{u} \cos(\omega t + \varphi_u)$	Zeigerbild \underline{U} und \underline{I}	Zeitverläufe
R 	$i_r(t) = \frac{u(t)}{R}$ $= \frac{\hat{u}}{R} \cos(\omega t + \varphi_u)$ $= \hat{i}_R \cos(\omega t + \varphi_i)$		
L 	$i_L(t) = \frac{1}{L} \int u(t) dt$ $= \frac{\hat{u}}{\omega L} \sin(\omega t + \varphi_u)$ $= \hat{i}_L \cos(\omega t + \varphi_u - \frac{\pi}{2})$ $= \hat{i}_L \cos(\omega t + \varphi_i)$		
C 	$i_c(t) = C \frac{du(t)}{dt}$ $= -\hat{u}\omega C \sin(\omega t + \varphi_u)$ $= \hat{i}_c \cos(\omega t + \varphi_u + \frac{\pi}{2})$ $= \hat{i}_c \cos(\omega t + \varphi_i)$		
Phasenverschiebung $\varphi = \varphi_u - \varphi_i$ (Zählrichtung von Strom zu Spannung)			

2.4 Leistungen im VZS im Wechselstromsystem

Momentanleistung $p(t)$	
Momentanleistung eines Zweipols mit den Klemmengrößen $u(t)$ und $i(t)$	$p(t) = u(t) \cdot i(t)$ $= U I (\cos \varphi + \cos(2\omega t + \varphi_U + \varphi_I))$ $= P + S \cos(2\omega t + \varphi_U + \varphi_I)$ $= P(1 + \cos(2\omega t + \varphi_U)) + Q \sin(2\omega t + \varphi_U)$ $= p_P(t) + p_Q(t)$
Scheinleistung \underline{S} , Wirkleistung P und Blindleistung Q	
Leistungsgleichung eines Zweipols mit den Klemmengrößen \underline{U} und \underline{I}	$\underline{S} = \underline{U} \underline{I}^* = U I e^{j(\varphi_U - \varphi_I)} = U I e^{j\varphi} = S e^{j\varphi}$ $= P + jQ = S(\cos \varphi + j \sin \varphi)$
Wirk- und Blindstrom	$\underline{I} = \frac{\underline{S}^*}{\underline{U}^*} = \frac{P - jQ}{U} e^{j\varphi_U} = (I_w + jI_b) e^{j\varphi_U}$ $I = \sqrt{I_w^2 + I_b^2}$
Zeigerbild	
Zusammenhang von Wirk- und Blindleistungen und -strömen	$P = U I_w = U I \cos \varphi$ $Q = -U I_b = -U I \sin \varphi$
Verschiebungsfaktor	$-1 \leq \cos \varphi \leq 1$

Leistungen und ihr Richtungssinn im VZS (gleichsinnige Festlegung von Bezugsrichtung (siehe 2.2) und Richtungssinn)			$P > 0 \rightarrow$ Wirkleistungsaufnahme (Verbraucher) $P < 0 \rightarrow$ Wirkleistungsabgabe (Erzeuger) $Q > 0 \rightarrow$ Blindleistungsaufnahme (induktives Verhalten) $Q < 0 \rightarrow$ Blindleistungsabgabe (kapazitives Verhalten)
$0 \leq \varphi \leq \frac{\pi}{2}$	$P > 0$	$Q > 0$	
$-\frac{\pi}{2} \leq \varphi \leq 0$	$P > 0$	$Q < 0$	
$-\pi \leq \varphi \leq -\frac{\pi}{2}$	$P < 0$	$Q < 0$	
$\frac{\pi}{2} \leq \varphi \leq \pi$	$P < 0$	$Q > 0$	

2.5 Impedanz, Admittanz und Scheinleistung der Basiselemente im VZS

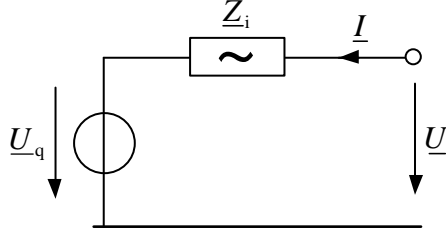
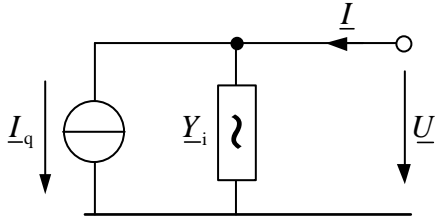
Impedanz \underline{Z} (mit dem Widerstand R und der Reaktanz X)			
$\underline{Z} = (+) \frac{\underline{U}}{\underline{I}} = \frac{U}{I} e^{j(\varphi_u - \varphi_i)} = Z e^{j\varphi_z} = \text{Re}(\underline{Z}) + j\text{Im}(\underline{Z}) = Z (\cos \varphi_z + j \sin \varphi_z) = R + jX$			
$Z = \sqrt{R^2 + X^2} \text{ und } \varphi_z = \varphi_u - \varphi_i = \arctan \frac{X}{R} \text{ (für } R > 0 \text{)}$			
Admittanz \underline{Y} (mit der Leitfähigkeit G und der Suszeptanz B)			
$\underline{Y} = (+) \frac{\underline{I}}{\underline{U}} = \frac{I}{U} e^{j(\varphi_i - \varphi_u)} = Y e^{j\varphi_Y} = \text{Re}(\underline{Y}) + j\text{Im}(\underline{Y}) = Y (\cos \varphi_Y + j \sin \varphi_Y) = G + jB$			
$Y = \sqrt{G^2 + B^2} \text{ und } \varphi_Y = -\varphi_z = \varphi_i - \varphi_u = \arctan \frac{B}{G} \text{ (für } G > 0 \text{)}$			
Element	$\underline{Z} = R + jX$	$\underline{Y} = G + jB$	$\underline{S} = P + jQ = \underline{U} \underline{I}^*$
ohmscher Widerstand	R	$\frac{1}{R} = G$	$RI^2 = GU^2 = UI_w$
Spule	$j\omega L = jX_L$	$\frac{1}{j\omega L} = -jB_L$	$jX_L I^2 = jB_L U^2 = -jUI_b$
Kondensator	$\frac{1}{j\omega C} = -jX_C$	$j\omega C = jB_C$	$-jX_C I^2 = -jB_C U^2 = -jUI_b$

2.6 Oberschwingungen

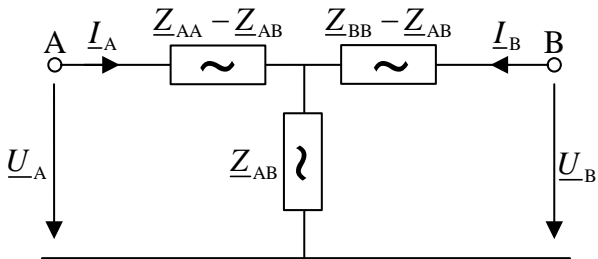
Oberschwingungen	
Effektivwert einer oberschwingungsbehafteten Größe	$G = \sqrt{G_1^2 + G_2^2 + \dots + G_\infty^2} = \sqrt{\sum_{h=1}^{\infty} G_h^2}$
$h = 1$: Grundschiwingung mit der Frequenz f_1 $h > 1$: Ordnungszahl der Oberschwingungen (Harmonische) mit $f_h = h \cdot f_1$	
Grundschiwingungsgehalt	$g = \frac{G_1}{\sqrt{G_1^2 + G_2^2 + \dots + G_\infty^2}} = \frac{G_1}{G}$
Klirrfaktor	$d = \frac{\sqrt{G_2^2 + \dots + G_\infty^2}}{\sqrt{G_1^2 + G_2^2 + \dots + G_\infty^2}} = \frac{\sqrt{G_2^2 + \dots + G_\infty^2}}{G}$
Zusammenhang von g und d	$g^2 + d^2 = 1$
Scheinleistung S , Grundschiwingungsscheinleistung S_1 und Verzerrungsleistung D	$S^2 = U^2 I^2 = \sum_{h=1}^{\infty} U_h^2 \sum_{h=1}^{\infty} I_h^2$ $= g_U^2 g_I^2 U^2 I^2 + (g_U^2 d_I^2 + g_I^2 d_U^2 + d_U^2 d_I^2) U^2 I^2$ $= S_1^2 + D^2 = P_1^2 + Q_1^2 + D^2$
Grundschiwingungswirkleistung und -blindleistung	$\underline{S}_1 = \underline{U}_1 \underline{I}_1^* = P_1 + jQ_1 = U_1 I_1 (\cos \varphi_1 + j \sin \varphi_1)$
Zusammenhang zwischen Schein-, Wirk-, Blind- und Verzerrungsleistungen	
Leistungsfaktor	$\lambda = \frac{ P_1 }{S} = \frac{U_1 I_1 \cos \varphi_1 }{U I} = g_U g_I \cos \varphi_1 \leq 1$

2.7 Mehrpoldarstellung

2.7.1 Zweipoldarstellung

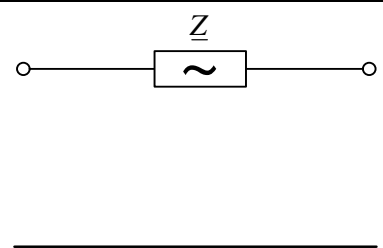
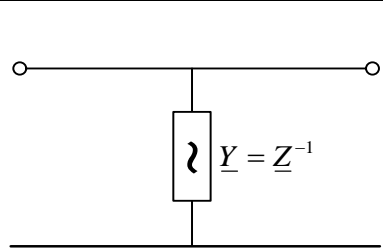
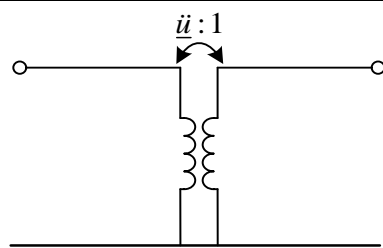
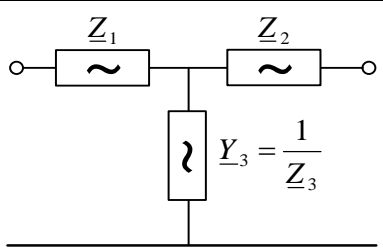
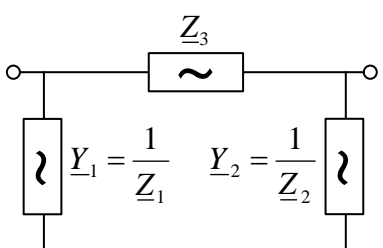
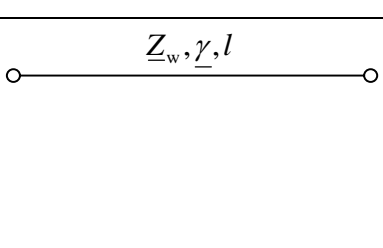
<p>Spannungsquellenersatzschaltung</p> $\underline{U} = \underline{Z}_i \underline{I} + \underline{U}_q$	
<p>Stromquellenersatzschaltung</p> $\underline{I} = \underline{Y}_i \underline{U} + \underline{I}_q$	
<p>Leerlauf</p>	$\underline{U} = \underline{U}_\ell = \underline{U}_q \text{ bzw. } \underline{U} = \underline{U}_\ell = -\frac{1}{\underline{Y}_i} \underline{I}_q$
<p>Kurzschluss</p>	$\underline{I} = \underline{I}_k = -\frac{1}{\underline{Z}_i} \underline{U}_q \text{ bzw. } \underline{I} = \underline{I}_k = \underline{I}_q$
<p>Umrechnung (identisches Klemmenverhalten)</p>	$\underline{Z}_i = -\frac{\underline{U}_\ell}{\underline{I}_k} = -\frac{\underline{U}_q}{\underline{I}_q} \text{ bzw. } \underline{U}_q = -\underline{Z}_i \underline{I}_q$

2.7.2 Vierpoldarstellung

Impedanzdarstellung	
<p>T-Ersatzschaltung</p>	
<p>Zweitorgleichungen (Z-Charakteristik)</p>	$\begin{bmatrix} \underline{U}_A \\ \underline{U}_B \end{bmatrix} = \begin{bmatrix} \underline{Z}_{AA} = \frac{\underline{U}_A}{\underline{I}_A} \Big _{\underline{I}_B=0} & \underline{Z}_{AB} = \frac{\underline{U}_A}{\underline{I}_B} \Big _{\underline{I}_A=0} \\ \underline{Z}_{BA} = \frac{\underline{U}_B}{\underline{I}_A} \Big _{\underline{I}_B=0} & \underline{Z}_{BB} = \frac{\underline{U}_B}{\underline{I}_B} \Big _{\underline{I}_A=0} \end{bmatrix} \begin{bmatrix} \underline{I}_A \\ \underline{I}_B \end{bmatrix}$ $\underline{u} = \underline{Z} \underline{i}$

Admittanzdarstellung	
Π-Ersatzschaltung	
Zweitorgleichungen (Y-Charakteristik)	$\begin{bmatrix} \underline{I}_A \\ \underline{I}_B \end{bmatrix} = \begin{bmatrix} \underline{Y}_{AA} = \frac{\underline{I}_A}{\underline{U}_A} \Big _{\underline{U}_B=0} & \underline{Y}_{AB} = \frac{\underline{I}_A}{\underline{U}_B} \Big _{\underline{U}_A=0} \\ \underline{Y}_{BA} = \frac{\underline{I}_B}{\underline{U}_A} \Big _{\underline{U}_B=0} & \underline{Y}_{BB} = \frac{\underline{I}_B}{\underline{U}_B} \Big _{\underline{U}_A=0} \end{bmatrix} \begin{bmatrix} \underline{U}_A \\ \underline{U}_B \end{bmatrix}$ $\underline{i} = \underline{Y} \underline{u}$
Kettenform	
Kettenform	
Klemmengrößen von Seite A in Abhängigkeit von Seite B	$\begin{bmatrix} \underline{U}_A \\ \underline{I}_A \end{bmatrix} = \begin{bmatrix} \underline{A}_{AA} = \frac{\underline{U}_A}{\underline{U}_B} \Big _{\underline{I}_B=0} & \underline{A}_{AB} = \frac{\underline{U}_A}{\underline{I}_B} \Big _{\underline{U}_B=0} \\ \underline{A}_{BA} = \frac{\underline{I}_A}{\underline{U}_B} \Big _{\underline{I}_B=0} & \underline{A}_{BB} = \frac{\underline{I}_A}{\underline{I}_B} \Big _{\underline{U}_B=0} \end{bmatrix} \begin{bmatrix} \underline{U}_B \\ \underline{I}_B \end{bmatrix}$ $\underline{z}_A = \underline{A}_{AB} \underline{z}_B$
Kettenschaltung	
Klemmengrößen von Seite A in Abhängigkeit von Seite D	$\underline{z}_A = \underline{A}'_{AB} \underline{z}'_B = \underline{A}'_{AB} \underline{A}_{CD} \underline{z}_D$ <p>Für die Kettenschaltung werden die Größen der Klemme B im EZS angegeben (gestrichene Größen)</p>
Umrechnung	
Invertierung einer 2x2-Matrix	$\underline{A}^{-1} = \begin{bmatrix} \underline{A}_{BB} & -\underline{A}_{AB} \\ -\underline{A}_{BA} & \underline{A}_{AA} \end{bmatrix} \cdot \frac{1}{\det(\underline{A})}$
Verluste eines Vierpols	
Verluste und Blindleistungsbedarf	$\underline{S}_V = P_V + jQ_V = \underline{S}_A + \underline{S}_B = \underline{U}_A \underline{I}_A^* + \underline{U}_B \underline{I}_B^*$

2.7.3 Spezielle Vierpole und ihre Ersatzschaltungen

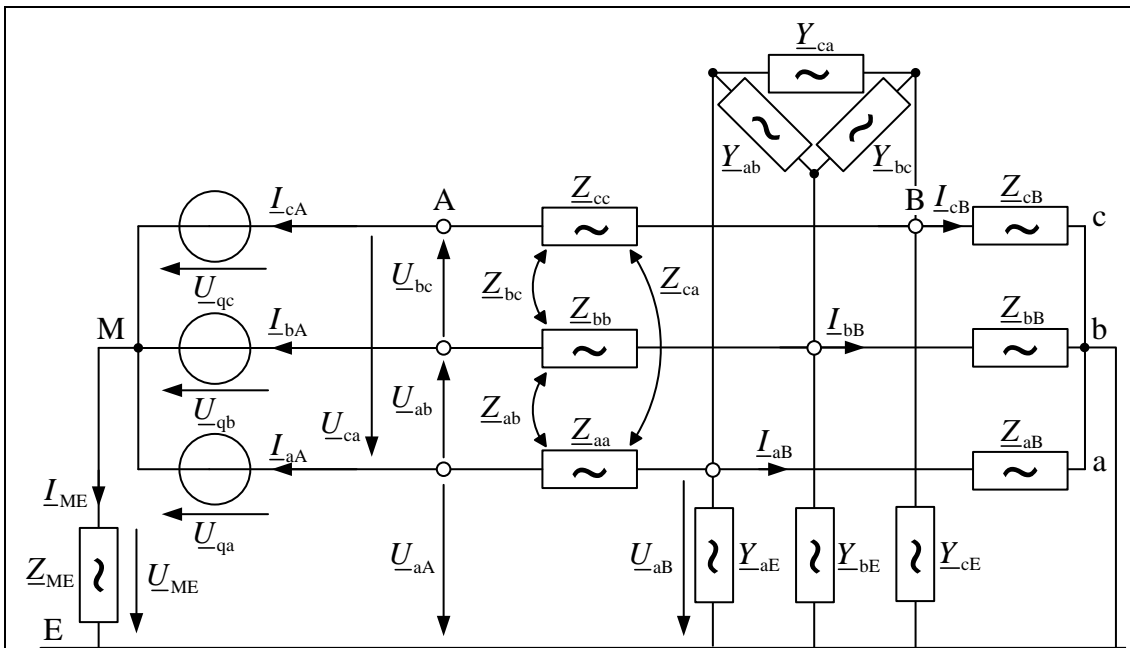
Bezeichnung	Ersatzschaltung	Vierpolmatrix \underline{A} in Kettenform
Längsimpedanz		$\begin{bmatrix} 1 & -\underline{Z} \\ 0 & -1 \end{bmatrix}$
Queradmittanz		$\begin{bmatrix} 1 & 0 \\ \underline{Y} & -1 \end{bmatrix}$
idealer Übertrager		$\begin{bmatrix} \underline{\dot{u}} & 0 \\ 0 & -1/\underline{\dot{u}}^* \end{bmatrix}$
T-Ersatzschaltung		$\begin{bmatrix} \underline{Z}_1 \underline{Y}_3 + 1 & -(\underline{Z}_1 + \underline{Z}_2 + \underline{Z}_1 \underline{Z}_2 \underline{Y}_3) \\ \underline{Y}_3 & -(\underline{Z}_2 \underline{Y}_3 + 1) \end{bmatrix}$
Π-Ersatzschaltung		$\begin{bmatrix} \underline{Z}_3 \underline{Y}_2 + 1 & -\underline{Z}_3 \\ \underline{Y}_1 + \underline{Y}_2 + \underline{Y}_1 \underline{Y}_2 \underline{Z}_3 & -(\underline{Z}_3 \underline{Y}_1 + 1) \end{bmatrix}$
Homogene Leitung (verteilte Parameter, siehe 8.3)		$\begin{bmatrix} \cosh(\underline{\gamma} l) & -\underline{Z}_w \sinh(\underline{\gamma} l) \\ \underline{Y}_w \sinh(\underline{\gamma} l) & -\cosh(\underline{\gamma} l) \end{bmatrix}$

3 Drehstromsystem

3.1 Stern- und Dreieckschaltung

Drehstromsystem mit zwei Verbrauchern in Stern- und Dreieckschaltung	
Außenleiterströme oder kurz Leiterströme	\underline{I}_v
Außenleiterspannungen oder Leiter-Leiter-Spannungen, (auch Dreieck- oder Leiterspannungen, verkettete Spannungen)	$\underline{U}_{v\mu}$
Leiter-Erde-Spannungen (auch (Außen)Leiter-Nullleiter-Spannungen)	\underline{U}_v
Sternspannungen (in Bezug zum Sternpunkt M (Außen)Leiter-Mittelleiter-Spannungen)	\underline{U}_{vM}
Strangströme in der Stern- bzw. Dreieckschaltung	$\underline{I}_{vStr}, \underline{I}_{v\mu Str}$
Strangspannungen in der Stern- bzw. Dreieckschaltung	$\underline{U}_{vStr}, \underline{U}_{v\mu Str}$
Sternpunkt-Erde-Spannung (auch Sternpunkt-Neutraleiter- oder Mittelpunktspannung)	\underline{U}_{ME}
Sternpunkt-(Erde-) oder Neutraleiterstrom	\underline{I}_{ME}
Sternschaltung Y	
Zusammenhang Strang-, Sternpunkt- und Außenleitergrößen für die Sternschaltung:	
$\begin{bmatrix} \underline{U}_{ab} \\ \underline{U}_{bc} \\ \underline{U}_{ca} \end{bmatrix} = \begin{bmatrix} 1 & -1 & 0 \\ 0 & 1 & -1 \\ -1 & 0 & 1 \end{bmatrix} \begin{bmatrix} \underline{U}_a \\ \underline{U}_b \\ \underline{U}_c \end{bmatrix} = \begin{bmatrix} 1 & -1 & 0 \\ 0 & 1 & -1 \\ -1 & 0 & 1 \end{bmatrix} \begin{bmatrix} \underline{U}_{aStr} \\ \underline{U}_{bStr} \\ \underline{U}_{cStr} \end{bmatrix} \quad \text{und} \quad \begin{bmatrix} \underline{I}_a \\ \underline{I}_b \\ \underline{I}_c \end{bmatrix} = \begin{bmatrix} \underline{I}_{aStr} \\ \underline{I}_{bStr} \\ \underline{I}_{cStr} \end{bmatrix}$	
sowie $\underline{U}_v = \underline{U}_{vStr} + \underline{U}_{ME}$ mit $\underline{U}_{ME} = \underline{Z}_{ME} \underline{I}_{ME}$ und $\underline{I}_{ME} = \sum_v \underline{I}_v = \sum_v \underline{I}_{vStr}$ für $v = a, b, c$	
Dreieckschaltung Δ	
Zusammenhang Strang- und Außenleitergrößen für die Dreieckschaltung:	
$\begin{bmatrix} \underline{I}_a \\ \underline{I}_b \\ \underline{I}_c \end{bmatrix} = \begin{bmatrix} 1 & 0 & -1 \\ -1 & 1 & 0 \\ 0 & -1 & 1 \end{bmatrix} \begin{bmatrix} \underline{I}_{abStr} \\ \underline{I}_{bcStr} \\ \underline{I}_{caStr} \end{bmatrix} \quad \text{und} \quad \begin{bmatrix} \underline{U}_{ab} \\ \underline{U}_{bc} \\ \underline{U}_{ca} \end{bmatrix} = \begin{bmatrix} \underline{U}_{abStr} \\ \underline{U}_{bcStr} \\ \underline{U}_{caStr} \end{bmatrix} = \begin{bmatrix} 1 & -1 & 0 \\ 0 & 1 & -1 \\ -1 & 0 & 1 \end{bmatrix} \begin{bmatrix} \underline{U}_a \\ \underline{U}_b \\ \underline{U}_c \end{bmatrix}$	

3.2 Spannungen und Ströme im Dreileitersystem

Spannungsgleichungssystem²⁾:

$$\begin{bmatrix} \underline{Z}_{ME} & \underline{Z}_{ME} & \underline{Z}_{ME} \\ \underline{Z}_{ME} & \underline{Z}_{ME} & \underline{Z}_{ME} \\ \underline{Z}_{ME} & \underline{Z}_{ME} & \underline{Z}_{ME} \end{bmatrix} \begin{bmatrix} \underline{I}_{aA} \\ \underline{I}_{bA} \\ \underline{I}_{cA} \end{bmatrix} + \begin{bmatrix} \underline{U}_{qa} \\ \underline{U}_{qb} \\ \underline{U}_{qc} \end{bmatrix} + \begin{bmatrix} \underline{Z}_{aa} & \underline{Z}_{ab} & \underline{Z}_{ac} \\ \underline{Z}_{ba} & \underline{Z}_{bb} & \underline{Z}_{bc} \\ \underline{Z}_{ca} & \underline{Z}_{cb} & \underline{Z}_{cc} \end{bmatrix} \begin{bmatrix} \underline{I}_{aA} \\ \underline{I}_{bA} \\ \underline{I}_{cA} \end{bmatrix} = \begin{bmatrix} \underline{U}_{aB} \\ \underline{U}_{bB} \\ \underline{U}_{cB} \end{bmatrix}$$

 $\underline{Z}_{ME} \underline{i}_A + \underline{u}_q + \underline{Z} \underline{i}_A = \underline{u}_B$ und

$$\begin{bmatrix} \underline{Z}_{aB} & 0 & 0 \\ 0 & \underline{Z}_{bB} & 0 \\ 0 & 0 & \underline{Z}_{cB} \end{bmatrix} \begin{bmatrix} \underline{I}_{aB} \\ \underline{I}_{bB} \\ \underline{I}_{cB} \end{bmatrix} = \begin{bmatrix} \underline{U}_{aB} \\ \underline{U}_{bB} \\ \underline{U}_{cB} \end{bmatrix}$$

 $\underline{Z}_B \underline{i}_B = \underline{u}_B$

mit:

$$\begin{bmatrix} \underline{U}_{aA} \\ \underline{U}_{bA} \\ \underline{U}_{cA} \end{bmatrix} = \begin{bmatrix} \underline{U}_{qa} \\ \underline{U}_{qb} \\ \underline{U}_{qc} \end{bmatrix} + \begin{bmatrix} \underline{U}_{ME} \\ \underline{U}_{ME} \\ \underline{U}_{ME} \end{bmatrix} \quad \text{und} \quad \underline{U}_{ME} = \underline{Z}_{ME} \underline{I}_{ME} = \underline{Z}_{ME} \begin{bmatrix} 1 & 1 & 1 \end{bmatrix} \begin{bmatrix} \underline{I}_{aA} \\ \underline{I}_{bA} \\ \underline{I}_{cA} \end{bmatrix}$$

$$\underline{u}_A = \underline{u}_q + \underline{u}_{ME} \quad \text{und} \quad \underline{u}_{ME} = \underline{Z}_{ME} \mathbf{1}^T \underline{i}_A$$

Stromgleichungssystem:

$$\begin{bmatrix} \underline{I}_{aA} \\ \underline{I}_{bA} \\ \underline{I}_{cA} \end{bmatrix} + \begin{bmatrix} \underline{I}_{aB} \\ \underline{I}_{bB} \\ \underline{I}_{cB} \end{bmatrix} + \begin{bmatrix} \underline{Y}_{aE} + \underline{Y}_{ab} + \underline{Y}_{ac} & -\underline{Y}_{ab} & -\underline{Y}_{ac} \\ -\underline{Y}_{ba} & \underline{Y}_{bE} + \underline{Y}_{ba} + \underline{Y}_{bc} & -\underline{Y}_{bc} \\ -\underline{Y}_{ca} & -\underline{Y}_{cb} & \underline{Y}_{cE} + \underline{Y}_{ca} + \underline{Y}_{cb} \end{bmatrix} \begin{bmatrix} \underline{U}_{aB} \\ \underline{U}_{bB} \\ \underline{U}_{cB} \end{bmatrix} = \begin{bmatrix} 0 \\ 0 \\ 0 \end{bmatrix}$$

$$\underline{i}_A + \underline{i}_B + \underline{Y} \underline{u}_B = 0$$

²⁾ Die Kopplungen der Stränge über Gegenimpedanzen sind für \underline{Z}_B vernachlässigt worden. Für eine Berücksichtigung dieser Kopplungen ist \underline{Z}_B analog zu \underline{Z} darzustellen und zu behandeln.

3.3 Symmetrisches Drehstromsystem

3.3.1 Symmetriebedingungen

a) Geometrische Symmetrie (symmetrischer Aufbau der Betriebsmittel)	
Impedanzmatrix (siehe 3.2):	
$\underline{Z} = \begin{bmatrix} \underline{Z}_{aa} & \underline{Z}_{ab} & \underline{Z}_{ac} \\ \underline{Z}_{ba} & \underline{Z}_{bb} & \underline{Z}_{bc} \\ \underline{Z}_{ca} & \underline{Z}_{cb} & \underline{Z}_{cc} \end{bmatrix} = \begin{bmatrix} \underline{Z}_s & \underline{Z}_g & \underline{Z}_g \\ \underline{Z}_g & \underline{Z}_s & \underline{Z}_g \\ \underline{Z}_g & \underline{Z}_g & \underline{Z}_s \end{bmatrix}$	mit $\underline{Z}_{aa} = \underline{Z}_{bb} = \underline{Z}_{cc} = \underline{Z}_s$ und $\underline{Z}_{ab} = \underline{Z}_{ba} = \underline{Z}_{bc} = \underline{Z}_{cb} = \underline{Z}_{ac} = \underline{Z}_{ca} = \underline{Z}_g$
Admittanzmatrix (siehe 3.2):	
$\underline{Y} = \begin{bmatrix} \underline{Y}_{aE} + \underline{Y}_{ab} + \underline{Y}_{ac} & -\underline{Y}_{ab} & -\underline{Y}_{ac} \\ -\underline{Y}_{ba} & \underline{Y}_{bE} + \underline{Y}_{ba} + \underline{Y}_{bc} & -\underline{Y}_{bc} \\ -\underline{Y}_{ca} & -\underline{Y}_{cb} & \underline{Y}_{cE} + \underline{Y}_{ca} + \underline{Y}_{cb} \end{bmatrix} = \begin{bmatrix} \underline{Y}_s & \underline{Y}_g & \underline{Y}_g \\ \underline{Y}_g & \underline{Y}_s & \underline{Y}_g \\ \underline{Y}_g & \underline{Y}_g & \underline{Y}_s \end{bmatrix}$	mit
$\underline{Y}_{aE} = \underline{Y}_{bE} = \underline{Y}_{cE} = \underline{Y}_E$, $\underline{Y}_{ab} = \underline{Y}_{ba} = \underline{Y}_{bc} = \underline{Y}_{cb} = \underline{Y}_{ac} = \underline{Y}_{ca} = \underline{Y} = -\underline{Y}_g$ und $\underline{Y}_E + 2\underline{Y} = \underline{Y}_s$	
b) Elektrische Symmetrie (symmetrische Quellen und Belastungen)	
Symmetrische Quelle	$\underline{U}_{qa} + \underline{U}_{qb} + \underline{U}_{qc} = \underline{U}_{qa} + \underline{a}^2 \underline{U}_{qa} + \underline{a} \underline{U}_{qa} = 0$
Symmetrische Belastung	$\underline{Z}_{aB} = \underline{Z}_{bB} = \underline{Z}_{cB} = \underline{Z}_B$ (siehe Fußnote 2)
Aus a) und b) folgt: Symmetrische Ströme und Spannungen an jedem Ort x im Netz	
$\underline{I}_{ax} + \underline{I}_{bx} + \underline{I}_{cx} = \underline{I}_{ax} (1 + \underline{a}^2 + \underline{a}) = 0$ und $\underline{U}_{ax} + \underline{U}_{bx} + \underline{U}_{cx} = \underline{U}_{ax} (1 + \underline{a}^2 + \underline{a}) = 0$	

3.3.2 Strangersatzschaltung

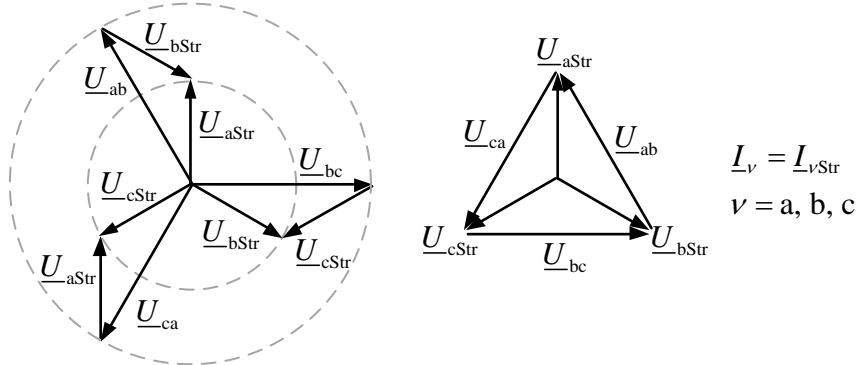
Unter Voraussetzung der Symmetriebedingungen in 3.3.1 ergeben sich aus den allgemeinen Spannungs- und Stromgleichungen in 3.2 entkoppelte Gleichungssysteme:	
$\begin{bmatrix} \underline{U}_{qa} \\ \underline{U}_{qb} \\ \underline{U}_{qc} \end{bmatrix} + \begin{bmatrix} \underline{Z}_s - \underline{Z}_g & 0 & 0 \\ 0 & \underline{Z}_s - \underline{Z}_g & 0 \\ 0 & 0 & \underline{Z}_s - \underline{Z}_g \end{bmatrix} \begin{bmatrix} \underline{I}_{aA} \\ \underline{I}_{bA} \\ \underline{I}_{cA} \end{bmatrix} = \begin{bmatrix} \underline{U}_{aB} \\ \underline{U}_{bB} \\ \underline{U}_{cB} \end{bmatrix} = \begin{bmatrix} \underline{Z}_B & 0 & 0 \\ 0 & \underline{Z}_B & 0 \\ 0 & 0 & \underline{Z}_B \end{bmatrix} \begin{bmatrix} \underline{I}_{aB} \\ \underline{I}_{bB} \\ \underline{I}_{cB} \end{bmatrix}$	und
$\begin{bmatrix} \underline{I}_{aA} \\ \underline{I}_{bA} \\ \underline{I}_{cA} \end{bmatrix} + \begin{bmatrix} \underline{I}_{aB} \\ \underline{I}_{bB} \\ \underline{I}_{cB} \end{bmatrix} + \begin{bmatrix} \underline{Y}_s - \underline{Y}_g & 0 & 0 \\ 0 & \underline{Y}_s - \underline{Y}_g & 0 \\ 0 & 0 & \underline{Y}_s - \underline{Y}_g \end{bmatrix} \begin{bmatrix} \underline{U}_{aB} \\ \underline{U}_{bB} \\ \underline{U}_{cB} \end{bmatrix} = \begin{bmatrix} 0 \\ 0 \\ 0 \end{bmatrix}$	mit $\underline{U}_{ME} = 0$ und $\underline{I}_{ME} = 0$ sowie $\underline{u}_A = \underline{u}_q$
Strangersatzschaltung für den Bezugsleiter a der Anordnung aus 3.2	
Mit den Größen: $\underline{Z}_1 = \underline{Z}_s - \underline{Z}_g$ $\underline{Y}_1 = \underline{Y}_s - \underline{Y}_g = \underline{Y}_E + 3\underline{Y}$ und $\underline{U}_q = \underline{U}_{qa}$ (Der Index a kann entfallen)	
Die Strangersatzschaltung des Leiters a für das symmetrische Drehstromsystem ist mit der Ersatzschaltung des Mitsystems (Index 1) identisch (siehe Abschnitt 3.5.2).	

3.3.3 Zusammenhänge zwischen Strang-, Stern- und Außenleitergrößen

Sternschaltung Y

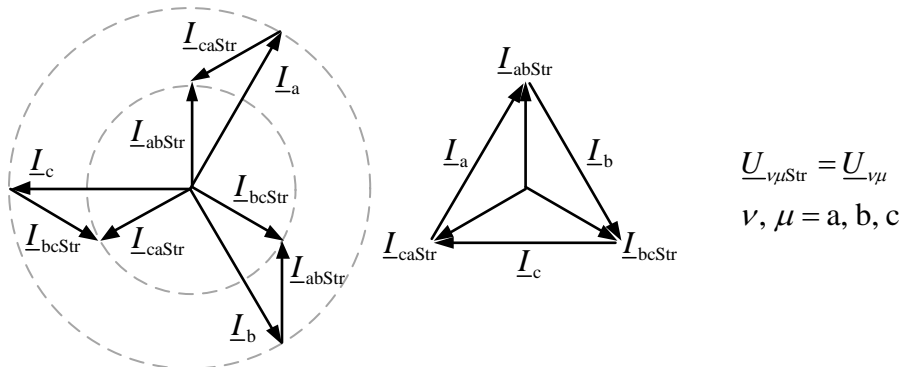
Zusammenhang Strang-, Stern- und Außenleitergrößen für die Sternschaltung:

$$\begin{bmatrix} \underline{U}_{ab} \\ \underline{U}_{bc} \\ \underline{U}_{ca} \end{bmatrix} = (1 - \underline{a}^2) \begin{bmatrix} \underline{U}_{aStr} \\ \underline{U}_{bStr} \\ \underline{U}_{cStr} \end{bmatrix} = \sqrt{3} e^{j\frac{\pi}{6}} \begin{bmatrix} \underline{U}_{aStr} \\ \underline{U}_{bStr} \\ \underline{U}_{cStr} \end{bmatrix} \quad \text{und} \quad \begin{bmatrix} \underline{I}_a \\ \underline{I}_b \\ \underline{I}_c \end{bmatrix} = \begin{bmatrix} \underline{I}_{aStr} \\ \underline{I}_{bStr} \\ \underline{I}_{cStr} \end{bmatrix} \quad \text{sowie} \quad \underline{U}_{vStr} = \underline{U}_v = \underline{U}_{vM}$$

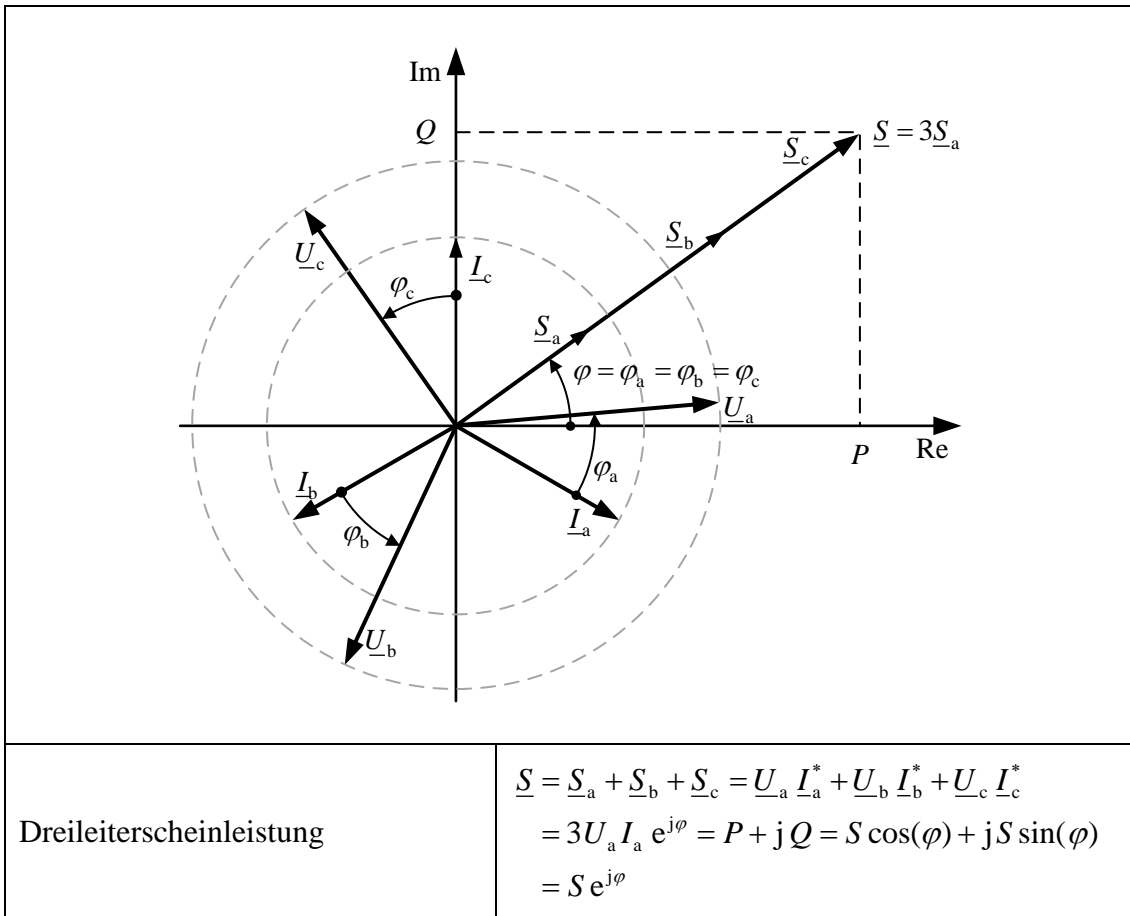
Dreieckschaltung Δ

Zusammenhang Strang- und Außenleitergrößen für die Dreieckschaltung:

$$\begin{bmatrix} \underline{I}_a \\ \underline{I}_b \\ \underline{I}_c \end{bmatrix} = (1 - \underline{a}) \begin{bmatrix} \underline{I}_{abStr} \\ \underline{I}_{bcStr} \\ \underline{I}_{caStr} \end{bmatrix} = \sqrt{3} e^{-j\frac{\pi}{6}} \begin{bmatrix} \underline{I}_{abStr} \\ \underline{I}_{bcStr} \\ \underline{I}_{caStr} \end{bmatrix} \quad \text{und} \quad \begin{bmatrix} \underline{U}_{ab} \\ \underline{U}_{bc} \\ \underline{U}_{ca} \end{bmatrix} = \begin{bmatrix} \underline{U}_{abStr} \\ \underline{U}_{bcStr} \\ \underline{U}_{caStr} \end{bmatrix} = \sqrt{3} e^{j\frac{\pi}{6}} \begin{bmatrix} \underline{U}_a \\ \underline{U}_b \\ \underline{U}_c \end{bmatrix}$$



3.3.4 Zeigerdiagramm und Dreileiterscheinleistung



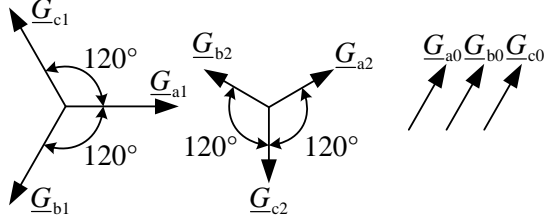
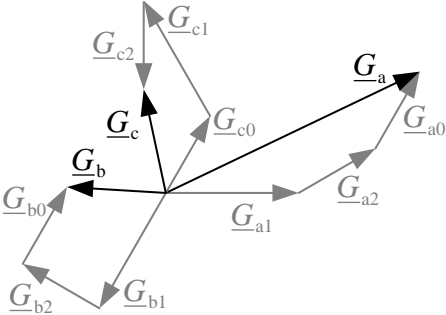
3.4 Stern-Dreieck-Umwandlung

Umrechnungen zwischen Dreieckschaltung und Sternschaltung ³⁾	
Stern-Dreieck-Umwandlung (Y → Δ)	$\underline{Y}_{ab} = \frac{\underline{Y}_a \underline{Y}_b}{\underline{Y}_\Sigma}, \underline{Y}_{bc} = \frac{\underline{Y}_b \underline{Y}_c}{\underline{Y}_\Sigma}, \underline{Y}_{ca} = \frac{\underline{Y}_c \underline{Y}_a}{\underline{Y}_\Sigma} \text{ mit}$ $\underline{Y}_\Sigma = \underline{Y}_a + \underline{Y}_b + \underline{Y}_c$
Dreieck-Stern-Umwandlung (Δ → Y)	$\underline{Z}_a = \frac{\underline{Z}_{ab} \underline{Z}_{ca}}{\underline{Z}_\Sigma}, \underline{Z}_b = \frac{\underline{Z}_{ab} \underline{Z}_{bc}}{\underline{Z}_\Sigma}, \underline{Z}_c = \frac{\underline{Z}_{ac} \underline{Z}_{bc}}{\underline{Z}_\Sigma} \text{ mit}$ $\underline{Z}_\Sigma = \underline{Z}_{ab} + \underline{Z}_{bc} + \underline{Z}_{ca}$
Umrechnung bei symmetrischen Dreileitersystemen (siehe 3.3)	
$\underline{Y}_v = \underline{Y}_Y \text{ bzw. } \underline{Z}_{v\mu} = \underline{Z}_\Delta$ <p>mit $v, \mu = a, b, c$</p>	$\underline{Y}_{v\mu} = \frac{\underline{Y}_Y}{3} \text{ f\u00fcr } Y \rightarrow \Delta \text{ und } \underline{Z}_v = \frac{\underline{Z}_\Delta}{3} \text{ f\u00fcr } \Delta \rightarrow Y$

³⁾ Voraussetzung: Der Sternpunkt der Sternschaltung ist nicht geerdet ($\underline{Y}_{ME} = 0$ bzw. $|\underline{Z}_{ME}| \rightarrow \infty$).

3.5 Unsymmetrisches Drehstromsystem

3.5.1 Symmetrische Komponenten

Symmetrische Komponenten (SK) eines Drehstromsystems	<p>Mitsystem (1) Gegensystem (2) Nullsystem (0)</p> 
Leiter a als Bezugsleiter	$\underline{G}_{a1} = \underline{G}_1 \quad \underline{G}_{a2} = \underline{G}_2 \quad \underline{G}_{a0} = \underline{G}_0$ $\underline{G}_{b1} = \underline{a}^2 \underline{G}_1 \quad \underline{G}_{b2} = \underline{a} \underline{G}_2 \quad \underline{G}_{b0} = \underline{G}_0$ $\underline{G}_{c1} = \underline{a} \underline{G}_1 \quad \underline{G}_{c2} = \underline{a}^2 \underline{G}_2 \quad \underline{G}_{c0} = \underline{G}_0$
Zerlegung der Größen in die symmetrischen Komponenten	$\underline{g} = \begin{bmatrix} \underline{G}_a \\ \underline{G}_b \\ \underline{G}_c \end{bmatrix} = \begin{bmatrix} \underline{G}_{a1} + \underline{G}_{a2} + \underline{G}_{a0} \\ \underline{G}_{b1} + \underline{G}_{b2} + \underline{G}_{b0} \\ \underline{G}_{c1} + \underline{G}_{c2} + \underline{G}_{c0} \end{bmatrix}$
Transformationsbeziehungen	$\underline{g} = \begin{bmatrix} \underline{G}_a \\ \underline{G}_b \\ \underline{G}_c \end{bmatrix} = \begin{bmatrix} 1 & 1 & 1 \\ \underline{a}^2 & \underline{a} & 1 \\ \underline{a} & \underline{a}^2 & 1 \end{bmatrix} \begin{bmatrix} \underline{G}_1 \\ \underline{G}_2 \\ \underline{G}_0 \end{bmatrix} = \underline{T}_s \underline{g}_s$ $\underline{g}_s = \begin{bmatrix} \underline{G}_1 \\ \underline{G}_2 \\ \underline{G}_0 \end{bmatrix} = \frac{1}{3} \begin{bmatrix} 1 & \underline{a} & \underline{a}^2 \\ 1 & \underline{a}^2 & \underline{a} \\ 1 & 1 & 1 \end{bmatrix} \begin{bmatrix} \underline{G}_a \\ \underline{G}_b \\ \underline{G}_c \end{bmatrix} = \underline{T}_s^{-1} \underline{g}$
Zeigerbild der unsymmetrischen Größen in natürlichen Koordinaten und ihrer Zusammensetzung in symmetrischen Komponenten	
Scheinleistung in symmetrischen Komponenten	$\underline{S}_s = \underline{u}_s^T \underline{i}_s^* = \underline{U}_1 \underline{I}_1^* + \underline{U}_2 \underline{I}_2^* + \underline{U}_0 \underline{I}_0^*$
Scheinleistung in natürlichen Koordinaten	$\underline{S} = \underline{u}^T \underline{i}^* = \underline{U}_a \underline{I}_a^* + \underline{U}_b \underline{I}_b^* + \underline{U}_c \underline{I}_c^*$
Transformation in Symmetrische Komponenten ist leistungsvariant	$\underline{S} = \underline{u}^T \underline{i}^* = (\underline{T}_s \underline{u}_s)^T (\underline{T}_s \underline{i}_s)^* = \underline{u}_s^T \underline{T}_s^T \underline{T}_s^* \underline{i}_s^*$ $= 3 \underline{u}_s^T \underline{i}_s^* = 3 \underline{S}_s$

3.5.2 Ersatzschaltungen in Symmetrischen Komponenten

Spannungsgleichungen aus 3.2 in Symmetrischen Komponenten (entkoppelt):

$$\begin{bmatrix} 0 \\ 0 \\ 3\underline{Z}_{ME} \end{bmatrix} \begin{bmatrix} \underline{I}_{1A} \\ \underline{I}_{2A} \\ \underline{I}_{0A} \end{bmatrix} + \begin{bmatrix} \underline{U}_{q1} \\ 0 \\ 0 \end{bmatrix} + \begin{bmatrix} \underline{Z}_1 & & \\ & \underline{Z}_2 & \\ & & \underline{Z}_0 \end{bmatrix} \begin{bmatrix} \underline{I}_{1A} \\ \underline{I}_{2A} \\ \underline{I}_{0A} \end{bmatrix} = \begin{bmatrix} \underline{U}_{1B} \\ \underline{U}_{2B} \\ \underline{U}_{0B} \end{bmatrix} = \begin{bmatrix} \underline{Z}_{1B} & 0 & 0 \\ 0 & \underline{Z}_{2B} & 0 \\ 0 & 0 & \underline{Z}_{0B} \end{bmatrix} \begin{bmatrix} \underline{I}_{1B} \\ \underline{I}_{2B} \\ \underline{I}_{0B} \end{bmatrix}$$

Stromgleichungen aus 3.2 in Symmetrischen Komponenten (entkoppelt):

$$\begin{bmatrix} \underline{I}_{1A} \\ \underline{I}_{2A} \\ \underline{I}_{0A} \end{bmatrix} + \begin{bmatrix} \underline{I}_{1B} \\ \underline{I}_{2B} \\ \underline{I}_{0B} \end{bmatrix} + \begin{bmatrix} \underline{Y}_1 & & \\ & \underline{Y}_2 & \\ & & \underline{Y}_0 \end{bmatrix} \begin{bmatrix} \underline{U}_{1B} \\ \underline{U}_{2B} \\ \underline{U}_{0B} \end{bmatrix} = \begin{bmatrix} 0 \\ 0 \\ 0 \end{bmatrix} \quad \text{mit} \quad \begin{bmatrix} \underline{U}_{1A} \\ \underline{U}_{2A} \\ \underline{U}_{0A} \end{bmatrix} = \begin{bmatrix} \underline{U}_{q1} \\ 0 \\ 0 \end{bmatrix} + \begin{bmatrix} 0 \\ 0 \\ 3\underline{Z}_{ME} \underline{I}_{0A} \end{bmatrix}$$

Mitsystem-Ersatzschaltung:

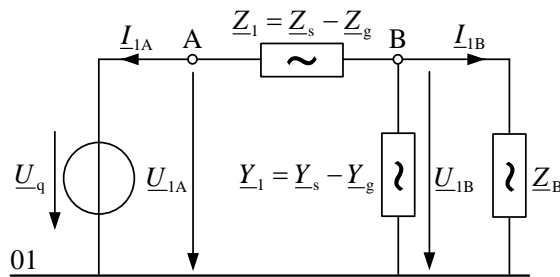
$$\underline{Z}_1 = \underline{Z}_s - \underline{Z}_g$$

$$\underline{Z}_{1B} = \underline{Z}_B$$

$$\underline{Y}_1 = \underline{Y}_s - \underline{Y}_g = \underline{Y}_E + 3\underline{Y}$$

$$\underline{U}_{q1} = \underline{U}_{qa} = \underline{U}_q$$

(vgl. Strangersatzschaltung 3.3.2)

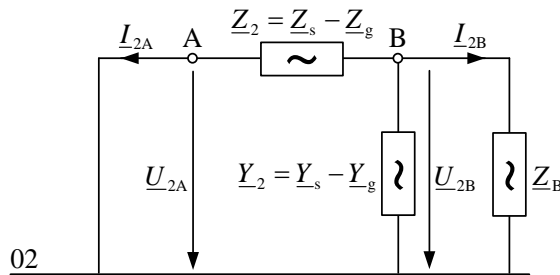


Gegensystem-Ersatzschaltung:

$$\underline{Z}_2 = \underline{Z}_1 = \underline{Z}_s - \underline{Z}_g$$

$$\underline{Z}_{2B} = \underline{Z}_{1B} = \underline{Z}_B$$

$$\underline{Y}_2 = \underline{Y}_1 = \underline{Y}_s - \underline{Y}_g = \underline{Y}_E + 3\underline{Y}$$

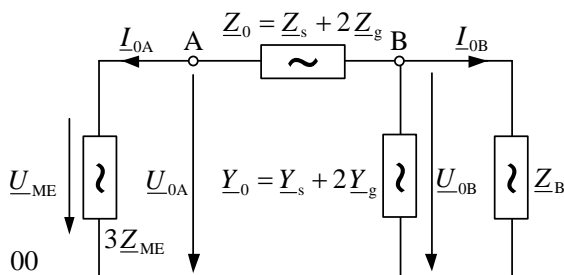


Nullsystem-Ersatzschaltung:

$$\underline{Z}_0 = \underline{Z}_s + 2\underline{Z}_g$$

$$\underline{Z}_{0B} = \underline{Z}_B$$

$$\underline{Y}_0 = \underline{Y}_s + 2\underline{Y}_g = \underline{Y}_E$$



Die Sternpunkt-Erde-Impedanz \underline{Z}_{ME} geht mit ihrem 3-fachen Wert in die Ersatzschaltung für das Nullsystem ein. Für die Sternpunkt-Erde-Spannung gilt: $\underline{U}_{ME} = 3\underline{Z}_{ME} \underline{I}_{0A}$

Bei Symmetrie gilt:

Im symmetrischen Zustand sind die Komponentensysteme nicht gekoppelt und die Gegen- und Nullsystemgrößen null (passive Ersatzschaltungen). Die Betrachtung der Mitsystem-Ersatzschaltung der Betriebsmittel ist ausreichend (vgl. Abschnitt 3.3.2).

Im unsymmetrischen Fehlerfall gilt:

Unsymmetrische Fehler bewirken eine Verschaltung der Komponentensysteme an der Kurzschlussstelle in Abhängigkeit von der Fehlerart (siehe 3.5.3). Die Art der Verschaltung ergibt sich aus den drei in SK transformierten Fehlerbedingungen an der Kurzschlussstelle.

3.5.3 Fehlerbedingungen

Fehlerart	Fehlerbedingungen				Schaltung der SK
	Originalsystem		Symmetr. Koordinaten		
3-pol. KS 	$\underline{U}_a - \underline{U}_b = 0$ $\underline{U}_b - \underline{U}_c = 0$ —	— — $\underline{I}_a + \underline{I}_b + \underline{I}_c = 0$	$\underline{U}_1 = 0$ $\underline{U}_2 = 0$ —	— — $\underline{I}_0 = 0$	
3-pol. EKS 	$\underline{U}_a = 0$ $\underline{U}_b = 0$ $\underline{U}_c = 0$	— — —	$\underline{U}_1 = 0$ $\underline{U}_2 = 0$ $\underline{U}_0 = 0$	— — —	
1-pol. EKS 	$\underline{U}_a = 0$ — —	— $\underline{I}_b = 0$ $\underline{I}_c = 0$	$\underline{U}_1 + \underline{U}_2 + \underline{U}_0 = 0$ — —	— $\underline{I}_2 = \underline{I}_1$ $\underline{I}_0 = \underline{I}_2$	
2-pol. KS 	— — $\underline{U}_b - \underline{U}_c = 0$	$\underline{I}_a = 0$ $\underline{I}_b + \underline{I}_c = 0$ —	— — $\underline{U}_2 = \underline{U}_1$	$\underline{I}_1 + \underline{I}_2 = 0$ $\underline{I}_0 = 0$ —	
2-pol. EKS 	— $\underline{U}_b = 0$ $\underline{U}_c = 0$	$\underline{I}_a = 0$ — —	— $\underline{U}_2 = \underline{U}_1$ $\underline{U}_0 = \underline{U}_2$	$\underline{I}_1 + \underline{I}_2 + \underline{I}_0 = 0$ — —	
3-pol. UB 	— — —	$\underline{I}_a = 0$ $\underline{I}_b = 0$ $\underline{I}_c = 0$	— — —	$\underline{I}_1 = 0$ $\underline{I}_2 = 0$ $\underline{I}_0 = 0$	
2-pol. UB 	$\underline{U}_a = 0$ — —	— $\underline{I}_b = 0$ $\underline{I}_c = 0$	$\underline{U}_1 + \underline{U}_2 + \underline{U}_0 = 0$ — —	— $\underline{I}_2 = \underline{I}_1$ $\underline{I}_0 = \underline{I}_2$	
1-pol. UB 	— $\underline{U}_b = 0$ $\underline{U}_c = 0$	$\underline{I}_a = 0$ — —	— $\underline{U}_2 = \underline{U}_1$ $\underline{U}_0 = \underline{U}_2$	$\underline{I}_1 + \underline{I}_2 + \underline{I}_0 = 0$ — —	

4 Ersatznetze

Mitsystem-Ersatzschaltung	
<p>Netzzinnenimpedanz: $\underline{Z}_1 = \underline{Z}_{1N} = R_N + jX_N$</p>	
<p>Mitsystemimpedanz (Spannungsfaktor c siehe Abschnitt 12.3)</p>	$Z_{1N} = \frac{c U_{nN}}{\sqrt{3} I_k''} = \frac{c U_{nN}^2}{S_k''} = X_{1N} \sqrt{1 + \left(\frac{r_N}{x_N}\right)^2}$
<p>R-zu-X-Verhältnis:</p>	$r_N / x_N = \frac{R_N}{X_N}$
<p>Kurzschlussleistung bei 3-pol. KS (fiktive Rechengröße)</p>	$S_k'' = \sqrt{3} U_{nN} I_k'' = \sqrt{3} U_{nN} \frac{c U_{nN}}{\sqrt{3} Z_{1N}} = \frac{c U_{nN}^2}{Z_{1N}}$
Gegensystem-Ersatzschaltung	
<p>In der Regel gilt für die Gegensystemimpedanz von Ersatznetzen: $\underline{Z}_2 = \underline{Z}_{2N} = \underline{Z}_{1N}$</p>	
Nullsystem-Ersatzschaltung	
<p>Die Nullsystemimpedanz $\underline{Z}_0 = \underline{Z}_{0N} + 3\underline{Z}_{ME}$ ist abhängig von der Sternpunktterdung: $\frac{Z_0}{Z_{1N}} = 3 \frac{I_k''}{I_{k1}''} - 2$ (Verhältnis 3-pol. KS zu 1-pol. KS)</p>	
<p>Für Netze mit freiem Sternpunkt oder Resonanzsternpunktterdung gilt: $Z_0 \gg Z_{1N}$ Für Netze mit starrer Sternpunktterdung ($Z_{ME} = 0$) gilt in der Regel: $Z_0 = Z_{0N} > Z_{1N}$</p>	
Sonderfall starres Netz	
<p>$S_k'' \rightarrow \infty$ und $\underline{Z}_{1N} = \underline{Z}_{2N} = \underline{Z}_{0N} = \underline{Z}_{ME} \rightarrow 0$ (frequenz- und spannungsstarres Netz)</p>	

5 Synchronmaschinen

5.1 Ersatzschaltungen für den stationären Betrieb

Mitsystem-Ersatzschaltungen	
Allgemeine Generatorgleichung	$\underline{U}_{-1} = (R_a + jX_1) \underline{I}_{-1} + \underline{U}_{-\Delta} + \underline{U}_p$ $\underline{U}_{-\Delta} = j(X_d - X_1) \underline{I}_{1d} + j(X_q - X_1) \underline{I}_{1q}$
Mitsystem-Ersatzschaltung der Schenkelpolmaschine	
Schenkelpolmaschine: $X_d \neq X_q$ Zweckmäßig: $X_1 = X_q$ Mitsystemimpedanz: $Z_{-1} = Z_{1G} = R_a + jX_q$	
Mitsystem-Ersatzschaltung der Vollpolmaschine	
Vollpolmaschine: $X_d = X_q$ Zweckmäßig: $X_1 = X_d$ Mitsystemimpedanz: $Z_{-1} = Z_{1G} = R_a + jX_d$	
Polradspannung (nichtlineare Funktion des Erregerstroms, Leerlaufkennlinie) und Erregergrad	$U_p = f(I'_f) \text{ und } \varepsilon = \frac{U_p}{U_{rG}/\sqrt{3}}$
Leerlauf-Erregerstrom I'_{f0}	$U_p(I'_{f0}) = U_{rG}/\sqrt{3} \text{ und } \varepsilon = 1$
Über- bzw. Untererregung	$I'_f > I'_{f0} \text{ und } \varepsilon > 1 \text{ bzw. } I'_f < I'_{f0} \text{ und } \varepsilon < 1$
Polradwinkel	$\delta_p = \sphericalangle(\underline{U}_p, \underline{U}_{-1}) = \varphi_{U_p} - \varphi_{U_{-1}}$
Bezugsimpedanz	$Z_B = \frac{U_{rG}^2}{S_{rG}} = \frac{U_{rG}}{\sqrt{3}I_{rG}}$
Ankerwiderstand	$R_a = r_a Z_B$
Synchrone Längsreaktanz	$X_d = x_d Z_B$
Synchrone Querreaktanz	$X_q = x_q Z_B$

Gegensystem-Ersatzschaltung	
<p>Gegensystemimpedanz:</p> $\underline{Z}_2 = \underline{Z}_{2G} = R_a + \frac{j}{2}(X_d'' + X_q'')$ $+ \frac{1}{4}(k_f^2 R_f + k_D^2 R_D + k_Q^2 R_Q)$	
Nullsystem-Ersatzschaltung	
<p>Nullsystemimpedanz:</p> $\underline{Z}_0 = \underline{Z}_{0G} + 3\underline{Z}_{ME}$ $= R_a + jX_{0G} + 3R_{ME} + 3jX_{ME}$	
<p>Üblicherweise sind die Sternpunkte der Synchronmaschinen nicht geerdet: $Z_{ME} \rightarrow \infty$</p>	

5.2 Ersatzschaltung für den transienten Betrieb

Mitsystem-Ersatzschaltung der Vollpolmaschine für den transienten Betrieb	
<p>Transiente Längsreaktanz:</p> $X_d' = x_d' Z_B$ <p>Transiente Spannung:</p> $\underline{U}_1' = \underline{U}_1(0^-) - (R_a + jX_d') \underline{I}_1(0^-)$ $= \underline{U}_1(0^-) - \underline{Z}_{1G}' \underline{I}_1(0^-)$	
<p>Bestimmung der transienten Spannung \underline{U}_1' (und der subtransienten Spannungen \underline{U}_1'' in 5.3) erfolgt jeweils mit den Klemmengrößen unmittelbar vor der Störung ($t = 0^-$).</p>	

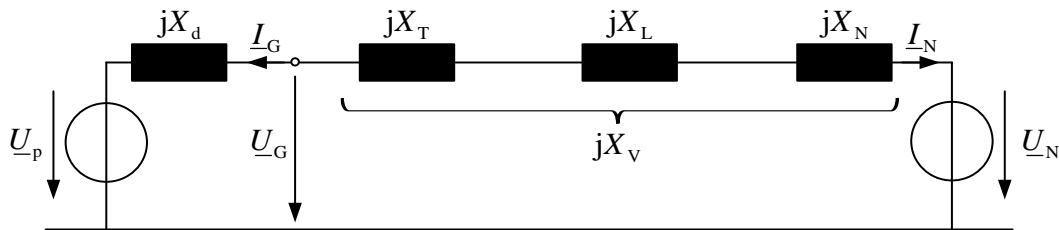
5.3 Ersatzschaltung für den subtransienten Betrieb

Mitsystem-Ersatzschaltung der Vollpolmaschine für den subtransienten Betrieb	
<p>Subtransiente Längsreaktanz:</p> $X_d'' = x_d'' Z_B$ <p>Subtransiente Spannung:</p> $\underline{U}_1'' = \underline{U}_1(0^-) - (R_a + jX_d'') \underline{I}_1(0^-)$ $= \underline{U}_1(0^-) - \underline{Z}_{1G}'' \underline{I}_1(0^-)$	

5.4 Synchroner Netzbetrieb

Beispiel: Synchronmaschine speist über Transformator und Leitung in ein Netz ein

Mitsystem-Ersatzschaltung bezogen auf eine Spannungsebene:



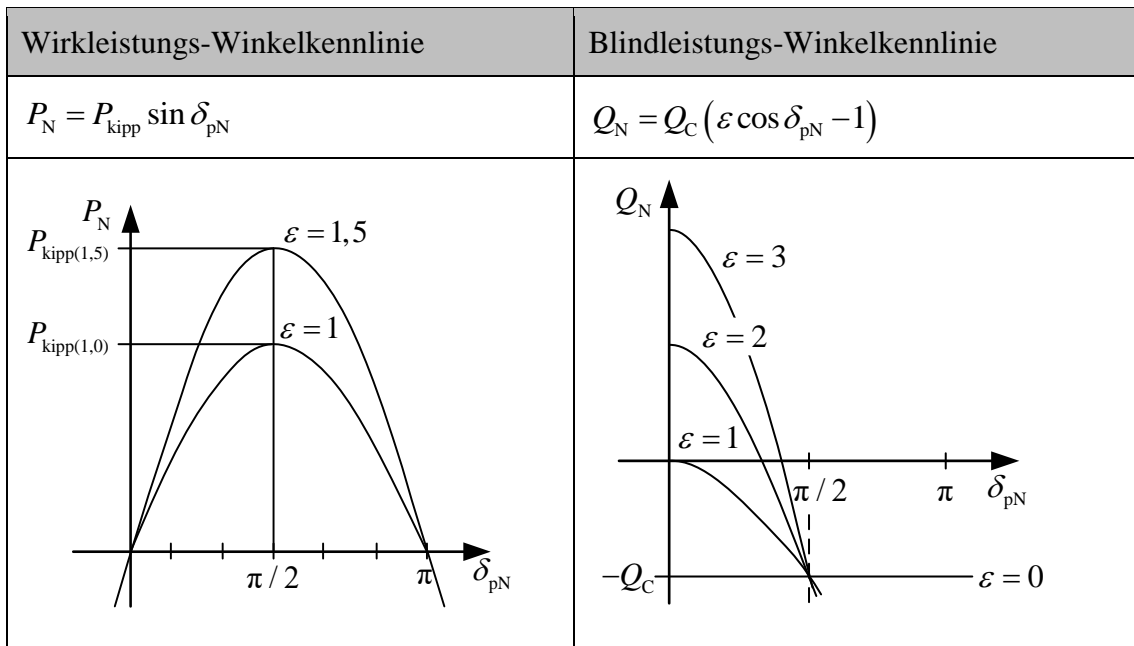
mit der Polradspannung $\underline{U}_p = U_p e^{j\varphi_{Up}}$ und der inneren Netzspannung⁴⁾ $\underline{U}_N = U_N e^{j\varphi_{UN}}$

Vom Netz am inneren Netzknoten aufgenommene Scheinleistung ⁵⁾	$\underline{S}_N = P_N + jQ_N = 3\underline{U}_N \underline{I}_N^*$ $= j \frac{3U_p U_N}{X_d + X_v} e^{-j\delta_{pN}} - j \frac{3U_N^2}{X_d + X_v}$ $= j\varepsilon Q_C e^{-j\delta_{pN}} - jQ_C$
Maximal übertragbare Wirkleistung	$P_{\text{kipp}} = 3 \frac{U_p U_N}{X_d + X_v}$
Maximale vom Netz am inneren Netzknoten abgegebene Blindleistung bei $\varepsilon = 0$	$Q_C = 3 \frac{U_N^2}{X_d + X_v}$
Resultierender Polradwinkel ⁴⁾ (Bezug: innere Netzspannung)	$\delta_{pN} = \angle(\underline{U}_p, \underline{U}_N) = \varphi_{Up} - \varphi_{UN}$
Resultierender Erregergrad ⁴⁾ (Bezug: innere Netzspannung)	$\varepsilon = \frac{U_p}{U_N}$

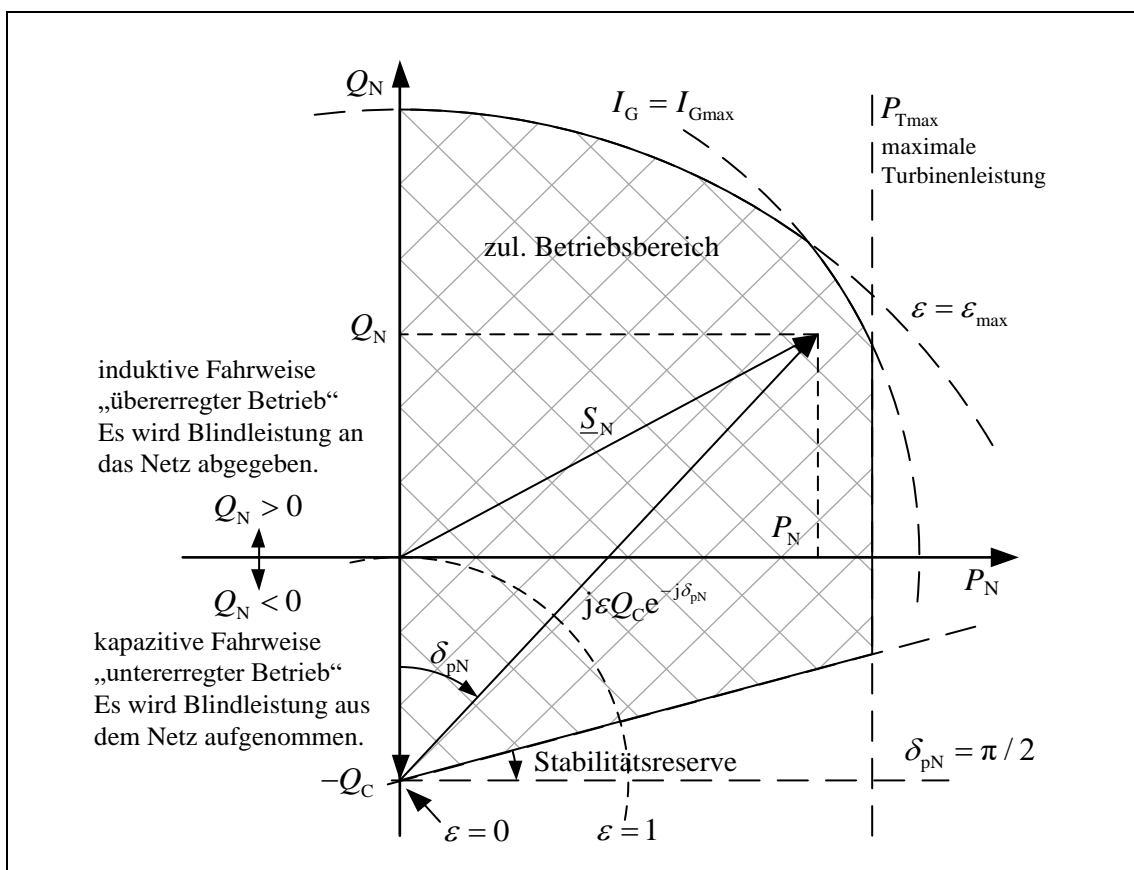
⁴⁾ Die innere Netzspannung \underline{U}_N beschreibt eine starre Spannung mit der der Leistungsaustausch der Anordnung beschrieben werden kann und auf die die resultierenden Größen Polradwinkel und Erregergrad bezogen werden. Für $X_v = 0$ gehen die Gleichungen für diese Größen in die Gleichungen in Abschnitt 5.1 über.

⁵⁾ Um bei der Verwendung des VZS die im normalen Betrieb des Generators auftretenden negativen Werte für die Generatorwirkleistungen und -blindleistungen zu vermeiden, werden im Folgenden die am inneren Netzknoten aufgenommenen Leistungen betrachtet.

5.4.1 Leistungs-Winkelkennlinien



5.4.2 Leistungsdiagramm



Die Betriebsbereiche induktive und kapazitive Fahrweise werden in der Praxis auch als „übererregter Betrieb“ und „untererregter Betrieb“ bezeichnet, obwohl in Abhängigkeit vom an das Netz abgegebenen Strom auch im übererregten Betrieb der Synchronmaschine mit $I_f > I_{f0}$ eine kapazitive Fahrweise mit $Q_N < 0$ möglich ist.

5.5 Drehimpulssatz und Bewegungsgleichung

Synchrone Drehzahl	$n_0 = \frac{\Omega_0}{2\pi} = \frac{\omega_0}{2\pi p} = \frac{f}{p}$
Polpaarzahl	p
Mechanische und elektrische Winkelgeschwindigkeit	$\Omega = 2\pi n$ und $\omega = \Omega p = 2\pi n p$
Drehimpulssatz	$J\dot{\Omega} = M_T - M_\delta - M_D$
Massenträgheitsmoment	$J = J_{\text{Läufer}} + J_{\text{Turbine(n)}}$
Zusammenhang Leistung, Drehmoment und Drehzahl	$P = M \cdot \Omega = M \cdot 2\pi n \stackrel{\Delta\Omega \ll \Omega_0}{\approx} M \cdot \Omega_0$
Bewegungsgleichung (für $\Delta\omega \ll \omega_0$)	$\dot{\omega} = \ddot{\delta} = k_M (P_T - P_N - P_D)$ $= k_M (P_T - P_N) - d_M \Delta\omega$ und $\dot{\delta} = \Delta\omega = \omega - \omega_0 = \dot{\vartheta} - \omega_0$
Dämpfungsleistung	$P_D = D \cdot \Delta\dot{\delta} = D \cdot \Delta\omega = D(\omega - \omega_0)$
Dämpfungskonstante	D
Maschinenkonstanten	$k_M = \frac{\omega_0}{T_M S_{rG}}$ und $d_M = D \cdot k_M$
Elektromechanische Zeitkonstante	$T_M = \frac{J\Omega_0^2}{S_{rG}}$
Zusammenhang Winkelkoordinaten	$\vartheta = \omega_0 t + \delta + \alpha_0$
<p>Das Diagramm zeigt die räumliche Orientierung der Achsen in einem Synchronsystem. Die horizontale Linie stellt das Ständerkoordinatensystem (Strang a, räumlich fest verankert) dar. Die d-Achse ist die vertikale Achse des synchron rotierenden Bezugssystems (ruhende Zeiger). Der Winkel δ ist der Winkel zwischen der d-Achse und der synchron rotierenden Bezugssystem-Achse. Der Winkel α_0 ist der Winkel zwischen der Ständerachse und der synchron rotierenden Bezugssystem-Achse. Der Winkel ϑ ist der Winkel zwischen der Ständerachse und der d-Achse. Die Winkelgeschwindigkeit ω ist die Winkelgeschwindigkeit der d-Achse. Die Winkelgeschwindigkeit ω_0 ist die Winkelgeschwindigkeit des synchron rotierenden Bezugssystems.</p>	

6 Asynchronmaschinen mit Kurzschlussläufer

6.1 Vereinfachte Ersatzschaltungen für den stationären Betrieb

Mitsystem-Ersatzschaltung (Annahme $X_h \rightarrow \infty$)	
Ersatzschaltungselemente (Läufergrößen auf Ständerseite umgerechnet)	R_S Ständerwiderstand $X_{\sigma S}$ Ständerstreureaktanz R'_L Läuferwiderstand $X'_{\sigma L}$ Läuferstreureaktanz
Aufteilung von R'_L/s in schlupfabhängigen und -unabhängigen Anteil (rechtes ESB). Der Ständerwiderstand R_S ist bei mittleren und großen Motorleistungen bei Nennfrequenz vernachlässigbar.	
Schlupf und synchrone Drehzahl	$s = \frac{n_0 - n}{n_0}$ mit $n_0 = \frac{f}{p} = \frac{\omega_0}{2\pi p}$
Mitsystem-Impedanz: $\underline{Z}_1 = \underline{Z}_{1M} = R_S + \frac{R'_L}{s} + j(X_{\sigma S} + X'_{\sigma L}) \approx \frac{R'_L}{s} + jX_k$	
Bemessungsscheinleistung	$S_{rM} = \frac{P_{rmech}}{\cos(\varphi_{rM}) \eta_{rM}}$ (für Motorbetrieb)
Kurzschlussimpedanz mit dem Anlaufstrom I_{an} bei U_{rM} und $s = 1$	$\underline{Z}_{1M} = \frac{1}{I_{an}/I_{rM}} \frac{U_{rM}^2}{S_{rM}} = \frac{1}{I_{an}/I_{rM}} Z_B$ $= \sqrt{(R_S + R'_L)^2 + X_k^2} \approx \sqrt{R'_L{}^2 + X_k^2}$
Verluste bei Bemessungsstrom und $s = 1$	$P_{Vkr} = 3(R_S + R'_L) I_{rM}^2 \approx 3R'_L I_{rM}^2 = R'_L \frac{S_{rM}}{Z_B}$
Gegensystem-Ersatzschaltung (Annahme $X_h \rightarrow \infty$)	
Gegensystemimpedanz $\underline{Z}_2 = \underline{Z}_{2M} = \frac{R'_L}{2-s} + R_S + jX_k \quad \text{mit}$ $s_2 = 2 - s = \frac{-n_0 - n}{-n_0} = \frac{2n_0 - (n_0 - n)}{n_0}$	

Nullsystem-Ersatzschaltung (Annahme $X_h \rightarrow \infty$)	
Nullsystemimpedanz $\underline{Z}_0 = \underline{Z}_{0M} + 3\underline{Z}_{ME}$ $= R'_L + R_S + jX_{0k} + 3R_{ME} + j3X_{ME}$ mit $X_{0k} < X_k$	
Üblicherweise sind die Sternpunkte der Asynchronmaschinen nicht geerdet: $Z_{ME} \rightarrow \infty$	

6.2 Vereinfachte Ersatzschaltung für den transienten Betrieb


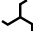
Mitsystem-Ersatzschaltung für den transienten Betrieb (Annahme $X_h \rightarrow \infty$)	
Transiente Motorimpedanz: $\underline{Z}'_{1M} = R_S + jX_k \approx jX_k$ Transiente Spannung: $\underline{U}'_M = \underline{U}_1(0^-) - (R_S + jX_k) \underline{I}_1(0^-)$ $= \underline{U}_1(0^-) - \underline{Z}'_{1M} \underline{I}_1(0^-)$	
Die Bestimmung der transienten Spannung \underline{U}'_M erfolgt mit den Klemmengrößen unmittelbar vor der Störung ($t = 0^-$) mit $\underline{U}'_M = \underline{U}_1(0^-) - (R_S + jX_k) \underline{I}_1(0^-)$.	

6.3 Bewegungsgleichung

Bewegungsgleichung (Drehimpulssatz)	$J_M \dot{\Omega} = M_m - M_w$
Widerstandsmoment	$M_w = M_{w0} + M_{w1} \frac{\Omega}{\Omega_0} + M_{w2} \frac{\Omega^2}{\Omega_0^2}$
Drehzahl und mech. Winkelgeschwindigkeit (f_l = Frequenz im Läufer)	$n = \frac{f_0 - f_L}{p} = \frac{\Omega}{2\pi} = \frac{\Omega_0(1-s)}{2\pi} = \frac{\omega_0}{2\pi p} (1-s)$
Drehmoment (Kloss'sche Formel)	$M = M_{\text{kipp}} \frac{2s s_{\text{kipp}}}{s^2 + s_{\text{kipp}}^2}$
Kippmoment und Kippschlupf	$M_{\text{kipp}} = 3 \frac{U_1^2}{2\pi n_0} \frac{1}{2X_k} \quad \text{und} \quad s_{\text{kipp}} = \frac{R'_L}{X_k}$

7 Transformatoren

7.1 Schaltungsbezeichnungen

Schaltung	Symbol	OS-Kennbuchstabe	MS-/US-Kennbuchstabe
Sternschaltung		Y	y
Dreieckschaltung	Δ	D	d
Zickzackschaltung		Z	z
Sternpunkt rausgeführt		YN, ZN	yn, zn
Spartransformator		Ya / Yauto	
Kennzeichnung der Schaltgruppen von Zweiwicklungstransformatoren			
Schaltgruppe = {Kennbuchstabe OS} {Kennbuchstabe US} {Kennzahl k }			
Kennzeichnung der Schaltgruppen von Dreiwicklungstransformatoren			
Schaltgruppe = {Kennbuchstabe OS} {Kennbuchstabe MS} {Kennzahl k_{OS-MS} } {Kennbuchstabe US} {Kennzahl k_{OS-US} }			
Die Schaltgruppen-Kennzahl k gibt das Vielfache von 30° an, um das die Klemmenspannungen der MS- bzw. der US-Wicklung den Klemmenspannungen der OS-Wicklung im stationären symmetrischen Betrieb nacheilen.			

7.2 Transformationsbeziehungen

Übersetzungsverhältnisse		
Mitsystem	$\underline{\ddot{u}}_1 = \underline{\ddot{u}} e^{jk\frac{\pi}{6}} = \frac{U_{rTOS}}{U_{rTUS}} e^{jk\frac{\pi}{6}} = \frac{w_{OS}}{w_{US}} \underline{m}_{SG}$	
Gegensystem	$\underline{\ddot{u}}_2 = \underline{\ddot{u}}_1^*$	
Nullsystem	$\underline{\ddot{u}}_0 = \underline{\ddot{u}}_0 = \underline{\ddot{u}}_1 = \underline{\ddot{u}}$	
Umrechnung Mitsystem-Größen	US auf OS-Seite	OS auf US-Seite
Spannungen	$\underline{U}'_{1US} = \underline{U}_{1US} \cdot \underline{\ddot{u}}_1$	$\underline{U}'_{1OS} = \underline{U}_{1OS} \cdot \frac{1}{\underline{\ddot{u}}_1}$
Ströme	$\underline{I}'_{1US} = \underline{I}_{1US} \cdot \frac{1}{\underline{\ddot{u}}_1^*}$	$\underline{I}'_{1OS} = \underline{I}_{1OS} \cdot \underline{\ddot{u}}_1^*$
Impedanzen	$\underline{Z}'_{1US} = \underline{Z}_{1US} \cdot \underline{\ddot{u}}_1^2$	$\underline{Z}'_{1OS} = \underline{Z}_{1OS} \cdot \frac{1}{\underline{\ddot{u}}_1^2}$
Entsprechende Umrechnungen für das Gegen- und Nullsystem erfolgen analog unter Verwendung von $\underline{\ddot{u}}_2$ und $\underline{\ddot{u}}_0$.		

7.3 Zweiwicklungstransformator

Mitsystem- ($\underline{\ddot{u}} = \underline{\ddot{u}}_1$) und Gegensystem- ($\underline{\ddot{u}} = \underline{\ddot{u}}_2$) Ersatzschaltung	
Vollständige Ersatzschaltung ⁶⁾ (mit idealem Übertrager ⁷⁾ – bezogen auf OS-Seite):	
Hauptfeldimpedanz	$Z_h = R_{Fe} \parallel jX_h$
Vereinfachte Ersatzschaltung (ohne idealen Übertrager – bezogen auf OS-Seite):	
(gilt für $Z_h \rightarrow \infty$)	
Kurzschlussimpedanz	$Z_T = R_T + jX_T = R_{OS} + R'_{US} + j(X_{\sigma OS} + X'_{\sigma US})$
Nullsystem-Ersatzschaltung	
Die Ersatzschaltung für das Nullsystem ist abhängig von	<ol style="list-style-type: none"> 1) Schaltgruppe 2) Sternpunktterdung 3) Kernbauart
Vollständiges T-ESB mit idealem Übertrager – bezogen auf OS-Seite – Dy(n)5:	

⁶⁾ Die Elemente der Ersatzschaltungen sind im Mit- und Gegensystem identisch, daher wurde auf die Indizierung verzichtet. Es sind jedoch die unterschiedlichen Übersetzungsverhältnisse zu beachten (siehe Abschnitt 7.2).

⁷⁾ siehe Abschnitt 2.7.3

7.4 Bestimmung der Elemente der Transformatorersatzschaltungen

7.4.1 Bestimmung der Längselemente mit dem Kurzschluss-Versuch

Die Querelemente werden zur Bestimmung der Längselemente vernachlässigt.	
Bezugsimpedanz	$Z_B = \frac{U_{rT}^2}{S_{rT}} \quad \begin{array}{l} U_{rT} = U_{rTOS} \text{ für Bezug auf OS-Seite} \\ U_{rT} = U_{rTUS} \text{ für Bezug auf US-Seite} \end{array}$
Kurzschlussimpedanz	$Z_T = u_k \frac{U_{rT}^2}{S_{rT}} = u_k Z_B$
Widerstand der Kurzschlussimpedanz	$R_T = r_T Z_B = r_T \frac{U_{rT}^2}{S_{rT}} = \frac{P_{Vkr}}{3I_{rT}^2} = \frac{P_{Vkr}}{S_{rT}} Z_B = u_R Z_B$
Reaktanz der Kurzschlussimpedanz	$X_T = \sqrt{Z_T^2 - R_T^2} = \sqrt{u_k^2 - u_R^2} Z_B = u_X Z_B$
Üblicherweise werden R_T und X_T je zur Hälfte auf die Wicklungsimpedanzen ⁸⁾ der OS- und US-Seite der Mit-, Gegen- und Nullsystemersatzschaltungen aufgeteilt, siehe Abschnitt 7.3.	

7.4.2 Bestimmung der Querelemente mit dem Leerlauf-Versuch

Die Längselemente werden zur Bestimmung der Querelemente vernachlässigt.	
Leerlaufstrom	$I_\ell \approx \frac{U_{rT}}{\sqrt{3} Z_h} \rightarrow i_\ell = \frac{1}{Z_h} \frac{U_{rT}^2}{S_{rT}} = \frac{1}{Z_h} Z_B$
Magnetisierungsstrom	$I_m \approx \frac{U_{rT}}{\sqrt{3} X_h} \rightarrow i_m = \frac{1}{X_h} \frac{U_{rT}^2}{S_{rT}} = \frac{1}{X_h} Z_B$
Leerlaufimpedanz	$Z_h = \frac{1}{i_\ell} \frac{U_{rT}^2}{S_{rT}} = \frac{1}{i_\ell} Z_B$
Eisenverlustwiderstand	$R_{Fe} = \frac{U_{rT}^2}{P_{Vlr}} = \frac{1}{P_{Vlr} / S_{rT}} Z_B$
Hauptfeldreaktanz	$X_h = \frac{Z_h R_{Fe}}{\sqrt{R_{Fe}^2 - Z_h^2}} = \frac{1}{i_m} \frac{U_{rT}^2}{S_{rT}} = \frac{1}{i_m} Z_B$
Hauptfeldreaktanz des Nullsystems	$X_{h0} = k_0 X_{h1} \quad (k_0 \text{ abhängig von der Kernbauart})$
Die Elemente des Nullsystems können mit einem entsprechenden Leerlaufversuch bei Einspeisung eines Nullsystems oder vereinfachend über Faktoren (k_0) bestimmt bzw. abgeschätzt werden	

⁸⁾ Bei einem Drehstromtransformator wird die Impedanz als Impedanz je Strang angegeben. Dabei wird die Impedanz z. B. bei in Dreieck geschalteten Wicklungen so umgerechnet, dass sie einer äquivalenten Stern-Ersatzschaltung entspricht.

7.5 Auswahl von Schaltgruppen nach DIN VDE 0532

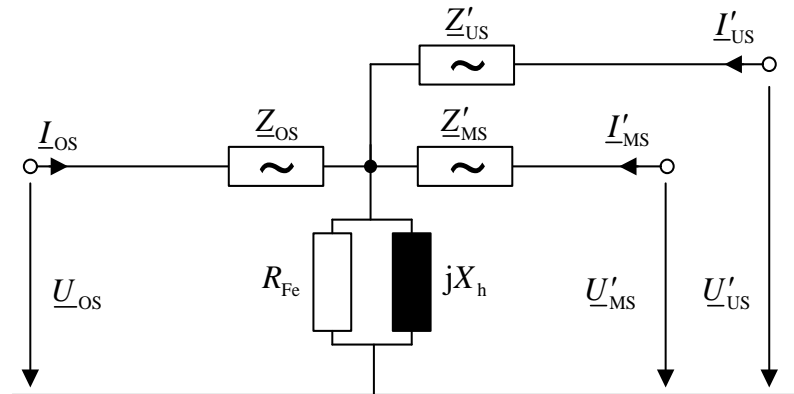
Kennzahl	Schaltgruppe	Zeigerbild		Schaltungsbild	
		OS	US	OS	US
0	Dd0				
	Yy0				
	Dz0				
5	Dy5				
	Yd5				
	Yz5				
6	Dd6				
	Yy6				
	Dz6				
11	Dy11				
	Yd11				
	Yz11				

Yy0 kennzeichnet die Vorzugsschaltgruppen

7.6 Dreiwicklungstransformator

Ersatzschaltung für das Mit- und Gegensystem

Vereinfachte Ersatzschaltung (ohne idealen Übertrager – bezogen auf OS-Seite):



Die Berechnung der Parameter der Ersatzschaltungen des Dreiwicklungstransformators unterliegt den gleichen Berechnungsvorschriften wie beim Zweiwicklungstransformator. Es sind mindestens drei Kurzschluss-Versuche, bei denen jeweils eine Wicklungsseite im Leerlauf betrieben wird, und ein Leerlauf-Versuch erforderlich. Die Querelemente (X_h und R_{Fe}) berechnen sich nach Abschnitt 7.4.2.

Durchgangsleistungen	$S_{rTOSMS} = \min(S_{rTOS}, S_{rTMS})$
	$S_{rTOSUS} = \min(S_{rTOS}, S_{rTUS})$
	$S_{rTMSUS} = \min(S_{rTMS}, S_{rTUS})$
Auf die OS-Seite bezogene Kurzschlussimpedanzen	$Z_{OSMS} = u_{kOSMS} \frac{U_{rTOS}^2}{S_{rTOSMS}}$
	$Z_{OSUS} = u_{kOSUS} \frac{U_{rTOS}^2}{S_{rTOSUS}}$
	$Z'_{MSUS} = u_{kMSUS} \frac{U_{rTOS}^2}{S_{rTMSUS}}$
Wicklungsimpedanzen ⁹⁾	$\begin{bmatrix} Z_{OS} \\ Z'_{MS} \\ Z'_{US} \end{bmatrix} = \frac{1}{2} \begin{bmatrix} 1 & 1 & -1 \\ 1 & -1 & 1 \\ -1 & 1 & 1 \end{bmatrix} \begin{bmatrix} Z_{OSMS} \\ Z_{OSUS} \\ Z'_{MSUS} \end{bmatrix}$

⁹⁾ Die Wicklungsimpedanzen können zum Teil negative Werte annehmen. Dies ist in der Wahl der Ersatzschaltung begründet.

8 Leitungen

Die Leitungskonstanten und die Ersatzschaltungen für das Mit-, Gegen- und Nullsystem sind im Hinblick auf die Struktur identisch. Durch Verwendung der jeweiligen Leitungsbeläge für das Mit-, Gegen- und Nullsystem lassen sich die Leitungskonstanten berechnen und die Elemente der Ersatzschaltungen parametrieren.

8.1 Wellenimpedanz und Ausbreitungskonstante

Für (verlustbehaftete) Leitungen gilt allgemein:

Wellenimpedanz und -admittanz	$\underline{Z}_w = \sqrt{\frac{R' + j\omega L'}{G' + j\omega C'}} = \frac{1}{\underline{Y}_w}$
Ausbreitungskonstante mit Dämpfungs- α und Phasenkonstante β	$\underline{\gamma} = \sqrt{(R' + j\omega L')(G' + j\omega C')} = \alpha + j\beta$
R', L', G' und C' sind die Leitungsbeläge in Ω/km , H/km , S/km und F/km	
Für verlustarme Leitungen ($R' \ll \omega L'$ und $G' \ll \omega C'$) gilt:	
Wellenimpedanz ¹⁰⁾ und -admittanz	$\underline{Z}_w = \frac{1}{\underline{Y}_w} \approx \sqrt{\frac{L'}{C'}} \left(1 - j \frac{1}{2} \frac{R'}{\omega L'} \right) \approx \sqrt{\frac{L'}{C'}}$
Ausbreitungskonstante mit Dämpfungs- α und Phasenkonstante β	$\underline{\gamma} = \frac{1}{2} \left(\frac{R'}{L'} + \frac{G'}{C'} \right) \sqrt{L'C'} + j\omega \sqrt{L'C'}$

8.2 Lösung der Leitungsgleichungen im Frequenzbereich

Spannung und Strom am Ort x entlang der Leitung (Knoten A: $x = 0$, Knoten B: $x = l$)

in Abhängigkeit von den Klemmengrößen am Knoten A:

$$\begin{bmatrix} \underline{U}(x) \\ \underline{I}(x) \end{bmatrix} = \begin{bmatrix} \cosh(\underline{\gamma}x) & -\underline{Z}_w \sinh(\underline{\gamma}x) \\ \underline{Y}_w \sinh(\underline{\gamma}x) & -\cosh(\underline{\gamma}x) \end{bmatrix} \begin{bmatrix} \underline{U}_A \\ \underline{I}_A \end{bmatrix}$$

in Abhängigkeit von den Klemmengrößen am Knoten B:

$$\begin{bmatrix} \underline{U}(x) \\ \underline{I}(x) \end{bmatrix} = \begin{bmatrix} \cosh(\underline{\gamma}(l-x)) & -\underline{Z}_w \sinh(\underline{\gamma}(l-x)) \\ \underline{Y}_w \sinh(\underline{\gamma}(l-x)) & -\cosh(\underline{\gamma}(l-x)) \end{bmatrix} \begin{bmatrix} \underline{U}_B \\ \underline{I}_B \end{bmatrix}$$

¹⁰⁾ Die kapazitive Komponente der Wellenimpedanz (Imaginärteil) kann aufgrund ihrer geringen Größe bei verlustarmen Leitungen vernachlässigt werden.

8.3 Ersatzschaltungen mit verteilten Parametern und Vierpolgleichungen

Ersatzschaltungen mit verteilten Parametern	
<p style="text-align: center;">T-Ersatzschaltung</p>	<p style="text-align: center;">Π-Ersatzschaltung</p>
Vierpolgleichungen	
Impedanzdarstellung	$\begin{bmatrix} \underline{U}_A \\ \underline{U}_B \end{bmatrix} = \begin{bmatrix} \underline{Z}_w \frac{\cosh(\underline{\gamma}l)}{\sinh(\underline{\gamma}l)} & \underline{Z}_w \frac{1}{\sinh(\underline{\gamma}l)} \\ \underline{Z}_w \frac{1}{\sinh(\underline{\gamma}l)} & \underline{Z}_w \frac{\cosh(\underline{\gamma}l)}{\sinh(\underline{\gamma}l)} \end{bmatrix} \begin{bmatrix} \underline{I}_A \\ \underline{I}_B \end{bmatrix}$
Admittanzdarstellung	$\begin{bmatrix} \underline{I}_A \\ \underline{I}_B \end{bmatrix} = \begin{bmatrix} \underline{Y}_w \frac{\cosh(\underline{\gamma}l)}{\sinh(\underline{\gamma}l)} & -\underline{Y}_w \frac{1}{\sinh(\underline{\gamma}l)} \\ -\underline{Y}_w \frac{1}{\sinh(\underline{\gamma}l)} & \underline{Y}_w \frac{\cosh(\underline{\gamma}l)}{\sinh(\underline{\gamma}l)} \end{bmatrix} \begin{bmatrix} \underline{U}_A \\ \underline{U}_B \end{bmatrix}$
Kettenform	$\begin{bmatrix} \underline{U}_A \\ \underline{I}_A \end{bmatrix} = \begin{bmatrix} \cosh(\underline{\gamma}l) & -\underline{Z}_w \sinh(\underline{\gamma}l) \\ \underline{Y}_w \sinh(\underline{\gamma}l) & -\cosh(\underline{\gamma}l) \end{bmatrix} \begin{bmatrix} \underline{U}_B \\ \underline{I}_B \end{bmatrix}$

8.4 Näherungen für elektrisch kurze Leitungen ($|\underline{\gamma}l| \ll 1$)

Ersatzschaltungen mit konzentrierten Parametern	
<p style="text-align: center;">T-Ersatzschaltung</p>	<p style="text-align: center;">Π-Ersatzschaltung</p>
Ersatzschaltungselemente (Leitungslänge l)	$R_L = R'l, L_L = L'l, C_L = C'l, G_L = G'l$
siehe Abschnitt 2.7.2 für Vierpolgleichungen der T- und Π-Ersatzschaltung	

8.5 Betriebsverhalten

Spannungsabfall	$ \Delta \underline{U}_Z = \underline{U}_A - \underline{U}_B $
Spannungsfall	$\Delta U = \underline{U}_A - \underline{U}_B $
Übertragungswinkel	$\delta_{AB} = \delta_A - \delta_B$
kapazitiver Ladestrom ¹¹⁾	$\underline{I}_C = \underline{I}_A _{I_B=0} \approx \underline{I}_{CA} + \underline{I}_{CB} = j\omega \frac{C_L}{2} (\underline{U}_A + \underline{U}_B)$
kapazitive Ladeleistung ¹²⁾	$Q_C = \text{Im}\{3\underline{U}_A \underline{I}_C^*\} \approx \omega C_L U_{nN}^2$

8.6 Klemmenleistungen, Verluste und Blindleistungsbedarf

Leistungen an den Leitungsklemmen (siehe Vierpoldarstellung in 2.7.2)	$\begin{bmatrix} \underline{S}_A \\ \underline{S}_B \end{bmatrix} = \begin{bmatrix} P_A + jQ_A \\ P_B + jQ_B \end{bmatrix} = 3 \begin{bmatrix} Y_{AA}^* U_A^2 + Y_{AB}^* U_A U_B^* \\ Y_{BB}^* U_B^2 + Y_{BA}^* U_B U_A^* \end{bmatrix}$
Übertragbare Wirkleistung (für elektrisch kurze Leitungen bei Vernachlässigung von R', G' und C')	$P_A = -P_B = P_{AB} \approx 3 \frac{U_A U_B}{X_L} \sin \delta_{AB}$
Leistungsverluste P_V und Blindleistungsbedarf Q_V	$\underline{S}_V = P_V + jQ_V = \underline{S}_A + \underline{S}_B$
Leistungsverluste (am Beispiel der Π -Ersatzschaltung mit konzentrierten Parametern)	$P_V = 3R_L I_\lambda^2 + 3 \frac{1}{2} G_L (U_A^2 + U_B^2) = P_A + P_B$
Blindleistungsbedarf (am Beispiel der Π -Ersatzschaltung mit konzentrierten Parametern)	$Q_V = 3\omega L_L I_\lambda^2 - 3 \frac{1}{2} \omega C_L (U_A^2 + U_B^2) = Q_A + Q_B$

8.7 Natürlicher Betrieb (Leitungsanpassung)

Natürlicher Betrieb von Leitungen	
Bedingung für den natürlichen Betrieb	$\underline{Z}_B = \underline{Z}_w \rightarrow \underline{U}_B = -\underline{Z}_w \cdot \underline{I}_B$ (Abschluss am Knoten B mit der Wellenimpedanz)
Natürliche Leistung ¹²⁾	$\underline{S}_{\text{Nat}} = 3 \frac{U_B^2}{\underline{Z}_w^*} \approx P_{\text{Nat}} = 3 \frac{U_B^2}{Z_w}$ (am Leitungsende B abgegebene Scheinleistung)
Übernatürlicher Betrieb ¹¹⁾	$Q_V > 0$ für $P_B > P_{\text{Nat}}$ bzw. $Z_B < Z_w$
Unternatürlicher Betrieb ¹¹⁾	$Q_V < 0$ für $P_B < P_{\text{Nat}}$ bzw. $Z_B > Z_w$

¹¹⁾ Näherung gilt für die Π -Ersatzschaltung mit konzentrierten Parametern.

¹²⁾ Näherung gilt für verlustarme Leitungen (siehe Abschnitt 8.1).

9 Mittel- und Niederspannungsnetze

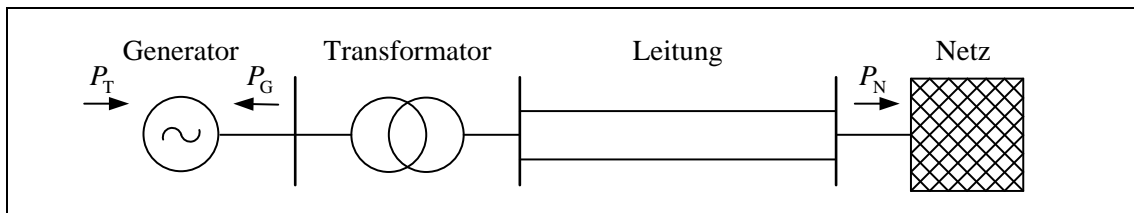
9.1 Stromverteilung

Allgemeine Ersatzschaltung: Gilt nur bei spannungsunabhängigen Lastströmen	
Fall a) zusätzlich bei Fall b)	
Fall a) Einseitig gespeiste Leitung: \underline{U}_A gegeben, ohne \underline{Z}_{m+1}	
Die Maschensätze liefern m unabhängige Gleichungen	$\underline{U}_1 = \underline{U}_A - \underline{Z}_1 (\underline{I}_1 + \underline{I}_2 + \dots + \underline{I}_m) \quad (1)$ $\underline{U}_2 = \underline{U}_1 - \underline{Z}_2 (\underline{I}_2 + \dots + \underline{I}_m) \quad (2)$ \vdots $\underline{U}_m = \underline{U}_{m-1} - \underline{Z}_m \underline{I}_m \quad (m)$
Fall b1) Zweiseitig gespeiste Leitung: $\underline{U}_A = \underline{U}_B$	
Allgemeiner Maschenumlauf A – B	$\underline{U}_A - \underline{U}_B = \sum_{i=1}^{m+1} \Delta \underline{U}_{Z_i} = \underline{Z}_1 (\underline{I}_1 + \underline{I}_2 + \dots - \underline{I}_B) + \underline{Z}_2 (\underline{I}_2 + \dots - \underline{I}_B) + \dots + \underline{Z}_{m+1} (-\underline{I}_B)$
Berechnung eines Klemmenstroms mit „Drehmomentansatz“ (für Knoten B oder A)	$\underline{I}_B = \frac{\underline{Z}_1 \underline{I}_1 + (\underline{Z}_1 + \underline{Z}_2) \underline{I}_2 + \dots + (\underline{Z}_1 + \underline{Z}_2 + \dots + \underline{Z}_m) \underline{I}_m}{\underline{Z}_1 + \underline{Z}_2 + \dots + \underline{Z}_{m+1}}$ <p>Anschließend schrittweise Bestimmung der Stromverteilung</p>
Fall b2) Zweiseitig gespeiste Leitung: $\underline{U}_A \neq \underline{U}_B$	
Allg. Vorgehen	<ol style="list-style-type: none"> 1.) Berechnung einer vorläufigen Stromverteilung für $\underline{U}_A = \underline{U}_B$ entsprechend Fall b1 2.) Überlagerung eines Ausgleichsstroms $\Delta \underline{I}_{AB} = \frac{\underline{U}_A - \underline{U}_B}{\sum_{i=1}^{m+1} \underline{Z}_i}$
Mit der Stromverteilung können die Spannungsabfälle $\Delta \underline{U}_{Z_i}$ bestimmt werden.	

9.2 Lastangriffsfaktor ϵ

Umrechnung einer verteilten, gleichmäßigen Lastannahme in eine Ersatzlast	
homogene Last	punktuelle Last
$\rightarrow \epsilon = \frac{n+1}{2n} \rightarrow$	
$\leftarrow l' = \epsilon \cdot l \rightarrow$	

10 Winkelstabilität des Einmaschinenproblems



10.1 Statische Stabilität

Bewegungsgleichung (siehe 5.5)	$\dot{\omega} = k_M (P_T - P_N)$ und $\dot{\delta} = \omega - \omega_0 = \dot{\vartheta} - \omega_0$
Arbeitspunkt mit der Turbinenleistung P_T (Verluste sind vernachlässigt)	
Bedingung für statische Stabilität	$\frac{dP_N}{d\delta_{pN}} > 0$ bzw. $-\frac{\pi}{2} < \delta_{pN} < \frac{\pi}{2}$
Synchronisierende Leistung	$P_s = \frac{dP_N}{d\delta_{pN}} = P_{kipp} \cos \delta_{pN}$

10.2 Transiente Stabilität

<p>Arbeitspunkte mit der Turbinenleistung P_T (Verluste sind vernachlässigt)</p> <p>Es gilt für die transienten Größen:</p> $\delta' = \varphi_{U'} - \varphi_{UN}$ <p>und</p> $P_N^a = 3 \frac{U' U_N}{X'_d + X_V} \sin \delta'$	<p>(Index 0: vor dem Fehler, Index a: nach Fehlerklärung)</p>
Bedingung für transiente Stabilität	$F_V = F_B$ (Flächensatz)
Flächensatz maximale Abschaltzeit	$F_{Vmax} = F_B = - \int_{\delta'_{a\max}}^{\delta'_{\max} = \delta'_{grenz}} (P_T - P_{kipp}^a \sin \delta') d\delta'$
Maximale Abschaltzeit	$t_{a\max} = \sqrt{\frac{2}{k_M P_T} (\delta'_{a\max} - \delta'_0)}$

11 Netzregelung

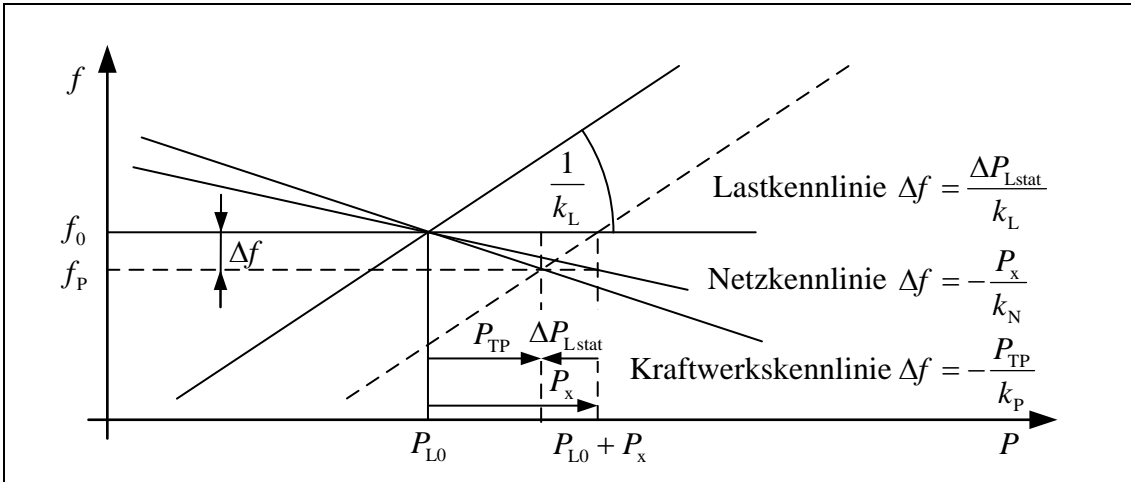
11.1 Bilanzmodell des Netzes

Differentialgleichung zur Bestimmung der Netzfrequenz im Arbeitspunkt mit $P_{T0} = P_{L0}$	$M_N \frac{\Delta \dot{f}}{f_0} = \Delta P_T - \Delta P_{Lx} = P_{TP} + P_{TS} - \Delta P_{Lstat} - P_x$
Turbinenleistung im Arbeitspunkt und Lastleistung im Arbeitspunkt	P_{T0} und P_{L0}
Trägheitskonstante des Netzes	$M_N = P_G T_G + P_M T_M$
Im Netz in Betrieb befindliche Generatorwirkleistung	$P_G = \sum_{i=1}^{m_G} P_{rGi}$
Im Netz in Betrieb befindliche Motorwirkleistung	$P_M = \sum_{i=1}^{m_M} P_{rMi}$
Ersatzzeitkonstante der Generatoren	$T_G = \frac{1}{P_G} \sum_{i=1}^{m_G} J_{Gi} \Omega_0^2$
Ersatzzeitkonstante der Motoren	$T_M = \frac{1}{P_M} \sum_{i=1}^{m_M} J_{Mi} \Omega_0^2$

11.2 Leistungszahlen und Statiken

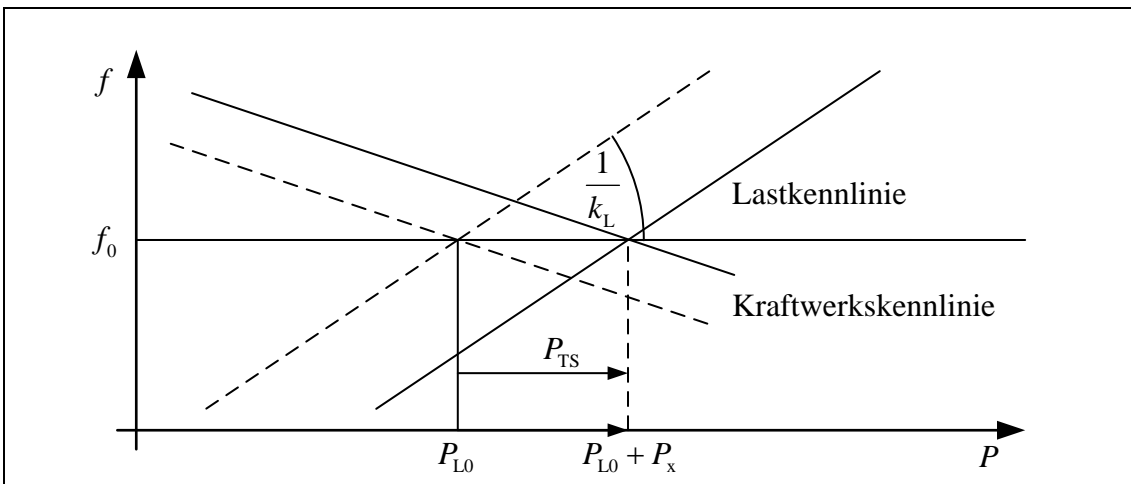
Reglerleistungszahl, bezogene Reglerleistungszahl und Statik des i -ten Generatorblocks	$k_{Pi} = \frac{-\Delta P_{Ti}}{\Delta f}, k'_{Pi} = k_{Pi} \frac{f_0}{P_{rGi}}, s_{Pi} = \frac{1}{k'_{Pi}} = \frac{1}{k_{Pi}} \frac{P_{rGi}}{f_0}$
Reglerleistungszahl und Reglerstatik des Netzes	$k_P = \sum_{i=1}^{m_G} k_{Pi} = \frac{1}{f_0} \sum_{i=1}^{m_G} \frac{P_{rGi}}{s_{Pi}} \text{ und}$ $s_P = P_G \left(\sum_{i=1}^{m_G} \frac{P_{rGi}}{s_{Pi}} \right)^{-1} = \frac{1}{k_P} \frac{P_G}{f_0}$
Last-Leistungszahl, bezogene Last-Leistungszahl und Statik der i -ten Last	$k_{Li}, k'_{Li} = k_{Li} \frac{f_0}{P_{L0i}}, s_{Li} = \frac{1}{k'_{Li}} = \frac{1}{k_{Li}} \frac{P_{L0i}}{f_0}$
Last-Leistungszahl und Laststatik (Netzstatik) des Netzes	$k_L = \frac{dP_{Lstat}}{df} \Big _{AP} = \sum_{i=1}^{m_L} k_{Li} \text{ und}$ $s_L = P_{L0} \left(\sum_{i=1}^{m_L} \frac{P_{L0i}}{s_{Li}} \right)^{-1} = \frac{1}{k_L} \frac{P_{L0}}{f_0}$
Leistungszahl des Netzes	$k_N = k_P + k_L$

11.3 Systemzustand nach Abschluss der Primärregelung (ohne Sekundärregelung)



Störleistung	P_x
Stationärer Zustand (nach Abschluss der Primärregelung)	$\dot{\Delta f} = 0$
Primärregelleistungseinsatz im Netz (Kraftwerkskennlinie)	$\Delta P_T = P_{TP} = -k_P \Delta f$
frequenzabhängige Änderung der Last (Lastkennlinie)	$\Delta P_{Lstat} = k_L \Delta f$
Laständerung im gestörten Netz	$\Delta P_{Lx} = \Delta P_{Lstat} + P_x$
Frequenzänderung im Netz (Netzkennlinie)	$\Delta f = -\frac{P_x}{k_N}$

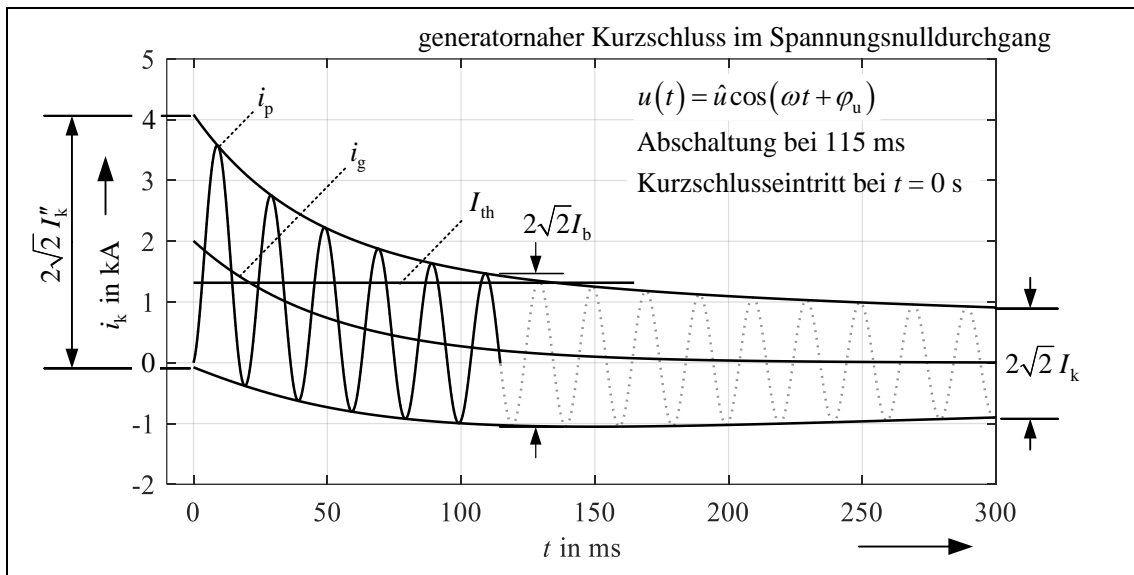
11.4 Systemzustand nach Abschluss der Sekundärregelung



Sekundärregelleistung im Netz	$\Delta P_T = P_{TS} = P_x$
-------------------------------	-----------------------------

12 Kurzschlussstromberechnung

12.1 Kurzschlussstrom-Zeitverlauf



$$i_k(t) \approx \sqrt{2} \left[(I_k'' - I_k') e^{-\frac{t}{T_d''}} + (I_k' - I_k) e^{-\frac{t}{T_d'}} + I_k \right] \cos(\omega t + \alpha) - \sqrt{2} I_k'' \cos \alpha e^{-\frac{t}{T_g}}$$

Generatornaher Kurzschluss (wenn ein Generator-Teilkurzschlussstrom $I_{kGi}'' > 2I_{rGi}$)	$I_k'' > I_b > I_k$
Generatorferner Kurzschluss	$I_k'' \approx I_b \approx I_k$

12.2 Kurzschlussstromkenngrößen

Anfangs-Kurzschlusswechselstrom (Effektivwert des Wechselstromanteils im Augenblick des Kurzschlusseintritts)	I_k''
Transienter Kurzschlussstrom (Effektivwert des Wechselstromanteils im transienten Zeitbereich)	I_k'
Dauerkurzschlussstrom (Effektivwert des Kurzschlussstromes nach Abklingen aller Ausgleichsvorgänge)	I_k
Stoßkurzschlussstrom (maximal möglicher Momentanwert des zu erwartenden Kurzschlussstromes)	i_p
Symmetrischer Ausschaltwechselstrom (Effektivwert des Wechselanteiles unmittelbar vor Abschaltung)	I_b
Thermisch gleichwertiger Kurzschlussstrom (Effektivwert des Kurzschlussstromes, der die gleiche Wärmewirkung während der KS-Dauer T_k erzeugt wie der abklingende KS-Strom)	I_{th}
Zeitkonstanten (subtransient, transient, Gleichstrom)	T_d'', T_d', T_g
Winkel der Kurzschlussimpedanz \underline{Z}_k an der Kurzschlussstelle	φ_{Zk}
Nullphasenwinkel der Spannung am Kurzschlussort	φ_u
Nullphasenwinkel des Kurzschlussstromes $i_k(t)$	$\alpha = \varphi_u - \varphi_{Zk}$

12.3 Verfahren der Ersatzspannungsquelle an der Kurzschlussstelle ohne Vollumrichteranlagen (nach IEC 60909 bzw. VDE 0102)

Arbeitspunktunabhängige Berechnung, Abschätzung von kleinst- und größtmöglichem Betrag des Anfangs-Kurzschlusswechselstroms I_k'' (Näherung) ¹³⁾ am Knoten i	
	<ul style="list-style-type: none"> • Rückwärtseinspeisung an der Kurzschlussstelle in das passiv gemachte Netz • Einführung einer Ersatzspannungsquelle U_{ers} an der Kurzschlussstelle • Vernachlässigung aller Querglieder und nichtmotorischer Lasten¹⁴⁾
Anfangs-Kurzschlusswechselstrom	$I_k'' = \frac{U_{\text{ers}}}{Z_k} = c \frac{U_n}{\sqrt{3}Z_k}$
Ersatzspannungsquelle an der Kurzschlussstelle	$U_{\text{ers}} = c \frac{U_n}{\sqrt{3}}$
Spannungsfaktor c für die Berechnung der größtmöglichen Kurzschlussströme ¹⁵⁾	$c_{\text{max}} = 1,1$
Spannungsfaktor c für die Berechnung der kleinstmöglichen Kurzschlussströme ¹⁵⁾	$c_{\text{min}} = 1,0$
Kurzschlussimpedanz an der Kurzschlussstelle ¹⁶⁾¹⁷⁾ (im Augenblick des Kurzschlusses wirksame Torimpedanz)	$\underline{Z}_k = \underline{z}_{ii} = R_k + jX_k$
Stoßkurzschlussstrom (κ siehe Faktoren für die Kurzschlussstromberechnung 12.5.1)	$i_p = \kappa \sqrt{2} I_k''$
Symmetrischer Ausschaltwechselstrom ¹⁸⁾ (μ siehe Faktoren für die Kurzschlussstromberechnung 12.5.2)	$I_b = \mu I_k''$
Thermisch gleichwertiger Kurzschlussstrom (m und n siehe Faktoren für die Kurzschlussstromberechnung 12.5.3)	$I_{\text{th}} = \sqrt{m+n} I_k''$
Dauerkurzschlussstrom (Berechnungsvorschriften sind der IEC 60909 zu entnehmen)	I_k

¹³⁾ Für die Berücksichtigung der Beiträge von doppelt gespeisten Asynchrongeneratoren und über Vollumrichter einspeisenden Erzeugungsanlagen siehe IEC 60909 und Abschnitt 12.4.

¹⁴⁾ Für das Nullsystem sind Abweichungen dazu möglich (siehe IEC 60909.)

¹⁵⁾ gültig für Nennspannungen > 1 kV

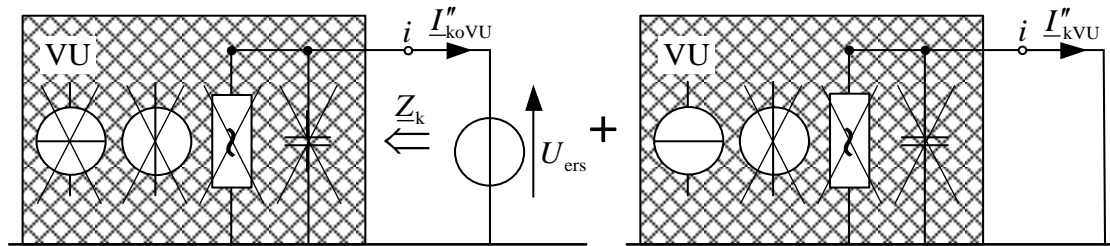
¹⁶⁾ Zur Berechnung des größtmöglichen Kurzschlussstromes nach IEC 60909 sind die Impedanzkorrekturfaktoren nach Abschnitt 12.6 anzuwenden.

¹⁷⁾ Die Torimpedanz am Knoten i entspricht dem Diagonalelement \underline{z}_{ii} der Knotenimpedanzmatrix des Mitsystems (siehe Abschnitt 12.4)

¹⁸⁾ Berechnungsvorschrift ist nur für generatornahe einfach gespeiste dreipolige Kurzschlüsse gültig.

12.4 Erweiterung des Verfahrens mit der Ersatzspannungsquelle an der Kurzschlussstelle aus Abschnitt 12.3 um die Kurzschlussstrombeiträge von Vollumrichteranlagen (nach IEC 60909 bzw. VDE 0102)

Vollumrichteranlagen (VU) sind über Vollumrichter an das Netz angeschlossene Erzeugungsanlagen. Sie werden durch ideale Stromquellen ($Z_i \rightarrow \infty$) nachgebildet. Ihre Kurzschlussstrombeiträge werden mittels der Stromteilerregel berechnet und in Näherung über die Addition ihrer reellen Beträge zum Anfangs-Kurzschlusswechselstrom gemäß Abschnitt 12.3 berücksichtigt.



Anfangs-Kurzschlusswechselstrom ¹⁹⁾²⁰⁾²¹⁾	$I''_{kmax} = I''_{koVU} + I''_{kVU} = \frac{U_{ers}}{Z_k} + \frac{1}{Z_k} \sum_{j=1}^n z_{ij} I_{qVUj}$
Effektivwert des größten Quellenstroms bei dreipoligem Kurzschluss der j -ten Vollumrichteranlage (z. B. Herstellerangabe)	$I_{qVUj} = I_{kVUmax j}$
Beträge der Elemente der Knotenimpedanzmatrix des Mitsystems ²²⁾	$z_{ij} = \left \frac{U_i}{I_j} \right \quad \text{alle } I_\mu = 0 \text{ für } \mu \neq j$
Stoßkurzschlussstrom ²³⁾	$i_p = \kappa \sqrt{2} I''_{koVU} + \sqrt{2} I''_{kVU}$
Für die Berechnung von I_b und I_k wird auf die in IEC 60909 genannten Einzelheiten und Bedingungen und für die Berechnung von I_{th} auf Abschnitt 12.3 verwiesen.	

12.5 Faktoren für die Kurzschlussstromberechnung

12.5.1 Faktor κ zur Berechnung des Stoßkurzschlussstromes i_p

Faktor zur Berechnung des Stoßkurzschlussstromes ²³⁾ (Bestimmung von κ durch die Methoden a), b) oder c) nach IEC 60909)	$\kappa = 1,02 + 0,98 e^{-3R/X}$
a) Einheitliches Verhältnis R/X : Für alle Kurzschlussorte gilt das kleinste Verhältnis R/X der Netzzweige, die Teilkurzschlussströme mit der Nennspannung entsprechend der Kurzschlussstelle führen.	

¹⁹⁾ I''_{koVU} ist der größtmögliche Anfangs-Kurzschlusswechselstrom ohne Vollumrichteranlagen (Index oVU) entsprechend Abschnitt 12.3.

²⁰⁾ Für die Berechnung des kleinstmöglichen Anfangs-Kurzschlusswechselstroms werden die Kurzschlussstrombeiträge der Vollumrichteranlagen vernachlässigt.

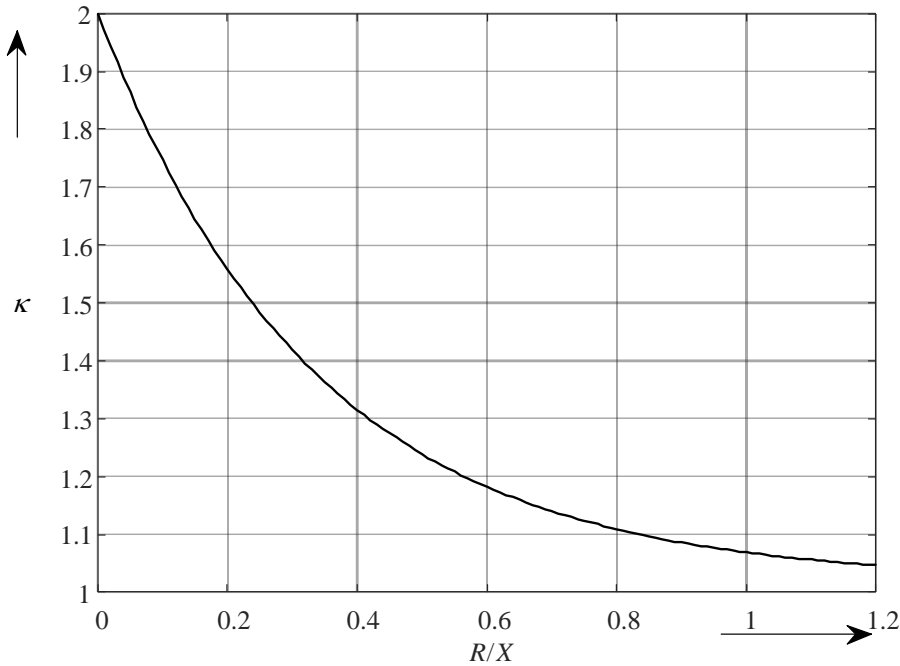
²¹⁾ i kennzeichnet den Kurzschlussknoten und j Knoten, an denen Vollumrichteranlagen angeschlossen sind.

²²⁾ Die Bestimmung erfolgt z. B. über die Berechnung der Spannung am Knoten i bei ausschließlicher Einspeisung eines Knotenstroms I_j am Knoten j in das kurzschluss- und quellenfreie Netzwerk.

²³⁾ Weitere Einzelheiten und Bedingungen sind der IEC 60909 zu entnehmen und zu beachten.

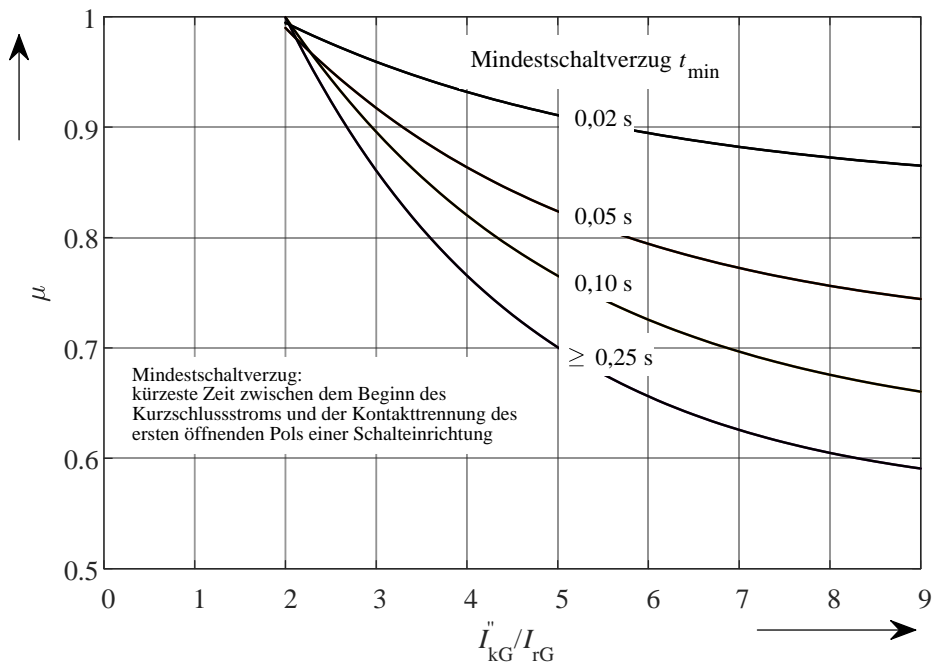
b) **Verhältnis R/X an der Kurzschlussstelle:** Für das Verhältnis R/X gilt das Verhältnis R_k/X_k der Torimpedanz \underline{Z}_k an der Kurzschlussstelle: $R/X = R_k/X_k$. Um Ungenauigkeiten bei der Netzreduktion auf eine Torimpedanz abzudecken, gilt für den Faktor $\kappa_{(b)} = 1,15 \cdot \kappa$ für $R_k/X_k \geq 0,3$, sonst $\kappa_{(b)} = \kappa$.

c) **Ersatzfrequenz f_c :** Bestimmung der Torimpedanz an der Kurzschlussstelle $\underline{Z}_c = R_c + jX_c$ für die Ersatzfrequenz $f_c = 20 \text{ Hz}$ (bei Nennfrequenz $f = 50 \text{ Hz}$). Es gilt: $R/X = (R_c/X_c) \cdot (f_c / f)$



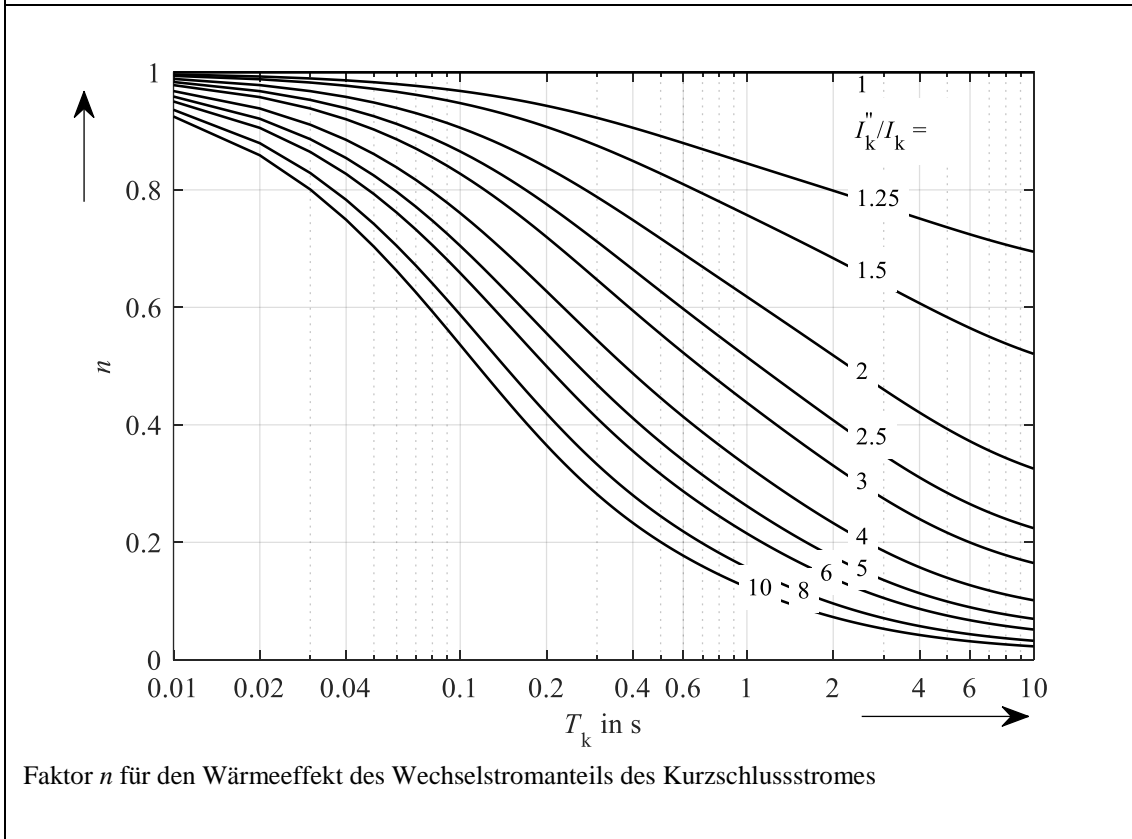
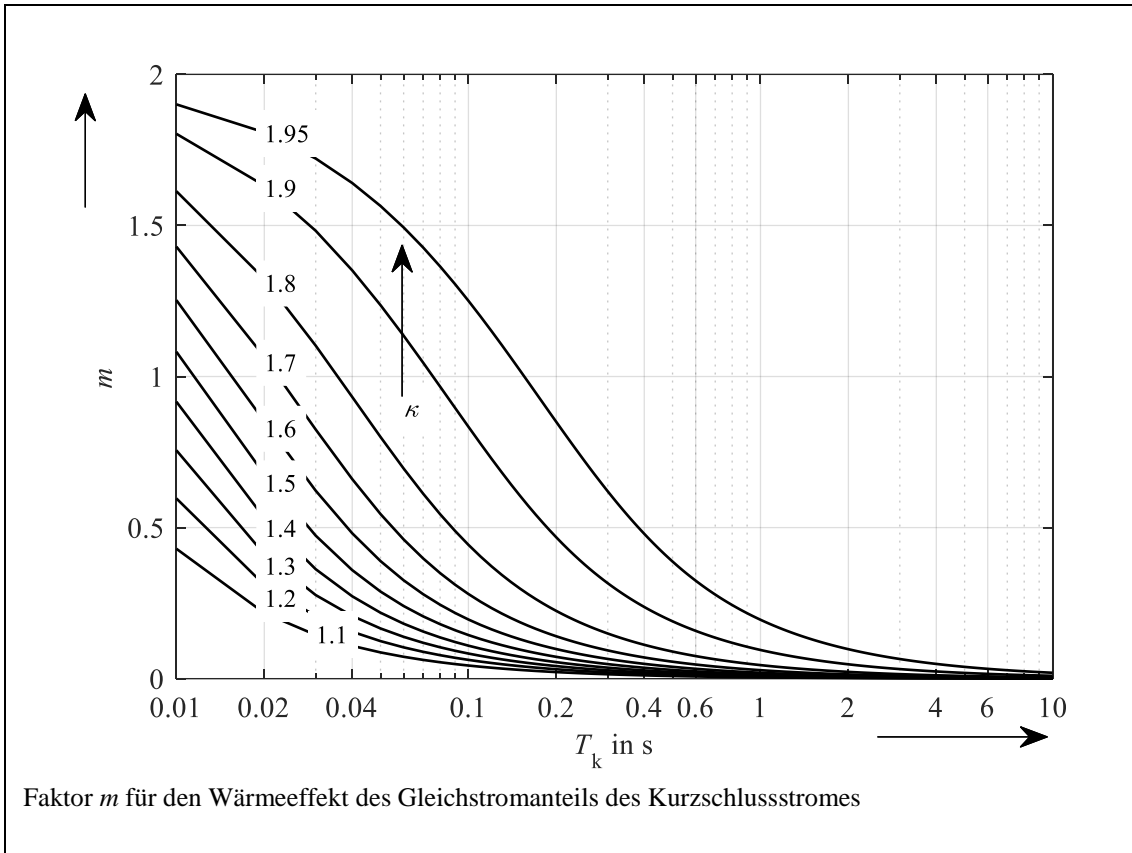
Faktor κ zur Berechnung des Stoßkurzschlussstromes

12.5.2 Faktor μ zur Berechnung des Ausschaltwechselstromes I_b



Faktor μ zur Berechnung des Ausschaltwechselstromes für einen generatornahen einfach gespeisten dreipoligen Kurzschluss

12.5.3 Faktoren m und n zur Berechnung des thermisch gleichwertigen Kurzschlussstromes I_{th}



12.6 Berücksichtigung von Impedanzkorrekturfaktoren (nach IEC 60909 bzw. VDE 0102)

Impedanzkorrekturfaktoren zur Berechnung der größtmöglichen Kurzschlussströme ²⁴⁾	
Die Torimpedanz an der Kurzschlussstelle \underline{Z}_k ist mit den korrigierten Impedanzen zu berechnen. Die festgelegte Höhe der Ersatzspannungsquelle ist in vielen Fällen nicht ausreichend, um die Teil- und Gesamtkurzschlussströme innerhalb einer Fehlergrenze von -5% zu bestimmen. Durch die Einführung von Impedanzkorrekturfaktoren wird eine Verbesserung der Kurzschlussstromergebnisse erreicht.	
Zweiwicklungstransformatoren ²⁵⁾	$\underline{Z}_{TK} = K_T \underline{Z}_T$
	$K_T = 0,95 \frac{c_{\max}}{1 + 0,6 x_T}$
Dreiwicklungstransformatoren	$\underline{Z}_{OSMSK} = K_{TOSMS} \underline{Z}_{TOSMS}$
	$\underline{Z}_{OSUSK} = K_{TOSUS} \underline{Z}_{TOSUS}$
	$\underline{Z}'_{MSUSK} = K_{TMSUS} \underline{Z}'_{TMSUS}$
	$K_{TOSMS} = 0,95 \frac{c_{\max}}{1 + 0,6 x_{TOSMS}}$ $K_{TOSUS} = 0,95 \frac{c_{\max}}{1 + 0,6 x_{TOSUS}}$ $K_{TMSUS} = 0,95 \frac{c_{\max}}{1 + 0,6 x_{TMSUS}}$
Synchronmaschinen ²⁶⁾	$\underline{Z}_{GK} = K_G \underline{Z}_G$
	$K_G = \frac{U_{nN}}{U_{rG}} \frac{c_{\max}}{1 + x_d'' \sqrt{1 - \cos^2 \varphi_{rG}}}$
Kraftwerksblöcke mit Stufenschalter ²⁷⁾	$\underline{Z}_{SK} = K_S (\dot{u}^2 \underline{Z}_G + \underline{Z}_{TOS})$
	$K_S = \frac{U_{nN}^2}{U_{rG}^2} \frac{U_{rTUS}^2}{U_{rTOS}^2} \frac{c_{\max}}{1 + x_d'' - x_T \sqrt{1 - \cos^2 \varphi_{rG}}}$
Kraftwerksblöcke ohne Stufenschalter ²⁷⁾	$\underline{Z}_{SOK} = K_{SO} (\dot{u}^2 \underline{Z}_G + \underline{Z}_{TOS})$
	$K_{SO} = \frac{U_{nN}}{U_{rG} (1 + p_G)} \frac{U_{rTUS}}{U_{rTOS}} \frac{(1 \pm p_T) c_{\max}}{1 + x_d'' \sqrt{1 - \cos^2 \varphi_{rG}}}$

²⁴⁾ Bei unsymmetrischen Kurzschlüssen sollen die Impedanzkorrekturfaktoren auch auf die Gegen- und Nullimpedanzen angewendet werden. Impedanzen zwischen einem Sternpunkt und Erde sind ohne Korrekturfaktoren einzuführen.

²⁵⁾ c_{\max} ist auf die Netzennennspannung des Netzes der US-Seite des Transformators zu beziehen. Der Korrekturfaktor gilt nicht für Blocktransformatoren und Windenergieanlagen.

²⁶⁾ Nicht bei Anschluss über einen Blocktransformator verwenden.

²⁷⁾ Bei Kurzschluss auf der OS-Seite des Blocktransformators zu verwenden.

12.7 Berechnung mit Maschen- und Knotensätzen

Arbeitspunktabhängige Berechnung, exakte Bestimmung des Anfangs-Kurzschlusswechselstromes \underline{I}_k'' nach Betrag und Phase unter Verwendung der Maschen- und Knotensätze und ggf. des Überlagerungssatzes	
Berechnung der Teil-Kurzschlussströme	$\underline{I}_{kG}'' = \frac{\underline{U}''}{\underline{Z}_{ersG}}, \underline{I}_{kN}'' = \frac{\underline{U}_{-N}}{\underline{Z}_{ersN}}, \dots$
Bestimmung des exakten Anfangs-Kurzschlusswechselstromes	$\underline{I}_k'' = \underline{I}_{kG}'' + \underline{I}_{kN}'' + \dots$

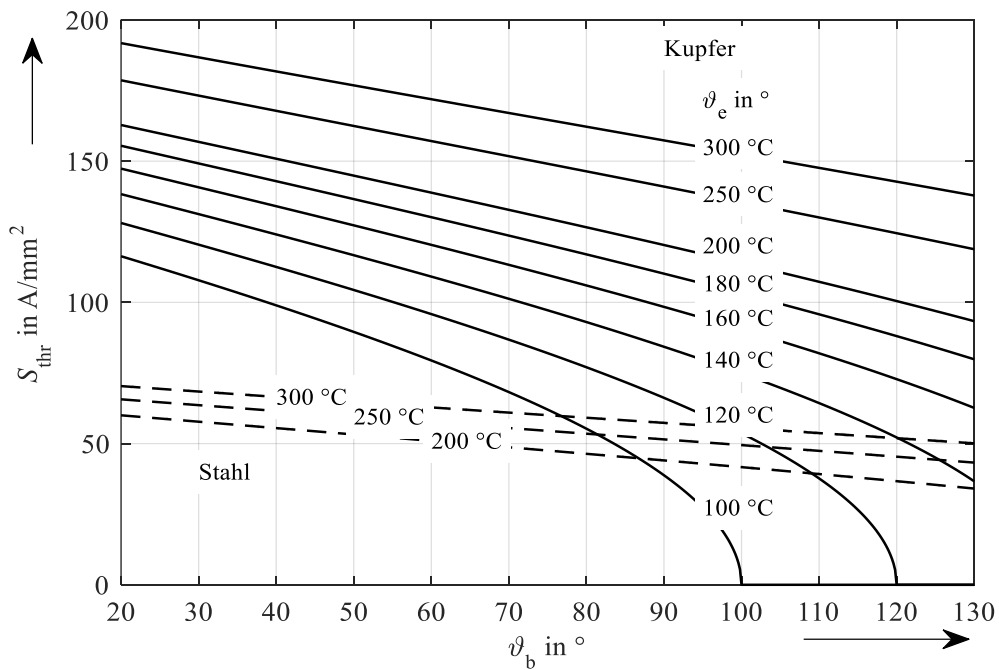
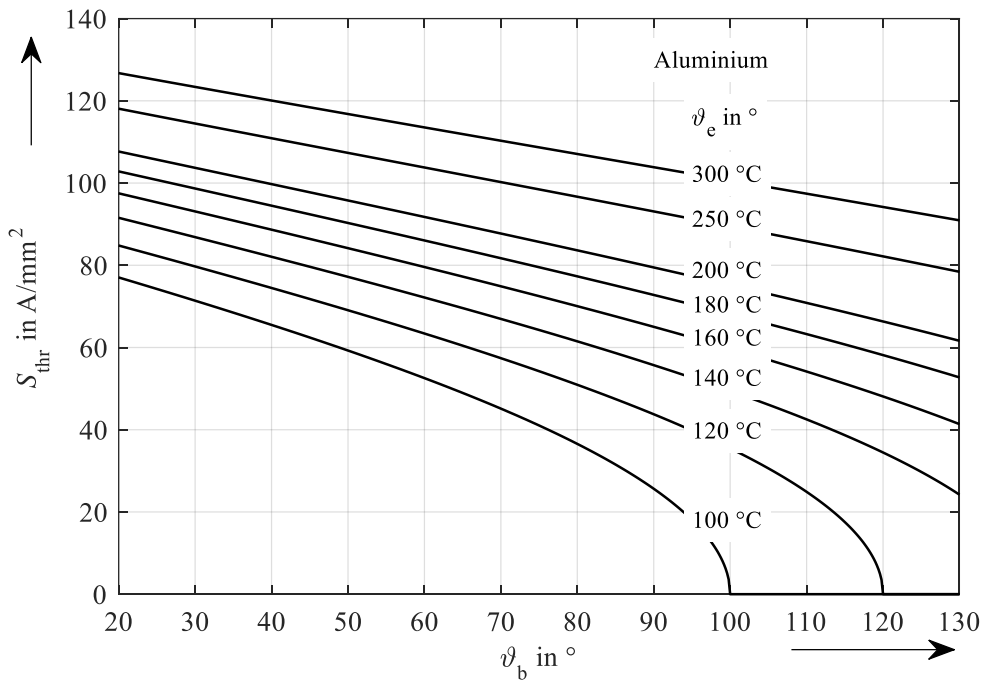
12.8 Thermische Kurzschlussfestigkeit

Gleichstromwiderstand bei ϑ_{20} κ_{20} : Leitfähigkeit bei 20°C l : Leiterlänge, A : Leiterquerschnitt	$R_0 = \frac{l}{\kappa_{20} A} S_{th} \leq S_{thr} \sqrt{\frac{T_{kr}}{T_k}}$
Gleichstromwiderstand bei ϑ_x α_{20} : Temperaturkoeffizient des ohmschen Widerstands bei 20°C	$R = R_0 (1 + \alpha_{20} (\vartheta_x - \vartheta_{20}))$
Thermisch gleichwertiger Kurzschlussstrom	$I_{th} = I_k'' \sqrt{m+n} = \sqrt{\frac{1}{T_k} \int_0^{T_k} i_k^2(t) dt}$
Kurzschlussdauer (=Summe der Kurzschlussdauern bei wiederholten Kurzschlüssen mit kurzen Pausen)	$T_k = \sum_{i=1}^{N_k} T_{ki}$
Ermittlung der thermischen Kurzschlussfestigkeit von elektrischen Maschinen, Transformatoren, Wandlern, Drosselpulen und Schaltgeräten	$I_{th} \leq I_{thr}$ für $T_k \leq T_{kr}$ $I_{th} \leq I_{thr} \sqrt{\frac{T_{kr}}{T_k}}$ für $T_k > T_{kr}$
Thermisch gleichwertige Kurzschlussstromdichte ϑ_b : Temperatur des Stromleiters bei Kurzschlussbeginn ϑ_e : Temperatur des Stromleiters bei Kurzschlussende	$S_{th} = \frac{I_{th}}{A} = \frac{I_k'' \sqrt{m+n}}{A}$ $= \sqrt{\frac{\kappa_{20} c_p \rho}{\alpha_{20} T_k} \ln \left(\frac{1 + \alpha_{20} (\vartheta_e - 20^\circ\text{C})}{1 + \alpha_{20} (\vartheta_b - 20^\circ\text{C})} \right)}$ c_p : spez. Wärmekapazität ρ : Dichte des Leiters
Bemessungs-Kurzzeitstromdichte $S_{thr} = S_{th}$ berechnet mit: $\vartheta_b = \vartheta_{b,max}$: Maximal zulässige Betriebstemperatur (sofern nicht anders bekannt) $\vartheta_e = \vartheta_{e,max}$: Maximale Leitertemperatur während eines Kurzschlusses $T_k = T_{kr}$: Bemessungs-Kurzzeit (z. B. 1 s)	

Ermittlung der thermischen Kurzschlussfestigkeit von Leiterschienen, Leiterseilen und Kabeln

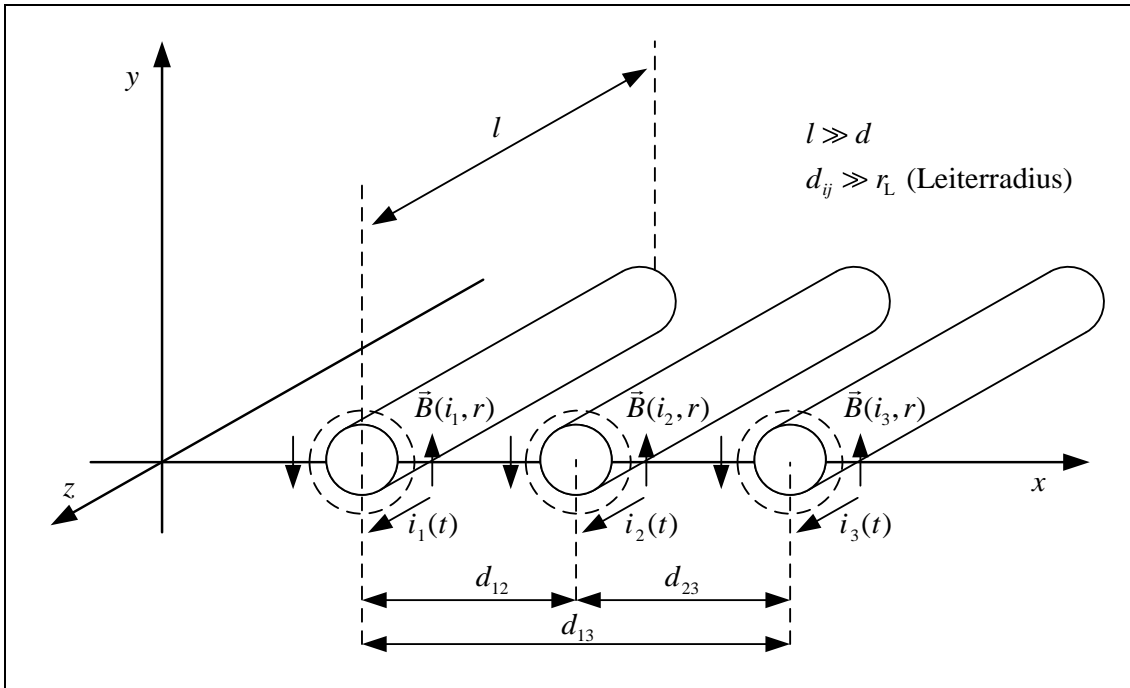
$$S_{th} \leq S_{thr} \sqrt{\frac{T_{kr}}{T_k}}$$

Bemessungs-Kurzzeitstromdichte in Abhängigkeit der Anfangstemperatur ϑ_b und der zulässigen Kurzschlussendtemperatur ϑ_e für die Bemessungs-Kurzschlussdauer $T_{kr} = 1s$ für Aluminium sowie Kupfer und Stahl



12.9 Mechanische Kurzschlussfestigkeit

12.9.1 Bestimmung der magnetischen Felder und Kräfte

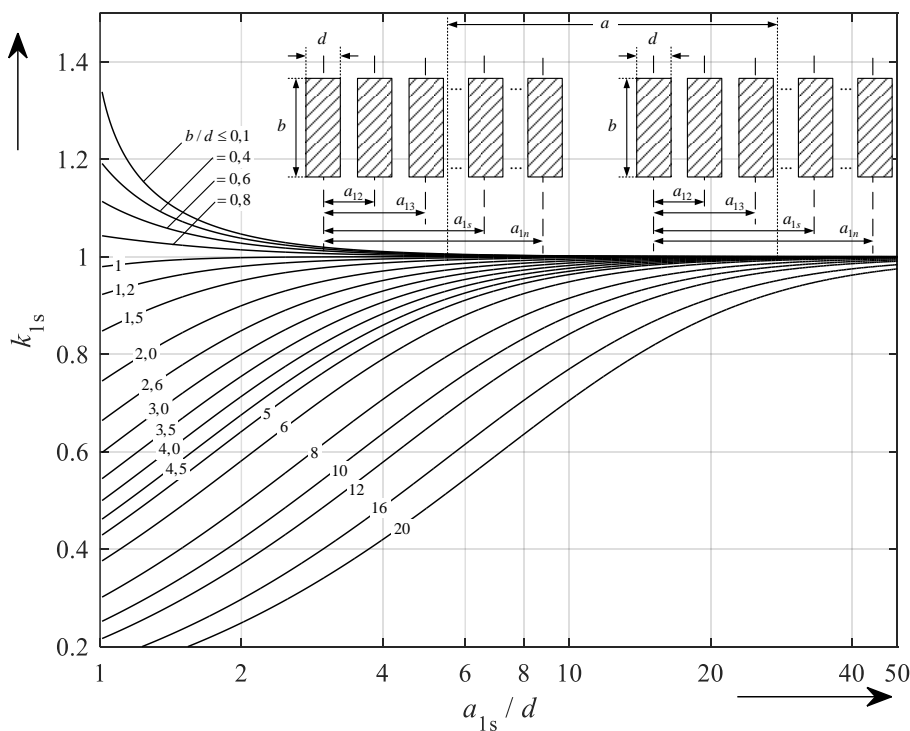


Bestimmung der Feldgrößen

Magnetischen Flussdichte	$\vec{B} = \mu_0 \mu_r \vec{H}$
Magnetischen Feldstärke	$\vec{H}(I, \vec{r}) = \frac{I_i}{2\pi r}$
Magnetische Kraft zwischen zwei Leitern (Lorentz-Kraft, Drei-Finger-Regel)	$\vec{F} = I (\vec{l} \times \vec{B})$
Bestimmung der magnetischen Kräfte (Dreileiter-Anordnung)	
Betrag der magnetischen Kraft zwischen zwei Leitern i und j	$F_{ij}(t) = \frac{\mu_0}{2\pi} \mu_r i_i(t) i_j(t) \frac{l}{d_{ij}}$

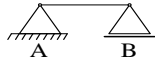
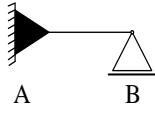
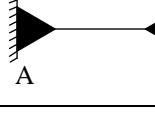
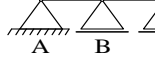
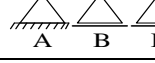
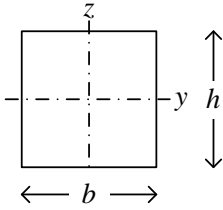
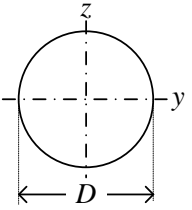
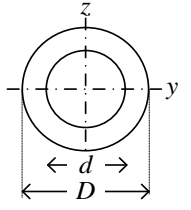
12.9.2 Maximale mechanische Haupt- und Teileiterkräfte

maximale Kraft bei 3-pol. KS auf Hauptleiter nach DIN EN 60865-1	
<p>i_p : Stoßkurzschlussstrom</p> <p>l : größter Stützabstand</p> <p>a_m : wirksamer Hauptleiterabstand</p> <p>a : Leitermittenabstand</p>	$F_m = \frac{\mu_0 \sqrt{3}}{2\pi} i_p^2 \frac{l}{a_m}$
Hauptleiter bestehend aus Einzelleitern mit Kreisprofil	$a_m = a$
Hauptleiter bestehend aus Einzelleitern mit Rechteckprofil (Faktor k_{1s} siehe Bild unten)	$a_m = \frac{a}{k_{1s}}$
maximale Kraft bei 3-pol. KS auf Teileiter nach DIN EN 60865-1	
<p>n : Anzahl der Teileiter</p> <p>l_s : größter Mittenabstand zweier benachbarter Zwischenstücke</p> <p>a_s : wirksamer Abstand zwischen den Teileitern</p>	$F_s = \frac{\mu_0}{2\pi} \left(\frac{i_p}{n}\right)^2 \frac{l_s}{a_s}$
Wirksamer Abstand zwischen Teileitern mit Kreisprofil	$\frac{1}{a_s} = \sum_{i=2}^n \frac{1}{a_{1i}}$
Wirksamer Abstand zwischen Teileitern mit Rechteckprofil (Faktor k_{1s} siehe nachfolgendes Bild)	$\frac{1}{a_s} = \sum_{i=2}^n \frac{k_{1i}}{a_{1i}}$



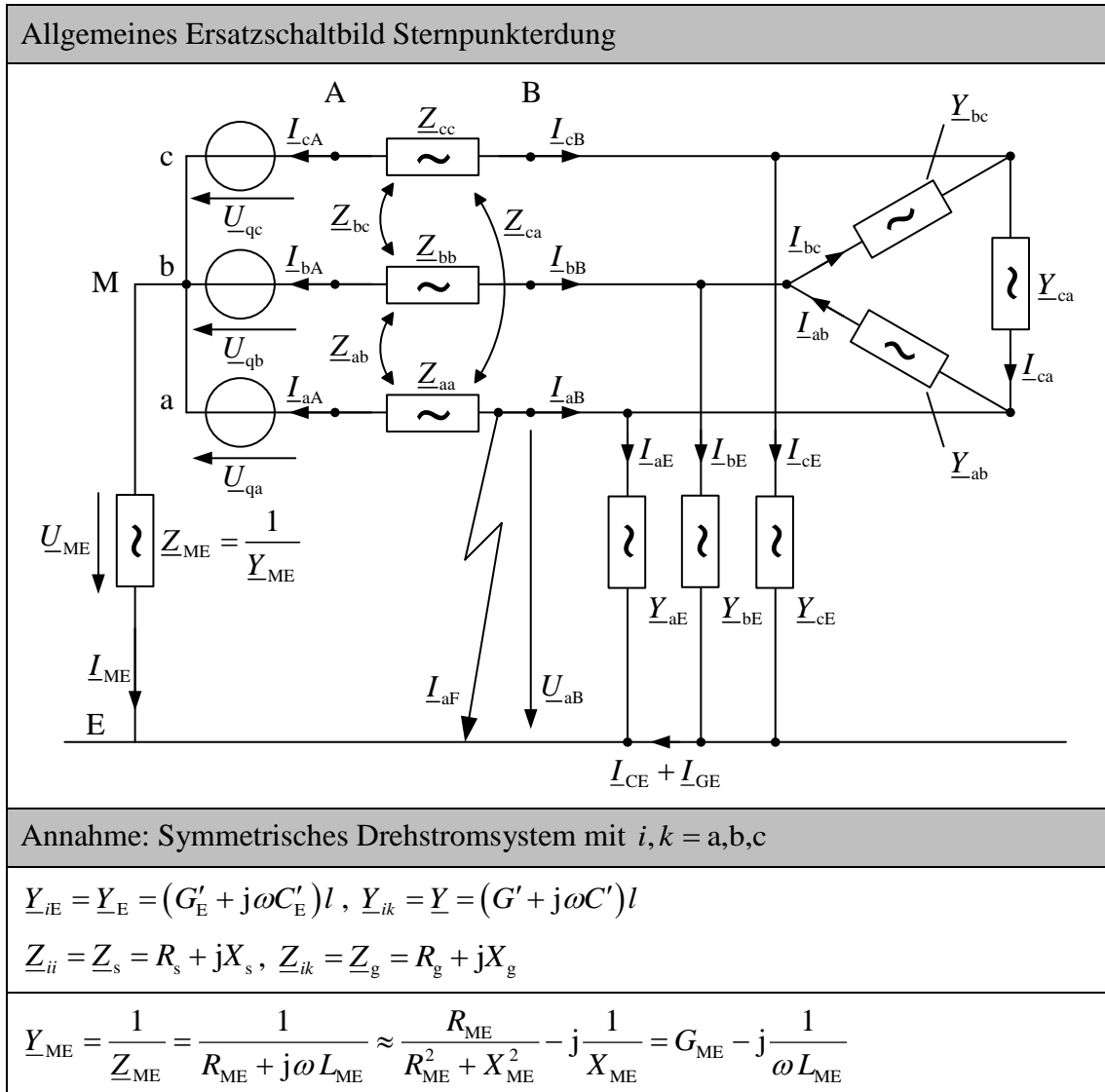
Faktor k_{1s} zur Berechnung des wirksamen Leiterabstands

12.9.3 Berechnung der mechanischen Spannung

Biegespannung durch die Kräfte zwischen den Hauptleitern		$\sigma_m = V_\sigma V_r \beta \frac{F_m l}{8Z}$	
<p>V_σ : Verhältnis von dynamischen zum statischen Hauptleiter-Biegespannungsbetrag</p> <p>V_r : Verhältnis von dynamische Beanspruchungen bei erfolgloser dreipoliger Kurzunterbrechung zu den dynamischen Beanspruchungen bei erfolgreicher dreipoliger Kurzunterbrechung</p> <p>Z : Widerstandsmoment des Hauptleiters in Richtung der Biegeachse</p> <p>β : Faktor für die Hauptleiterbeanspruchung (abhängig von Träger und Befestigung)</p>			
Einfeldträger	A und B gestützt		$\beta = 1,0$
	A: eingespannt B: gestützt		$\beta = 0,73$
	A und B eingespannt		$\beta = 0,5$
Mehrfeldträger mit gleichen Stützabständen	2 Felder		$\beta = 0,73$
	3 oder mehr Felder		$\beta = 0,73$
Biegespannung durch die Kräfte zwischen den Teilleitern		$\sigma_s = V_{\sigma s} V_{r s} \frac{F_s l_s}{16Z_s}$	
Die Variablen mit dem Index s sind analog zu den oben angegebenen Variablen für die Hauptleiter definiert.			
Der Leiter gilt als mechanisch kurzschlussfest, wenn:		$\sigma_{tot} = \sigma_m + \sigma_s \leq \sigma_{zul} = q R_{p0,2}$	
<p>σ_{tot} : maximale Biegespannung im Leiter</p> <p>$R_{p0,2}$: Streckgrenze des Leiters</p> <p>q : Wahl abhängig von Profil und Beanspruchung</p>			
Widerstandsmomente Z werden in Bezug auf eine Biegeachse angegeben			
<p>Rechteck</p> 	<p>Kreis</p> 	<p>Kreisring</p> 	
$Z_y = \frac{bh^2}{6}, Z_z = \frac{hb^2}{6}$	$Z = Z_y = Z_z = \frac{\pi}{32} D^3$	$Z = Z_y = Z_z = \frac{\pi}{32} \frac{D^4 - d^4}{D}$	

13 Sternpunktterdung

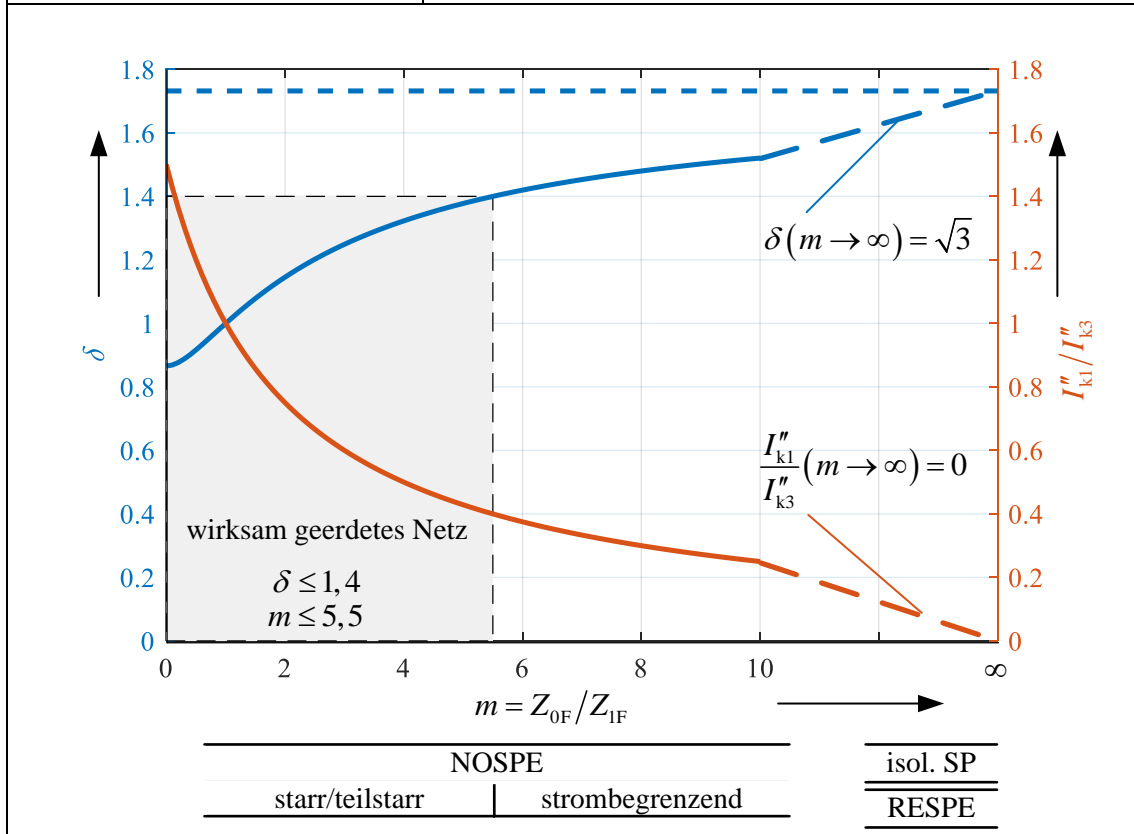
13.1 Ersatzschaltung für 1-pol. Leiter-Erde-Fehler



13.2 Ströme und Spannungen bei 1-pol. Leiter-Erde-Fehlern

Fehlerstrom bei 1-pol. Leiter-Erde-Fehler ($\underline{U}_{q1} = \underline{U}_{qa}$)	
Fehlerstrom bei 1-pol. Leiter-Erde-Fehler ($\underline{Z}_{1F} = \underline{Z}_{2F}$)	$\underline{I}_{aF} = 3\underline{I}_{1F} = -\underline{I}_{CE} - \underline{I}_{GE} - \underline{I}_{ME}$ $= 3 \frac{\underline{U}_{q1}}{\underline{Z}_{1F} + \underline{Z}_{2F} + \underline{Z}_{0F}} = \frac{3}{2+m} \frac{\underline{U}_{q1}}{\underline{Z}_{1F}}$
Kapazitiver Erdschlussstrom	$\underline{I}_{CE} = j\omega C_E (\underline{U}_{bF} + \underline{U}_{cF}) = j\omega C'_E l (\underline{U}_{bF} + \underline{U}_{cF})$
Konduktiver Erdschlussstrom	$\underline{I}_{GE} = G_E (\underline{U}_{bF} + \underline{U}_{cF}) = G'_E l (\underline{U}_{bF} + \underline{U}_{cF})$
Sternpunkt-Erde-Strom	$\underline{I}_{ME} = \underline{Y}_{ME} \underline{U}_{ME}$

Leiter-Erde-Spannungen der nicht fehlerbehafteten Leiter	
Leiter-Erde-Spannungen der nicht fehlerbehafteten Leiter $\underline{U}_{bF} = f_b(\underline{m}), \underline{U}_{cF} = f_c(\underline{m})$	$\underline{U}_{bF} = \frac{(\underline{a}^2 - \underline{a}) + (\underline{a}^2 - 1)\underline{m}}{2 + \underline{m}} \underline{U}_{q1} = -\frac{\sqrt{3}}{2} \left(\frac{\sqrt{3}\underline{m}}{2 + \underline{m}} + j \right) \underline{U}_{q1}$
	$\underline{U}_{cF} = \frac{(\underline{a} - \underline{a}^2) + (\underline{a} - 1)\underline{m}}{2 + \underline{m}} \underline{U}_{q1} = -\frac{\sqrt{3}}{2} \left(\frac{\sqrt{3}\underline{m}}{2 + \underline{m}} - j \right) \underline{U}_{q1}$
Torimpedanzen an der Kurzschlussstelle im Mit-, Gegen- und Nullsystem	
Torimpedanzen an der Kurzschlussstelle im Mit- und Gegensystem	$\underline{Z}_{1F} = \underline{Z}_{2F} = \frac{1}{\frac{1}{\underline{Z}_1} + \underline{Y}_1} = \frac{1}{\frac{1}{\underline{Z}_s - \underline{Z}_g} + \underline{Y}_E + 3\underline{Y}}$
Torimpedanzen an der Kurzschlussstelle im Nullsystem	$\underline{Z}_{0F} = \frac{1}{\frac{1}{\underline{Z}_0 + 3\underline{Z}_{ME}} + \underline{Y}_0} = \frac{1}{\frac{1}{\underline{Z}_s + 2\underline{Z}_g + 3\underline{Z}_{ME}} + \underline{Y}_E}$
Faktor \underline{m} (Verhältnis der Nullsystemtorimpedanz zur Mitsystemtorimpedanz)	$\underline{m} = \frac{\underline{Z}_{0F}}{\underline{Z}_{1F}} \approx m \text{ (für } \angle \underline{Z}_{0F} \approx \angle \underline{Z}_{1F} \text{)}$
Erdfehlerfaktor mit der Leiter-Leiter-Spannung vor Fehlereintritt $U^b \approx \sqrt{3}U_{q1}$	
Erdfehlerfaktor bei 1-pol. Leiter-Erde-Fehler	$\delta = \frac{\max(U_{bF}, U_{cF})}{U^b / \sqrt{3}} \stackrel{m \approx m}{=} \sqrt{3} \frac{\sqrt{m^2 + m + 1}}{2 + m}$

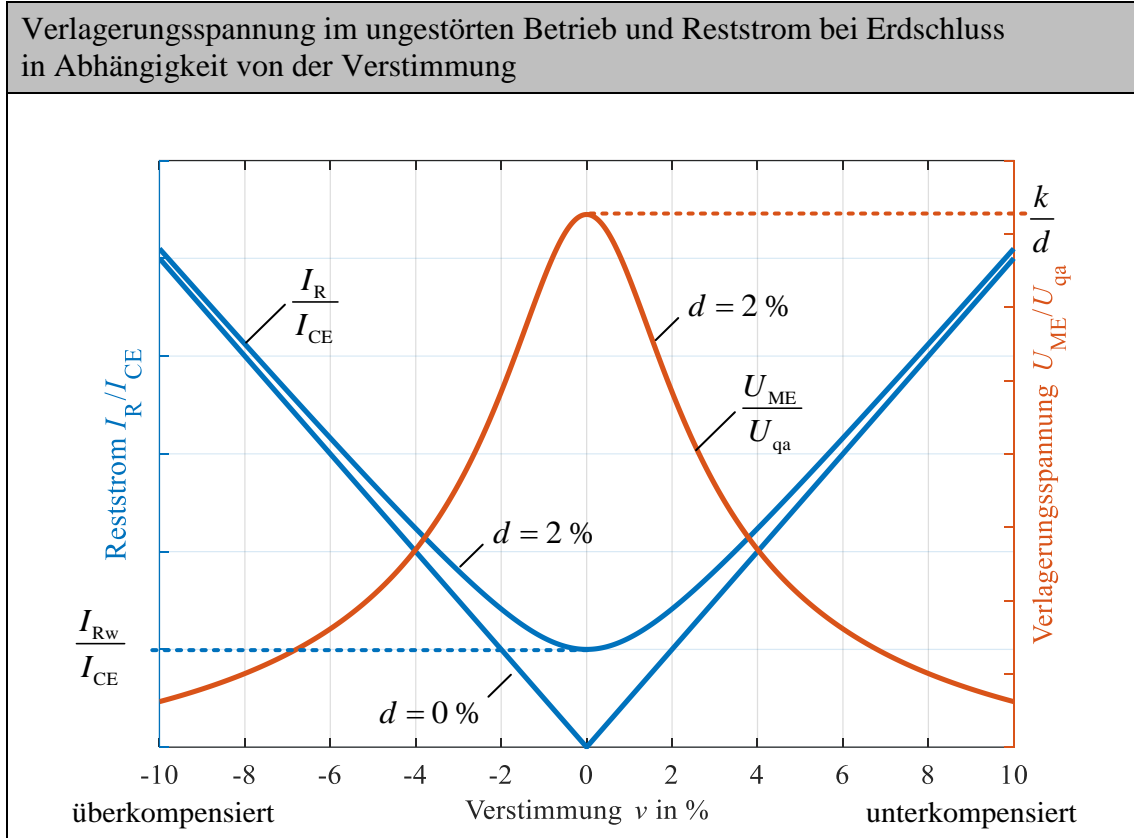


13.3 Isolierter Sternpunkt

$ \underline{Z}_{ME} \rightarrow \infty, \underline{Z}_{1F} = \underline{Z}_{2F} \ll \underline{Z}_{0F} = 1/\underline{Y}_E , m \gg 1$	
Sternpunkt-Erde-Spannung	$\underline{U}_{ME} \approx -\underline{U}_{qa} = -\underline{U}_{q1}$
Fehlerstrom bei 1-pol. Leiter-Erde-Fehler = (negativer) kapazitiver Erdschlussstrom	$\underline{I}_{aF} = -\underline{I}_{CE} - \underline{I}_{GE} \approx -\underline{I}_{CE} = j3\omega C_E \underline{U}_{q1}$
Leiter-Erde-Spannungen der nicht fehlerbehafteten Leiter	$\underline{U}_{bF} \approx -\frac{\sqrt{3}}{2}(\sqrt{3} + j)\underline{U}_{q1} = -\sqrt{3}\underline{U}_{q1} e^{j\frac{\pi}{6}}$ $\underline{U}_{cF} \approx -\frac{\sqrt{3}}{2}(\sqrt{3} - j)\underline{U}_{q1} = -\sqrt{3}\underline{U}_{q1} e^{-j\frac{\pi}{6}}$
Erdfehlerfaktor	$\delta \approx \sqrt{3}$

13.4 Resonanz-Sternpunktterdung (RESPE)

$ \underline{Z}_{ME} = f(\nu), \underline{Z}_{1F} = \underline{Z}_{2F} \ll \underline{Z}_{0F} \approx 1/(\underline{Y}_{ME}/3 + \underline{Y}_E) , m \gg 1$	
Sternpunkt-Erde-Spannung	$\underline{U}_{ME} \approx -\underline{U}_{qa} = -\underline{U}_{q1}$
Fehlerstrom bei 1-pol. Leiter-Erde-Fehler = Erdschlussstrom = Reststrom	$\underline{I}_{aF} = \underline{I}_R = -\underline{I}_{CE} - \underline{I}_{GE} - \underline{I}_{ME} = \underline{I}_{Rw} + j\underline{I}_{Rb}$ $= j\underline{I}_{CE}(d + j\nu) = 3\omega C_E(d + j\nu)\underline{U}_{q1}$
Verstimmung $\nu > 0 \rightarrow$ unterkompensiert $\nu < 0 \rightarrow$ überkompensiert	$\nu = 1 - \frac{1}{3\omega^2 C_E L_{ME}}$
Dämpfung	$d = \frac{G_{ME} + 3G_E}{3\omega C_E}$
Leiter-Erde-Spannungen der nicht fehlerbehafteten Leiter	$\underline{U}_{bF} \approx -\sqrt{3}\underline{U}_{q1} e^{j\frac{\pi}{6}}$
	$\underline{U}_{cF} \approx -\sqrt{3}\underline{U}_{q1} e^{-j\frac{\pi}{6}}$
Erdfehlerfaktor	$\delta \approx \sqrt{3}$
Verlagerungsspannung im ungestörten, erdschlussfreien Betrieb Annahme: Unsymmetrische Leiter-Erde-Admittanzen $\underline{Y}_{aE} \neq \underline{Y}_{bE} \neq \underline{Y}_{cE}$	
Sternpunkt-Erde-Spannung	$\underline{U}_{ME} = \frac{-k}{d + j\nu} \underline{U}_{qa}$
Unsymmetriefaktor	$\underline{k} = \frac{\underline{Y}_{aE} + a^2 \underline{Y}_{bE} + a \underline{Y}_{cE}}{3\omega C_E}$
Mittelwert der/s Leiter-Erde-Kapazität/Leitwertes	$C_E = \frac{1}{3}(C_{aE} + C_{bE} + C_{cE}), G_E = \frac{1}{3}(G_{aE} + G_{bE} + G_{cE})$



13.5 Niederohmige Sternpunktterdung (NOSPE)

$ \underline{Z}_{ME} = f(I''_{k1} < I''_{k1max})$, $\underline{Z}_{1F} = \underline{Z}_{2F} \approx \underline{Z}_1$, $\underline{Z}_{0F} \approx \underline{Z}_0 + 3\underline{Z}_{ME}$ $m \approx 3 \dots 5,5$ starr, teilstarr (HS- und HöS-Netze) $m > 4$ strombegrenzend (10 – 110-kV-Kabelnetze)	
Sternpunkt-Erde-Spannung	$\underline{U}_{ME} \approx -\underline{U}_{qa} + \underline{Z}_s \underline{I}_{aF}$
Fehlerstrom bei 1-pol. Leiter-Erde-Fehler = Erdkurzschlussstrom	$\underline{I}_{aF} = \underline{I}_{k1}'' = \frac{3}{2+m} \frac{\underline{U}_{q1}}{\underline{Z}_{1F}} = \frac{3}{2+m} \underline{I}_{k3}'' \text{ mit } \underline{U}_{q1} = c \frac{\underline{U}_{nN}}{\sqrt{3}}$ (Spannungsfaktor c siehe Abschnitt 12.3)
Leiter-Erde-Spannungen der nicht fehlerbehafteten Leiter (siehe 13.2)	$\underline{U}_{bF} = f_b(\underline{m})$, $\underline{U}_{cF} = f_c(\underline{m})$ mit $\underline{m} \approx \frac{\underline{Z}_0 + 3\underline{Z}_{ME}}{\underline{Z}_1}$
Erdfehlerfaktor	$\delta \leq 1,4$ wirksam geerdet $\delta \approx 1,4 \dots \sqrt{3}$ starre/teilstarre Erdung nicht wirksam geerdet strombegrenzende Erdung

14 Wärmelehre

Wärmestrom und Wärme(energie)	$P_{\text{th}}(t) = \frac{dQ_{\text{th}}(t)}{dt} = \dot{Q}_{\text{th}}(t)$
Energieerhaltungssatz (c_p : spez. Wärmekapazität)	$mc_p \Delta\mathcal{G} = \Delta Q_{\text{th}} = Q_{\text{th,zu}} - Q_{\text{th,ab}}$
Thermischer Widerstand bei Wärmeleitung (λ : Wärmeleitfähigkeit)	$R_{\text{th}} = \frac{\Delta\mathcal{G}}{P_{\text{th}}} = \frac{\Delta x}{\lambda A}$
Thermischer Widerstand bei Konvektion (α : Wärmeübergangskoeffizient)	$R_{\text{th}} = \frac{\Delta\mathcal{G}}{P_{\text{th}}} = \frac{1}{\alpha A}$
Analogie zwischen thermischen und elektrischen Größen	
Wärmemenge in J = Ws	Ladung in C
Wärmestrom in W	Strom in A
Temperaturdifferenz in K	Spannung in V
Wärmekapazität in J/K	Kapazität in F
Wärmewiderstand in K/W	Widerstand in Ω
Wärmeleitfähigkeit in W/(m·K)	Elektrische Leitfähigkeit in S/m

15 Windenergie

Windenergie	$W_{\text{kin Wind}} = \frac{1}{2} m_{\text{Luft}} v_{\text{Wind}}^2$
Windleistung	$P_{\text{Wind}} = \frac{dW_{\text{kin Wind}}}{dt} = \frac{1}{2} \rho_{\text{Luft}} A_{\text{Rotor}} v_{\text{Wind}}^3$
Rotorleistung (c_p : Leistungsbeiwert)	$P_{\text{Rotor}} = \frac{1}{2} \rho_{\text{Luft}} A_{\text{Rotor}} v_{\text{Wind}}^3 c_p(\lambda, \beta) = P_{\text{Wind}} c_p(\lambda, \beta)$
Schnellaufzahl (n : Rotordrehzahl, R : Rotorradius)	$\lambda = \frac{v_{\text{Blattspitze}}}{v_{\text{Wind}}} = \frac{2\pi n R}{v_{\text{Wind}}}$
Generatorleistung (η_{ges} : Gesamtwirkungsgrad)	$P_{\text{Generator}} = P_{\text{Rotor}} \eta_{\text{ges}}$
Näherungsformel für c_p mit anlagenspezifischen Konstanten c_i	$c_p(\lambda, \beta) = c_1 \left(\frac{c_2}{\lambda_1} - c_3 \beta - c_4 \beta^{c_5} - c_6 \right) e^{-\frac{c_7}{\lambda_1}}$ mit $\frac{1}{\lambda_1} = \frac{1}{\lambda + c_8 \beta} - \frac{c_9}{\beta^3 + 1}$

16 Energiewirtschaft

Zusammenhang von Energie und Leistung	$P(t) = \frac{dW(t)}{dt} \text{ bzw. } \Delta W = W(t_1) - W(t_0)$ $= \int_{t_0}^{t_1} P(t) dt$
Mittlere Leistung	$P_m = \frac{1}{T_N} \int_0^{T_N} P(t) dt$
Wirkungsgrad	$\eta = \frac{\text{abgegebene Leistung}}{\text{zugeführte Leistung}} = \frac{P_{ab}}{P_{zu}} = \frac{P_{zu} - P_v}{P_{zu}}$
Belastungsgrad m und Benutzungsdauer T_m	$m = \frac{T_m}{T_N} = \frac{\int_0^{T_N} P(t)/P_{max} dt}{T_N} = \frac{W}{P_{max} T_N} = \frac{P_m}{P_{max}}$
Verlustarbeit W_v und Verluststundendauer T_v	$W_v = \mathcal{G}_w P_{vmax} T_N = \int_0^{T_N} P_v(t) dt$ $= P_{vm} T_N = P_{vmax} T_v$
Verlustfaktor	$\mathcal{G}_w = \frac{W_v}{P_{vmax} T_N} = \frac{\int_0^{T_N} P_v(t) dt}{P_{vmax} T_N} = \frac{P_{vm}}{P_{vmax}} = \frac{T_v}{T_N}$ $U \approx \text{konst.} \quad \frac{R \int_0^{T_N} I^2(t) dt}{R I_{max}^2 T_N}$ $I^2 \sim S^2 \quad \frac{\int_0^{T_N} S^2(t) dt}{S_{max}^2 T_N} = \frac{\int_0^{T_N} (S(t)/S_{max})^2 dt}{T_N}$
Gleichzeitigkeitsfaktor g (Anzahl k Haushalte)	$g(k) = \frac{p_{SLA}(k)}{p_S} \Leftrightarrow p_{SLA}(k) = g(k) p_S$ <p>Spitzenlastanteil p_{SLA}</p> <p>Hausanschlussleistung p_S</p>
Näherungsgleichung für den Gleichzeitigkeitsfaktor für Siedlungsgebiete	$g(k) = g_\infty + (1 - g_\infty) k^{-\frac{3}{4}}$ <p>Endwert für große Anzahl von Haushalten g_∞</p>

17 Anhang

17.1 Ausgewählte SI-Basis-Einheiten

Größe	Symbol	Einheitenname	Zeichen
Länge	l	Meter	m
Masse	m	Kilogramm	kg
Zeit	t	Sekunde	s
Elektrische Stromstärke	I	Ampere	A
Thermodynamische Temperatur	T	Kelvin	K

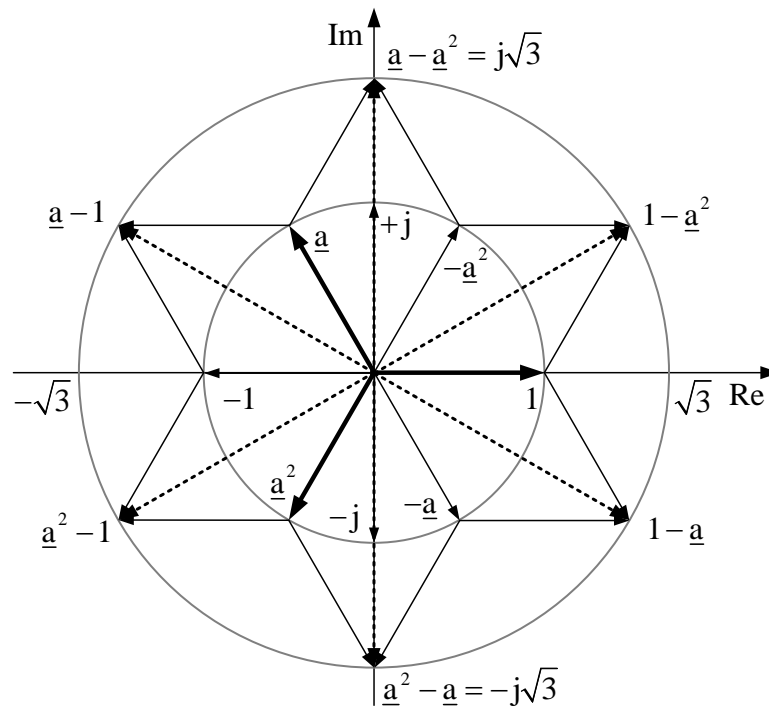
17.2 Ausgewählte abgeleitete SI-Einheiten

Größe	Symbol	Einheitenname	Zeichen
Energie, Arbeit, Wärme	W, Q	Joule	J
Dichte	ρ	Kilogramm/Kubikmeter	kg/m ³
Drehmoment	M	Newtonmeter	Nm
Ebener Winkel	α	Radian	rad
Elektrischer Leitwert	G	Siemens	S
Elektrische Spannung	U	Volt	V
Elektrische Stromdichte	S	Ampere/Quadratmeter	A/m ²
Elektrischer Widerstand	R	Ohm	Ω
Frequenz	f	Hertz	Hz
Geschwindigkeit	v	Meter/Sekunde	m/s
Induktivität	L	Henry	H
Kapazität	C	Farad	F
Kraft	F	Newton	N
Ladung	Q	Coulomb	C
Leistung	P	Watt	W
Magnetische Feldstärke	H	Ampere/Meter	A/m
Magnetische Flussdichte	B	Tesla	T
Massenträgheitsmoment	J	Kilogramm · Quadratmeter	kg m ²
Permeabilität	μ	Henry/Meter	H/m
Temperatur	ϑ	Grad Celsius	°C
Winkelgeschwindigkeit	ω	Radian/Sekunde	rad/s

17.3 Naturkonstanten und mathematische Konstanten

Konstante	Zahlenwert	Einheit
Kreiszahl π	$\pi = 3,14159\dots$	---
Eulersche Zahl e	$e = 2,71828\dots$	---
Magnetische Feldkonstante μ_0	$\{\mu_0\} = 4\pi \cdot 10^{-7} = 1,25663\dots \cdot 10^{-6}$	V s / A m
Elektrische Feldkonstante ε_0	$\{\varepsilon_0\} = 8,85418\dots \cdot 10^{-12}$	A s / V m
Lichtgeschwindigkeit c	$\{c\} = 299\,792\,458$	m / s
Zusammenhang der Naturkonstanten μ_0 , ε_0 und c	$\mu_0 = 1 / \varepsilon_0 c^2$	

17.4 Zeigerdrehungen mit \underline{a} und \underline{j}



17.5 n -te Wurzel aus einer komplexen Zahl \underline{G}

Formel von Moivre	$\sqrt[n]{\underline{G}} = \sqrt[n]{G} \cdot e^{j \left(\frac{\varphi_g + 2\pi k}{n} \right)}, \text{ für } k = 0, 1, \dots, n-1$ speziell für $n = 2$ folgt: $\sqrt{\underline{G}} = \pm \sqrt{G} \cdot e^{j \frac{\varphi_g}{2}}$
-------------------	--

17.6 Umrechnungsformeln für hyperbolische und Exponentialfunktionen

Theorem	Umrechnungsformel
Eulersche Formel	$e^{(\alpha+j\beta)} = \cosh(\alpha + j\beta) + \sinh(\alpha + j\beta)$ $= e^\alpha \cdot e^{j\beta} = e^\alpha (\cos \beta + j \sin \beta)$
Hyperbelfunktionen mit komplexen Argumenten	$\cosh(\alpha + j\beta) = \frac{1}{2}(e^{\alpha+j\beta} + e^{-(\alpha+j\beta)}) = \cosh(-(\alpha + j\beta))$
	$\sinh(\alpha + j\beta) = \frac{1}{2}(e^{\alpha+j\beta} - e^{-(\alpha+j\beta)}) = -\sinh(-(\alpha + j\beta))$
	$\sinh(\alpha + j\beta) = \sinh(\alpha)\cos(\beta) + j\cosh(\alpha)\sin(\beta)$
	$\cosh(\alpha + j\beta) = \cosh(\alpha)\cos(\beta) + j\sinh(\alpha)\sin(\beta)$
	$\cosh \alpha = \frac{1}{2}(e^\alpha + e^{-\alpha}) = \cos(j\alpha)$
	$\cosh(j\beta) = \frac{1}{2}(e^{j\beta} + e^{-j\beta}) = \cos(\beta)$
	$\sinh \alpha = \frac{1}{2}(e^\alpha - e^{-\alpha}) = -j\sin(j\alpha)$
	$\sinh(j\beta) = \frac{1}{2j}(e^{j\beta} - e^{-j\beta}) = j\sin(\beta)$
	$\cosh \alpha + \sinh \alpha = e^\alpha$
	$\cosh \alpha - \sinh \alpha = e^{-\alpha}$
	$\cosh^2 \alpha - \sinh^2 \alpha = 1$
$\tanh \alpha = \frac{\sinh \alpha}{\cosh \alpha} = \frac{1}{\coth \alpha}$	
Formel von Moivre für Hyperbelfunktionen	$(\cosh \alpha \pm \sinh \alpha)^n = \cosh(n\alpha) \pm \sinh(n\alpha)$

17.7 Umrechnungsformeln für trigonometrische Funktionen

Trigonometrische Funktionen	$\sin \alpha = \frac{\text{Gegenkathete}}{\text{Hypotenuse}}$
	$\sin \alpha = \frac{1}{2j}(e^{j\alpha} - e^{-j\alpha}) = -\frac{1}{2j}(e^{-j\alpha} - e^{j\alpha}) = -\sin(-\alpha)$
	$\cos \alpha = \frac{\text{Ankathete}}{\text{Hypotenuse}}$
	$\cos \alpha = \frac{1}{2}(e^{j\alpha} + e^{-j\alpha}) = \cos(-\alpha)$
	$\tan \alpha = \frac{\sin \alpha}{\cos \alpha} = \frac{1}{\cot \alpha} = \frac{\text{Gegenkathete}}{\text{Ankathete}}$
	$\cos^2 \alpha + \sin^2 \alpha = 1$

Additionstheoreme und Komplementsätze	$\cos(\alpha \pm \beta) = \cos \alpha \cos \beta \mp \sin \alpha \sin \beta$
	$\sin(\alpha \pm \beta) = \sin \alpha \cos \beta \pm \cos \alpha \sin \beta$
	$\cos\left(\alpha \pm \frac{\pi}{2}\right) = \mp \sin \alpha = \pm \sin(-\alpha)$
	$\sin\left(\alpha \pm \frac{\pi}{2}\right) = \pm \cos(\alpha) = \pm \cos(-\alpha)$
	$\cos\left(\alpha - \frac{2\pi}{3}\right) = -\frac{1}{2} \cos \alpha + \frac{\sqrt{3}}{2} \sin \alpha$
	$\cos\left(\alpha + \frac{2\pi}{3}\right) = -\frac{1}{2} \cos \alpha - \frac{\sqrt{3}}{2} \sin \alpha$
	$\sin\left(\alpha - \frac{2\pi}{3}\right) = -\frac{1}{2} \sin \alpha - \frac{\sqrt{3}}{2} \cos \alpha$
	$\sin\left(\alpha + \frac{2\pi}{3}\right) = -\frac{1}{2} \sin \alpha + \frac{\sqrt{3}}{2} \cos \alpha$
	$\cos \alpha + \cos\left(\alpha - \frac{2\pi}{3}\right) + \cos\left(\alpha + \frac{2\pi}{3}\right) = 0$
	$\sin \alpha + \sin\left(\alpha - \frac{2\pi}{3}\right) + \sin\left(\alpha + \frac{2\pi}{3}\right) = 0$
	$\cos^2 \alpha + \cos^2\left(\alpha - \frac{2\pi}{3}\right) + \cos^2\left(\alpha + \frac{2\pi}{3}\right) = \frac{3}{2}$
Produkte	$\cos \alpha \cos \beta = \frac{1}{2} [\cos(\alpha - \beta) + \cos(\alpha + \beta)]$
	$\sin \alpha \sin \beta = \frac{1}{2} [\cos(\alpha - \beta) - \cos(\alpha + \beta)]$
	$\sin \alpha \cos \beta = \frac{1}{2} [\sin(\alpha + \beta) + \sin(\alpha - \beta)]$
	$\cos \alpha \sin \beta = \frac{1}{2} [\sin(\alpha + \beta) - \sin(\alpha - \beta)]$
	$\cos \alpha \cos\left(\alpha - \frac{2\pi}{3}\right) \cos\left(\alpha + \frac{2\pi}{3}\right) = \frac{1}{4} \cos 3\alpha$
Winkelvielfache	$\sin(2\alpha) = 2 \sin \alpha \cdot \cos \alpha$
	$\cos(2\alpha) = \cos^2 \alpha - \sin^2 \alpha$
Sinussatz	$\frac{a}{\sin \alpha} = \frac{b}{\sin \beta} = \frac{c}{\sin \gamma} \quad \left(\begin{array}{l} \text{Die Winkel } \alpha, \beta, \gamma \text{ liegen} \\ \text{den Seiten a, b, c gegenüber.} \end{array} \right)$
Kosinussatz	$a^2 = b^2 + c^2 - 2bc \cos \alpha$

17.8 Werte der trigonometrischen Funktionen für besondere Winkel

Winkel	0	$\frac{\pi}{6}$	$\frac{\pi}{4}$	$\frac{\pi}{3}$	$\frac{\pi}{2}$
sin	$\frac{\sqrt{0}}{2}$	$\frac{\sqrt{1}}{2}$	$\frac{\sqrt{2}}{2}$	$\frac{\sqrt{3}}{2}$	$\frac{\sqrt{4}}{2}$
cos	$\frac{\sqrt{4}}{2}$	$\frac{\sqrt{3}}{2}$	$\frac{\sqrt{2}}{2}$	$\frac{\sqrt{1}}{2}$	$\frac{\sqrt{0}}{2}$